

პიდროვებეოროლოგიის ინსტიტუტის შრომები  
ტომი №113

**TRANSACTIONS OF THE INSTITUTE OF  
HYDROMETEOROLOGY  
VOL. #113**

**ТРУДЫ ИНСТИТУТА ГИДРОМЕТЕОРОЛОГИИ  
ТОМ #113**



**საქართველოს კავკა  
3.სამეგრელო-ზემო სვანეთი**

**Climate of Georgia  
3. Samegrelo-Zemo Svaneti**

**Климат Грузии  
3. Самегрело-Земо Сванети**

**თბილისი – TBILISI - ТБИЛИСИ  
2009**

პიდრომეტეოროლოგიის ინსტიტუტის შრომები  
ტრაქტ №113

საქართველოს კავა  
3.სამეცნიერო-ზემო სვანეთი

**TRANSACTIONS OF THE INSTITUTE OF  
HYDROMETEOROLOGY  
VOL. #113**

**Climate of Georgia**  
**3.Samegrelo-Zemo Svaneti**

АКАДЕМИЯ НАУК ГРУЗИИ  
ТРУДЫ ИНСТИТУТА ГИДРОМЕТЕОРОЛОГИИ  
ТОМ #113

**Климат Грузии**  
**3.Самегрело-Земо Сванети**

თბილისი – TBILISI - ТБИЛИСИ  
2009

**mTavari redaqtori**

ნოდარ ბეგალიშვილი  
N.Begalishvili  
Бегалишвили Н.А.

**EDITOR IN CHIEF**

**Главный редактор**

**სარედაქციო ბოლობა**

**სარედაქციო საბჭო**

**Editorial Board**

**Editorial Council**

**Редакционная коллегия**

**Редакционный совет**

ბ.ბერიტაშვილი (რედაქტორის მოადგილე), გ.გაჩეჩილაძე, გ.გუანია, გ.გრიგოლიძე, გ.გელაძე, რ.სამუკაშვილი .ვ. ცომაია, თ.ცინცაძე (პასუხ. მდივანი)

ნ.ბერიტაშვილი ი.გელაძე დ.დემეტრაშვილი, ჯ.გაჩინაძე, ლ.ინცირველი, ღ.ემაზავა, ი.მოგოვაძე, ლ.ქალაძე, გ.ხერხეულიძე.

B.Beritashvili (Deputy Ed.-in-Chief), G.Gachechiladze, G.Gunia, G.Grigolia, E.Elizbarashvili, D.Ke-reselidze, G.Meladze, R.Samukashvili, V.Tsomaia, T.Tsintsadze (Executive secretary)

N.Buachidze, J.Vachnadze, I.Geladze, D.Demetrashvili, L.Inckirveli, G.Kuchava, I.Chogovadze, L.Kaldani, G.Kherkheulidze

Бериташвили Б.Ш.(зам.гл. редактора), Гачечиладзе Г.А., Григолия Г.Л., Гуниа Г.С., Кереселидзе, Д.Н., Меладзе Г.Г., Самукашвили Р.А., Цомая В.Ш., Цинцадзе Т.Н. (отв. секретарь), Элизбарашвили Э.Ш.

Буачидзе Н.С., Вачнадзе Д.И., Геладзе И.М., Деметршивили Д.Л., Инцирвели Л.И., Калдани Л.А., Кучава Г.Л., Чоговадзе И.В., Херхеулидзе Г.И.

ჰიდრომეტეოროლოგიის ინსტიტუტის  
თბილისი-12,დავით აღმაშენებლის გამზირი 150<sup>o</sup>,

E-mail: [nb@gw.acnet.ge](mailto:nb@gw.acnet.ge)

Institute of Hydrometeorology.  
150<sup>a</sup> David Agmashenebeli ave., Tbilisi, 0112, Georgia,

ტელ. (995 32) :951 047,  
952 028,  
თელ.

Институт гидрометеорологии  
0112, Тбилиси-12, пр.Д. Агмашенебели 150<sup>a</sup>.

ვაქები  
Fax (995 32) 95-11-60  
Факс

საიდენტიფიკაციო № Identification №  
Идентификационный №

202054720

**ISSN 1512-0902**



ჰიდრომეტეოროლოგიის ინსტიტუტი

**Institute of Hydrometeorology**

**Институт гидрометеорологии**

2009

მეცნიერებათა დოქტორების  
გ.ელიზბარაშვილის, რ.სამუკაშვილის და  
ჯ.ვაჩნაძის რედაქციით

Edited by Doctors of Sciences  
E.Elizbarashvili, R.Samukashvili and J.Vachnadze

**Под редакцией докторов наук**  
**Э.Элизбарашвили, Р.Самукашвили**  
**и Дж.Вачнадзе**

ISNN 1512-0902	საქართველოს პავა 3.სამეცნიელო-ზემო სკანერი
----------------	---

რეცენზებები:

გეოგრაფიის მეცნიერებათა დოქტორი,  
პროფესორი ზ. ჭავჭაბიძე,

გეოგრაფიის მეცნიერებათა დოქტორი  
ი. ჩოგოვაძე

განხილულია სამეგრელო-ზემო სვანეთის კლიმატის ფორმირების ძირითადი ფაქტორები, კლიმატის ელემენტების ტერიტორიული განაწილების კანონზომიერებანი, კლიმატური რესურსები, კომპლექსური კლიმატური მახასიათებლები და ამინდის საშიში მოვლენები. განკუთვნილია კლიმატოლოგებისათვის, აგრონომებისათვის და სპეციალისტებისათვის, რომლებიც მუშაობენ ბუნებრივი რესურსების გამოვლენისა და ათვისების, სამოქალაქო და სამრეწველო ნაგებობების, კავშირგაბმულობის, ელექტროგადამცემი და მილსადენი ხაზების დაგეგმარების დარგში. პროექტის მიზანია განვითარების და კულტურული მდგრადი განვითარების მიზანი.

Рассмотрены основные факторы формирования климата Самегрело-Земо Сванети, закономерности территориального распределения климатических элементов, климатические ресурсы, комплексные климатические характеристики и опасные явления погоды. Предназначена для климатологов, агрономов и специалистов занимающихся выявлением и освоением природных ресурсов, планированием и проектированием гражданских и промышленных сооружений, линий связи, электропередач и трубопроводов.

The main factors of Samegrelo-Zemo Svaneti Region's climate formation as well as territorial distribution of climatic elements, climatic resources, complex climatic characteristics and the dangerous weather conditions are considered.

## წინასიტყვაობა

წინამდებარე ნაშრომი, რომელიც შესრულებულია საქართველოს მეცნიერებათა აკადემიის პიდრომეტეოროლოგიის ინსტიტუტის მეცნიერ თანამშრომელთა მიერ, გამოდის სერიით „საქართველოს ჰავა“. ამ სერიით უკვე გამოიცა ინსტიტუტის შრომათა ორი კრებული: ტომი №110, აჭარა, 2003წ და ტომი №112, აფხაზეთი, 2006წ.

წარმოდგენილი ტომი ეძღვნება სამეგრელო-ზემო სვანეთის მხარეს. მასში განხილულია რეგიონის კლიმატის ფორმირების ძირითადი ფაქტორები, კლიმატის ცალკეული ელემენტების ტერიტორიული განაწილების კანონზომიერებები, კლიმატური რესურსები, ამინდის საშიში მოვლენები.

ნაშრომში გამოყენებულია სამეგრელო-ზემო სვანეთის მხარეში არსებული მეტეოროლოგიური სადგურების დაკვირვებათა მონაცემები დაწყებული დღიდან მათი დაარსებისა იმ დრომდე, როდემდეც ფუნქციონირებდა სადგური. დაკვირვებათა მონაცემების დამუშავებისას გამოყენებულია კლიმატოლოგიაში აპრობირებული მონაცემთა ინტერპოლაციის და ექსტრაპოლაციის მეთოდები.

კვლევების ძირითადი ნაწილი ეკუთვნის პიდრომეტეოროლოგიის ინსტიტუტის კლიმატოლოგიის და აგრომეტეოროლოგიის განყოფილების წამყვან მეცნიერ-თანამშრომლებს რ.სამუკაშვილს, გ.სუხიშვილს, ლ.პაინაშვილს, რ.კორძახიას, ჯ.განისაძეს, მ.ელიზბარაშვილს და ც.დიასამიძეს. აგროკლიმატური რესურსები შეფასებულია პროფესორ გ.მელაძის და მ.მელაძის მიერ. თოვლის ზვავები წარმოდგენილია პიდროლოგიის განყოფილების მეცნიერ-თანამშრომლების ლ.ქალდანის და მ.სალუქეგაძის გამოკვლევების შესაბამისად. სამეცნიერო-კვლევით მუშაობაში აქტიურად იყვნენ ჩართულნი ახალგაზრდა სკეციალისტები შ. ელიზბარაშვილი, ი.ვაჩნაძე, თ.ზუბირაშვილი და ვ.გორგიშვილი.

ნაშრომი შესრულებულია პიდრომეტეოროლოგიის ინსტიტუტის თემატური გეგმის შესაბამისად პროფესორ ე.ელიზბარაშვილის ხელმძღვანელობით.

აღნიშვნული სერიის შემდეგი, მე-4, ტომი ეძღვნება გურიის რეგიონს.

ე.ელიზბარაშვილი

## თავი I. კლიმატის ფორმირების ძირითადი ფაქტორები 1.კლიმატის რადიაციული ფაქტორები

სამეგრელო-ზემო სვანეთის ტერიტორიაზე 1954 წლიდან 1990 წლამდე შუშაობდა მხოლოდ ერთი აქტინომეტრიული სადგური – სენაკი, რის გამო მთიანი რეგიონის კლიმატის რადიაციული ფაქტორის დახასიათების მიზნით გამოყენებული იქნა რადიაციული ბალანსისა და მისი მდგენელების კლიმატოლოგიური გამოთვლების მეთოდიკა (ს. სივერი, 1968; რ. სამუკაშვილი 1984). საკვლევ რეგიონში ატმოსფეროს ფიზიკური მდგრამარეობის შესახებ წარმოდგენას იძლევა გამჭვირვალობის კოეფიციენტისა და სიმღვრივის ფაქტორების მნიშვნელობები, რომლებიც მოცემულია რ. სამუკაშვილის (1980) მიერ კავკასიონის სამხრეთ ფერდობებისათვის. გამჭვირვალობის კოეფიციენტის საშუალო წლიური მნიშვნელობა ადგილის აბსოლუტური სიმაღლის ზრდისას 0-4 ქმ-ის საზღვრებში სამეგრელო-ზემო სვანეთის რაიონებში მატულობს 0,75-დან 0,84-მდე. მაქსიმალურ გამჭვირვალობას აღგილი აქვს დეკემბერ-იანვარში, მონიმაღურს-ივლის-აგვისტოში. გამჭვირვალობის კოეფიციენტის ზაფხულის სიდიდეები ზამთრის სიდიდეებთან შედარებით რეგიონის დაბლობ ნაწილებში ეცმა 9%-ით. სამეგრელო-ზემო სვანეთის მთიან რაიონებში გამჭვირვალობის კოეფიციენტის მაქსიმუმი აღინიშნება ატიციკლონალური ამინდის ტიპის პირობებში, დაბლობ რაიონებებში კი არქტიკული ცივი ჰაერის მასების შემოჭრისას, რომელთაც თან სდევს ნალექები და ატმოსფეროდან აეროზოლების ინტენსიური გამორიცხვა. შიმღვრივის ფაქტორების საშუალოთვიური მნიშვნლობები წელიწადის განმავლობაში იცვლება დაბლობ რაიონებში 2,8-3,5-ის, მაღალმთიან რაიონებში ( $H=4\text{km}$ ) კი 1,75-1,78-ის საზღვრებში. რადიაციული ბალანსისა და მისი მდგენელების საშუალოთვიური და წლიური სიდიდეები ღრუბლიერის საშუალო პირობებში სადგურ სენაკის მონაცემებით (1954-1990 წლები) მოცემულია ცხრილში 1.1.1.

რადიაციული ბალანსის სიდიდის ფორმირებაში ჯამური რადიაცია მთავარ როლს ასრულებს. მოწმენდილი ცის პირობებში ჯამური რადიაციის წლიური ჯამი რეგიონს დაბლობ ნაწილში შეადგენს 7400  $\text{მჯ}/\text{მ}^2\text{-ს}$ , მაღალმთიან რაიონებში ადგილი აქვს მის ზრდას. ღრუბლიანობის საშუალო პირობებში  $\Sigma Q_{\text{დ}}$  - სიდიდე კოლხეთის დაბლობზე შეადგენს 4300  $\text{მჯ}/\text{მ}^2\text{-ს}$ .

ადგილის აბსოლუტური სიმაღლის ზრდისას 0-4კმ-ის ფარგლებში  $\Sigma_{\text{f}}Q_{\text{f}}$ -ს სიდიდე მატულობს 4300  $\text{მჯ}/\text{მ}^2$ -დან 6000  $\text{მჯ}/\text{მ}^2$ -მდე. დამიკოდებულებას  $\Sigma_{\text{f}}Q_{\text{f}}=f(H)$  აქვს მეორე რიგის პარამოლის სახე.

ცხრილი 1.1.1.რადიაციული ბალანსისა B და მისი მდგრებულების S, S', D, Q, დმოკ., A, B<sub>დმოკ.</sub>, B<sub>გრძ.</sub> თვიური ( $\sum_{\text{თ}}$ ) და წლიური ( $\sum_{\text{წ}}$ ) ჯამების სიდიდეები დრუბლიანობის საშუალო პირობებში. სენაკში, კაბლ/სმ<sup>2</sup>.

თვე	$\sum_{\text{თ}}S_{\text{R}}$	$\sum_{\text{თ}}S'$	$\sum_{\text{თ}}D$	$\sum_{\text{თ}}Q$	$\sum\sum_{\text{თ}}\frac{Q}{\text{დმოკ.}}$	A	$\sum_{\text{თ}}B_{\text{დმოკ.}}$	$\sum_{\text{თ}}B_{\text{გრძ.}}$	$\sum B$
I	4,81	1,71	2,00	3,71	1,01	0,27	2,69	-2,11	0,58
II	5,18	2,34	2,40	4,74	1,23	0,26	3,51	-2,07	1,45
III	7,11	4,00	3,36	7,36	1,64	0,22	5,73	-2,42	3,31
IV	8,31	5,62	4,48	10,01	2,16	0,21	7,95	-2,54	5,41
V	11,29	8,06	5,18	13,24	2,77	0,21	10,46	-2,65	7,82
VI	12,24	8,94	5,34	14,28	2,95	0,21	11,34	-2,54	8,79
VII	9,37	6,79	5,64	12,43	2,65	0,21	9,78	-2,36	7,41
VIII	10,01	7,12	4,79	11,90	3,62	0,22	9,28	-2,63	6,65
IX	10,37	6,40	3,60	10,00	2,21	0,22	7,79	-259	5,20
X	9,54	4,88	2,91	7,79	1,78	0,23	6,01	-2,78	3,23
XI	6,34	2,47	2,01	4,49	1,03	0,24	3,45	-2,19	1,27
XII	4,64	1,49	1,76	3,45	0,81	0,24	2,45	-1,98	0,47
წელი	99,20	59,82	43,48	103,30	22,85	0,23	80,44	-28,85	51,59

ქვეფენილი ზედაპირიდან არეკვლილი რადიაციის და ალბედოს სიდიდე დამოკიდებულია ადგილის აბსილუტურ სიმაღლეზე და თოვლის საფარის არსებობის ხანგრძლივობაზე. სამეგრელო-ზემო სვანეთის ტერიტორიაზე ალბედოს საშუალო წლიური მნიშვნელობები 0-4კმ სიმაღლეების დიაპაზონში მატულობს 23%-დან 55%-მდე.

რადიაციული ბალანსის სიდიდე დამოკიდებულია მისი მდგრენელების-ქვეფენილი ზედაპირის მიერ შთანთქმული რადიაციის და ეფექტური გამოსხივების სიდიდეებზე. დრუბლიანობის საშუალო პირობებში  $\Sigma_{\text{f}}B_{\text{f}}$ -ს სიდიდე კოლხეთის დაბლობზე შეადგენს 2200  $\text{მჯ}/\text{მ}^2$ -ს მთიან რაიონებში ადგილის აბსოლუტური სიმაღლის მატებისას ზღვის დონიდან 4კმ-მდე  $\Sigma_{\text{f}}B_{\text{f}}$ -ს სიდიდე მცირდება 145  $\text{მჯ}/\text{მ}^2$ -მდე, ზაფხულის ჯამები-1000  $\text{მჯ}/\text{მ}^2$ -დან 750  $\text{მჯ}/\text{მ}^2$ -მდე, ზამთრის ჯამები-800  $\text{მჯ}/\text{მ}^2$ -დან 500  $\text{მჯ}/\text{მ}^2$ -მდე. დამოკიდებულება  $\Sigma_{\text{f}}B_{\text{f}}=f(H)$ , სადაც ადგილის აბსოლუტური

სიმაღლეა კმ-ში, ანალიზურად წარმოიდგინება მეორე რიგის პირაბოლის სახით:

$$\Sigma_{\text{v}} B_{\text{g}} = 2200,5 + 420,5H - 218,2H^2$$

1.1.1

დამოკიდებულება: 
$$\frac{\sum_{\text{v}} B_{\text{g}}}{\sum_{\text{v}} Q_{\text{g}}} = f(H),$$

სადაც  $\sum_{\text{v}} Q_{\text{g}}$  არის ჯამური რადიაციის წლიური ჯამი ღრუბლიანობის საშუალო პირობებში, კავკასიონის და კერძოდ ზემო სვანეთის მთიანი რაიონებისათვის ანალიზურად წარმოიდგინება კვადრატული ფუნქციის სახით:

$$\Sigma_{\text{v}} B_{\text{g}} / \sum_{\text{v}} Q_{\text{g}} = 47,5 - 2,31 H^2. \quad 1.1.2$$

ამ ფორმულით ზემო სვანეთის მთიანი რაიონებისათვის შეიძლება გამოითვალის რადიაციული ბალანსის წლიური ჯამის სიდიდე, თუ ცნობილი იქნება ჯამური რადიაციის წლიური ჯამების სიდიდე ფიქსირებულ სიმაღლეზე.

წარმოდგენილ ცხრილში S და S' -მზის პირდაპირი რადიაცია, D -გაბნეული რადიაცია, Q -ჯამური რადიაცია, R -არეკვლილი რადიაცია, A -ქვეფენილი ზედაპირის ალბედოა.

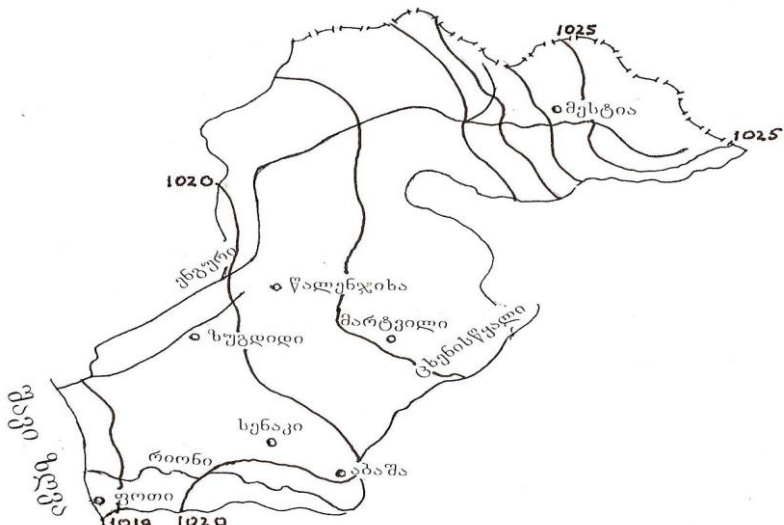
## 1.2. ატმოსფერული ჰაერის წნევა

ჰაერის წნევა ზღვის დონეზე. ატმოსფერული წნევის რეჟიმი საქართველოში განპირობებულია მაკროცირკულაციური პროცესებით, სითბური ბალანსისა და რელიეფის თავისებურებების ერთობლიობით. რამდენადაც წნევა არის სიმაღლის ფუნქცია, მისი რეჟიმის სხვა კლიმატურ მახასიათებლებთან კავშირის ანალიზისათვის ჩვეულებრივ განიხილავენ ზღვის დონეზე მიყვანილს.

ჰაერის წნევის საშუალო წლიური სიდიდეები მიყვანილი ზღვის დონეზე შეადგენს 1016-1018 ჰაა. სეზონის მიხედვით მინიმალური წნევა აღინიშნება ზაფხულის, ხოლო მაქსიმალური –ზამთრის თვეებში (ნახ. 1.2.1. და 1.2.2.).

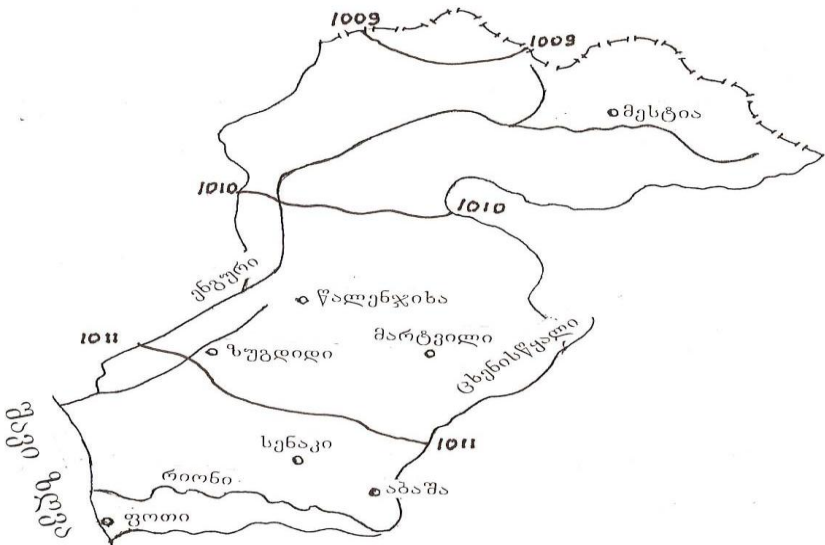
ზამთრის პერიოდში ტერიტორია იმყოფება ციმბირის ანტიკლონის განშტოების გავლენის ქვეშ. უმეტეს შემთხვევაში მასთან არის დაკავშირებული საქართველოზე აღმოსავლეთის ტიპის ცირკულაციის განვითარება, რომლის დროსაც შავ ზღვაზე ჩვეულებრივ განლაგებულია დაბალი წნევის არე. და-

სავლეთ საქართველოში გაბატონებული ბარიული გრადიენტების მიმართულება აპირობებს აღმოსავლეთის ქარების ბატონიბას, რომელსაც ფიონური ხასიათი აქვს. არსებითი მნიშვნელობა აქვს ადგილობრივ ანტიციკლონებს, რომლებიც დაიკვირვება ამიერკავკასიის ცენტრალურ რაიონებში ცივი ჰაერის მასების შემოჭრისას დასავლეთიდან და აღმოსავლეთიდან. ამ დროს მისი თხემი მოძრაობს კავკასიონზე, რასაც თან სდევს ცივი ჰაერის მასების შემოჭრა. ამიერკავკასიის რთული ოროგრაფიის გავლენით ამ თხემის მოძრაობა ყოვნდება და გარკვეული დროის განმავლობაში ჩერდება კიდევ. მსგავს პორობებს აქვს ადგილი აღმოსავლეთიდან შემოჭრის დროს.



### ნახ.1.2.1. ატმოსფერული წნევა. იანვარი. პპა

ზაფხულში იზრდება აზორის მაქსიმუმისა და მისი აღმოსავლეთის განშტოების გავლენა საქართველოს ატმოსფერულ პროცესებზე, რაც იწვევს მოქმედების განმეორადობის ზრდას დასავლეთიდან.



ნახ. 12.2. ატმოსფერული წნევა. ივლისი. პპა.

ივლისში პაერის წნევის მაქსიმუმი დაიკვირვება შავიზღვის-პირა რაიონებში (1011-1012პპა), ხოლო შედარებით დაბალია სვანეთის მაღალმთიან ზონაში (1010-1009პპა).

**პაერის წნევა სადგურის სიმაღლეზე.** პაერის საშუალო წლიური წნევა სადგურის სიმაღლეზეც ვალებადობს 838-1016 პპა-ის ფარგლებში. უდიდესი მნიშვნელობანი აღინიშნება ზღვის სანაპიროსა და კოლხეთის დაბლობის იმ ნაწილში, რომელიც სამეგრელოს ფარგლებშია მოქცეული.

თავისებურებანი პაერის წნევის წლიურ სკლაში განპირობებულია ადგილის სიმაღლით ზღვის დონიდან. 1100 მეტრამდე წნევის მინიმუმი აღინიშნება ივლის-აგვისტოში, ხოლო მის ზემოთ-თებერვალში. წნევის მაქსიმუმი 1100 მეტრამდე ძირითადად მოდის ნოემბერ-დეკემბერზე, ხოლო მის მაღლა ინაცვლებს ოქტომბერზე.

### 13.ატმოსფეროს ცირკულაციური ფაქტორები

მთლიანად დასავლეთ საქართველოში და მათ შორის სამეგრელო-ზემო სვანეთში განვითარებული სინოპტიკური პროცე-

სების მრავალფეროვნება პირობითად შეიძლება 4 მირითად ჯგუფში გაერთიანდეს: ზონალური ზემოქმედება დასავლეთის მდგენელით (W), ზონალური ზემოქმედება აღმოსავლეთის მდგენელით (E), მერიდიანული ზემოქმედება სამხრეთის მდგენელით (S) და ანტიციკლონური მდგომარეობა. ჩრდილოეთი მთავარი კავკასიონის ქედის არსებობა საიმედოდ იცავს აღნიშნულ რეგიონს უშუალოდ ჩრდილოეთიდან ჰაერის ცივი მასების შემოჭრისაგან.

სინოპტიკური პროცესების მრავალფეროვნება ხასიათდება თვეების მიხედვით მათი განმეორებადობის განსხვავებული ალბათობებით. ამინდის მრავალფეროვნება სინოპტიკური პროცესების გარდა დიდად არის დამოკიდებული იმაზე, თუ რა მიმართულებით გადაადგილდება ატმოსფერული ფრონტი, ან ჩამოყალიბების თუ დაშლის რა სტადიაშია იგი. ფრონტალურ პროცესებზე მოდის დღეების თითქმის 30%, ხოლო აპრილში 53%.

გარდა ფრონტალური პროცესებისა საინტერესოა ე.წ. შიდამასიური პროცესები. ასეთ დროს აღნიშნულ ტერიტორიაზე ხშირად ყალიბდება მაღალი წნევის არე, რომელიც გამოირჩევა შედარებით სტაბილური ამინდით, მოწმენდილი ციოტ, როცა ძლიერი ქარი და უხვი ნალექები პრაქტიკულად გამოიცხება. ისეთი არსებითი კლიმატურმომქმნელი ფაქტორი, როგორიცაა შავი ზღვა, განსხვავებულად მოქმედებს ამინდის ფორმირებაზე ცირკულაციური პროცესების თუ სეზონების მიხედვით. მისი გავლენა მცირდება ზღვიდან დაშორების და ადგილის აბსოლუტური სიმაღლის ზრდის პროპორციულად.

ჸამთარში რეგიონის ამინდს ძირითადად განსაზღვრავს შავი ზღვის სიახლოვე და ჩრდილოეთიდან მთავარი კავკასიონის ქედის დამცავი როლი. შავი ზღვის გავლენა გამოიხატება ჰაერის ტემპერატურის კონტრასტის შემცირებით, ნალექიან დღეთა საერთო რაოდენობის გაზრდით, ფარდობითი სინოპტიკის მომატებით და ა.შ. იმ შემთხვევაში, თუ გაძლიერდა პოლარული ანტიციკლონი, ჰაერის ცივი მასები მთავარ პაკტა-სიონს ქედს უვლის დასავლეთიდან და თბილი შავი ზღვის გავლენით აღნიშნულ ტერიტორიაზე შედარებით ნაკლებად ცივ და მეტად ნოტიო ჰაერის მასების შემიჭრას აქვს ადგილი. ასეთ დროს მოსალოდნელია მთა-ბარის ქარების გაძლიერება, ნალექების ხანგრძლივობისა და ინტენსივობის მატება, სველი თოვლი და ეპიზოდურად წაყინვები.

ჰაერის მასების სამხრეთიდან და სამხრეთ-დასავლეთიდან გადადგილების შემთხვევაში უმეტესად დაიკვირვება მოღრუბლელი და ნალექიანი დღეები. ეს უპირატესად ეხება რეგიონის დაბლობ და შემადლებულ ტერიტორიას. ადგილის სიმაღლის ზრდასთან ერთად (2000 მეტრი და მეტი) მდგრადი თოვლის საფარი და ყინვიანი დღეები აქ ჩვეულებრივი მოვლენაა. იმ შემთხვევაში, თუ გაძლიერდა ციმბირის ანტიციკლონის დარი მისი დასავლეთის და სამხრეთ-დასავლეთის მიმართულებით, მაშინ ტერიტორიაზე იზრდება აღმოსავლეთის პროცესების აქტივობა, ჰაერის ტემპერატურა იმატებს, მოწმენდილი დღეების ალბათობა იზრდება და ძლიერდება აღმოსავლეთის (ფიონური) ქარები.

**გაზაფხულზე** შედარებით მცირდება ციმბირის ანტიციკლონის გავლენა, სამაგიერო იზრდება აზორის (დასავლეთის პროცესები) და ხმელთაშუა ზღვის (სამხრეთ-დასავლეთის პროცესები) გავლენა. ჰაერის ტემპერატურა 3-4<sup>0</sup>-ით იზრდება, რაც ხელს უწყობს მცენარეული საფარის სწრაფ ზრდას. შავი ზღვის გავლენა შედარებით მცირდება, მცირდება ნალექების რაოდენობაც. დასვლეთიდან გადმონაცვლებული ჰაერის მასები ცივდება, სანაპირო ზოლში ხშირად ადგილი აქვს ნისლის წარმოქმნას და ელჭექის მოვლენას. ზამთართან შედარებით იზრდება ანტიციკლონური პროცესების განმეორადობა. ამ დროს ხშირია მოწმენდილი, უქარო ამინდი, რაც ხელს უწყობს რადიაციული ტიპის წაყინვების წარმოშობას.

**ზაფხულში** ჰაერის ტემპერატურა აღწევს მაქსიმუმს. იზრდება კონტრასტი დღისა და ღამის ტემპერატურებს შორის. შედარებით მცირდება უდრუბლო დღეების რიცხვი. მატულობს ღამის ნალექების სიხშირე და ინტენსივობა, საგრძნობლად იზრდება ჰაერის სინოტიკე, რასაც კოლხეთის დაბლობის ჭარბტენიანი ნიადაგიც უწყობს ხელს. ეს ყველაფერი გამოწეულია იმით, რომ ამ დროს სუსტდება ციკლონური ტიპის პროცესების გავლენა და ადგილი აქვს მერიდიანული ტიპის პროცესების გააქტიურებას. ძლირი ქარების ალბათობა მცირდება, თუმცა იზრდება ბრიზული და მთა-ბარის ქარების სიხშირე და ინტენსივობა. ცხადია, რომ ეს ყველაფერი ძირითადად ეხება სამგერელოს დაბლობს, ზღვისპირა რაიონებს, რაც შეეხება მთისწინა და ზემო სვანეთის ტერიტორიას აქ აღინიშნება დაბლობ რეგიონთან შედარებით ჰაერის ფარდობითი სი-

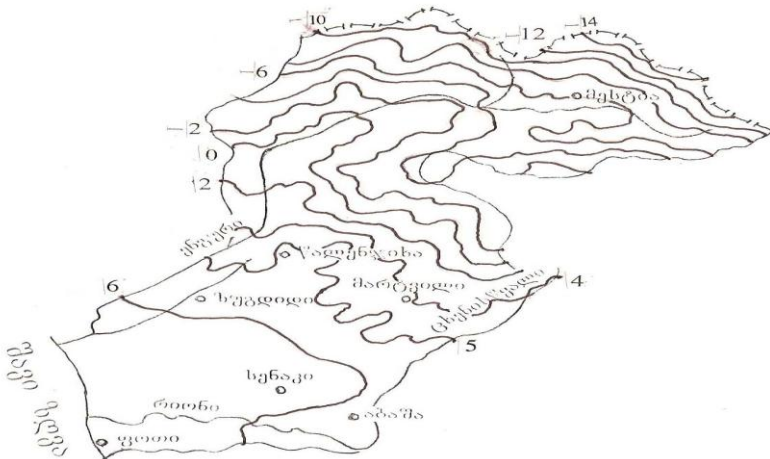
ნოტივის, ნალექების და ტემპერატურის შემცირება, ამავე დროს მთა-ბარის ტიპის ქარების, ნისლის და ელჭექის მოვლენების გააქტიურება.

შემოღვმაზე ადგილი აქვს ჰაერის ტემპერატურის საგრძნობ დაწევას, 3-4<sup>0</sup>-ით. ამ სეზონში შედარებით გააქტიურებულია ციკლონების გადმონაცვლება დასავლეთიდან და ჩრდილო-დასავლეთიდან. იზრდება თბილი შავი ზღვის გავლენა. ჰაერის მასები თბება და ფარდობითი სინოტივე მატულობს. მოწმენდილი წენარი ამინდი ხშირად იცვლება მოღრუბლეული და წყიმიანი დღეებით. ქარი ძლიერდება და ხშირად იცვლის მიმართულებას. თუ ციმბირის ანტიციკლონი გაძლიერდა დარი მისი დასავლეთის ან სამხრეთ-დასავლეთის მიმართულებით, მაშინ ადგილი აქვს აღმოსავლეთის პროცესის გავლენას, იზრდება ფიონის ალბათობა (მისთვის დამახასიათებელი ტემპერატურის ზრდის, ქარის სიჩქარის მატების და ფარდობითი სინოტივის მკვეთრი შემცირების ტენდენცია). ამ დროს სამეგრელოს რეგიონის დაბლობ ნაწილში ფიქსირდება პირველი წაყინვები, შედარებით იზრდება ზღვის დელვა, მცირდება წყლის ზედაპირის ტემპერატურა და ა.შ. რაც შეეხბა სამეგრელოს მთიანი და სვანეთის ტერიტორიის უდიდეს ნაწილს აქ აღინიშნება პირველი ყინვიანი დღეები, მდგრადი თოვლის საფარი, უდელტეხილების ჩაკეტვა და რეგიონის ფაქტიური იზოლირება საქართველოს დანარჩენი ნაწილისაგან.

## თავი II. კლიმატის ძირითადი ელემენტების ტერიტორიული განაწილების კანონზომიერებანი

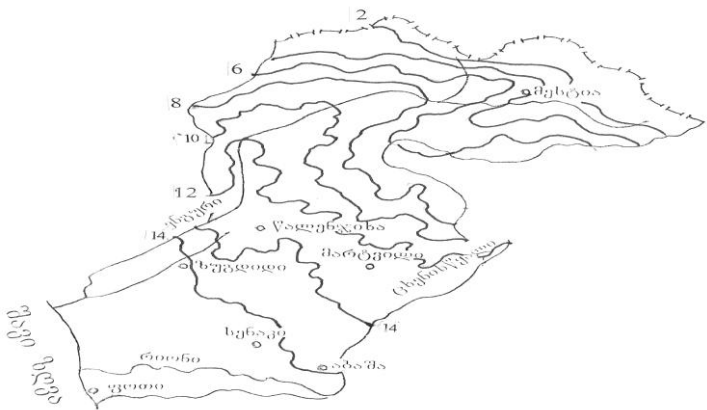
### 2.1.ჰაერის ტემპერატურა

სამეგრელოს და ზემო სვანეთის ტერიტორიაზე ჰაერის ტემპერატურის განაწილების სურათს იძლევა ნახ. 2.1.1.-2.1.5.-ზე წარმოდგენილი იზოთერმების რუკები. ტემპერატურის განაწილება უპირველეს ყოვლისა დამოკიდებულია ზღვიდან დაშორებასა და რელიეფზე. იგი ხასიათდება ვერტიკალური ზონა-ლობით-სიმაღლის მიხედვით კანონზომიერად კლებულობს.

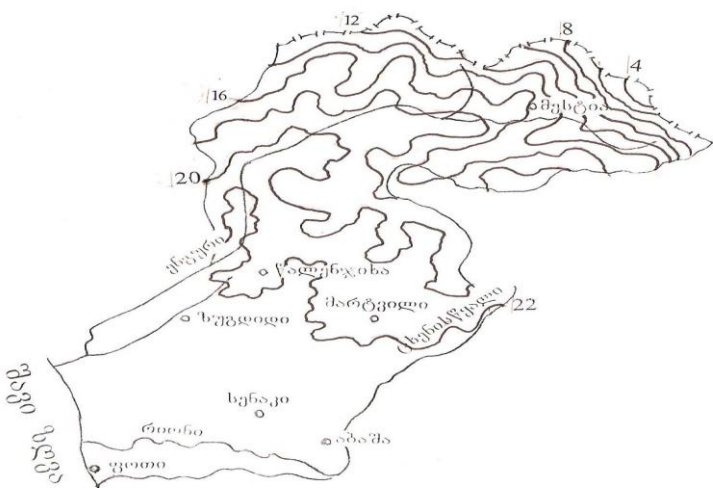


nax. 2.1.1. haeris saSualo Tviuri temperatura . ianvari.

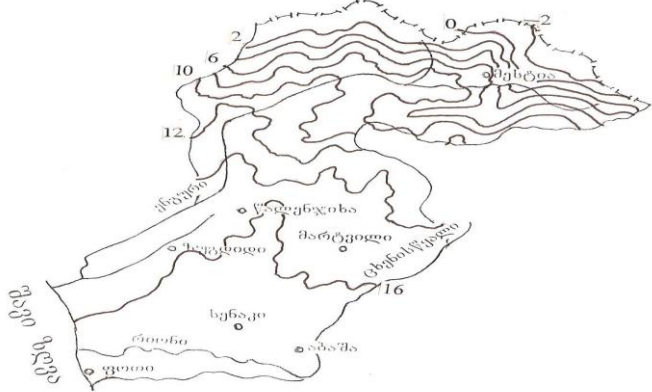
იანვარში შევი ზღვის სანაპირო ზოლში ტემპერატურა აღემატება  $6^0$ -ს. ზღვის სანაპიროდან დაშორებით ტემპერატურა კლებულობს, ზუგდიდსა და წალენჯიხის რაიონებში შეადგენს  $4-5^0$ -ს ზემო-სვანეთში მინუს 6- $10^0$ -ს, ხოლო კავკასიონის მაღალმთიან ზონაში ეცემა მინუს 14 $^0$ -ზე დაბლა. პრილში ზღვის სანაპიროზე, სენაკის, აბაშის და ზუგდიდის რაიონების დიდ ნაწილზე ტემპერატურა  $14^0$ -ს შეადგენს, სამეგრელოს მთიან რაიონებში  $8-10^0$ -მდე, ხოლო ზემო-სვანეთში  $2-4^0$ -მდე კლებულობს.



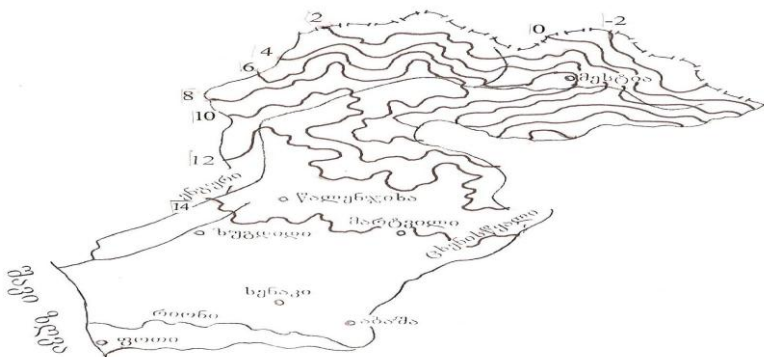
ნახ. 2.1.2. პაერის საშუალო თვიური ტემპერატურა .  
აპრილი.



ნახ. 2.1.3. ჰაერის საშუალო თვიური ტემპერატურა .ივლისი.



ნახ. 2.1.4. ჰაერის საშუალო თვიური ტემპერატურა . ოქტომბ-  
ბერი.



ნახ. 2.1.5. ჰაერის საშუალო წლიური ტემპერატურა

ივლისში ჰაერის ტემპერატურა შავი ზღვის სანაპირო ზოლში, სენაკისა, აბაშისა და ზუგდიდის რაიონებში  $22^0$ -ს აღემატება, სამეგრელოს მთიან რაიონებში  $16^0$ -მდე კლებულობს, ზემო-სვანეთის ტერიტორიის დიდ ნაწილზე  $10-16^0$ -ს შეადგენს, ხოლო კავკასიონის მაღალ მწვერვალებზე  $4^0$ -მდე იციმა.

ოქტომბერში შავი ზღვის სანაპირო ზოლში, სენაკის და აბაშის რაიონებში საშუალო თვიური ტემპერატურა აღემატება

16<sup>0</sup>-ს, ზუგდიდის, მარტვილის და წალენჯიხის რაიონების ტერიტორიაზე შეაღგენს 12-16<sup>0</sup>-ს, ზემო-სვანეთში ტერიტორიის დიდ ნაწილზე კლებულობს 0-6<sup>0</sup>-მდე, ხოლო კავკასიონის უმაღლეს მწვერვალებზე ეცემა მინუს 2<sup>0</sup>-ზე დაბლა.

საშუალო წლიური ტემპერატურა ზღვის სანაპირო ზოლში, სენაკის და აბაშის რაიონებში, ნაწილობრივ აგრეთვე ზუგდიდის და მარტვილის რაიონებში აღემატება 14<sup>0</sup>-ს, წალენჯიხის რაიონში შეაღგენს 10-14<sup>0</sup>-ს, ზემო-სვანეთში კი კლებულობს 0-6<sup>0</sup>-მდე და კავკასიონის მწვერვალებზე ეცემა მინუს 2<sup>0</sup>-ზე დაბლა. ცხრილში 2.11. წარმოდგენილია ჰაერის საშუალო თვიური ტემპერატურის წლიური სვლა რეგიონის ძირითადი პუნქტებისათვის.

ცხრილი 2.1.1. ჰაერის ტემპერატურის წლიური სვლა

პუნქტი	ველი	აბაშა	სენაკი	ზუგდიდი	მარტვილი	წალენჯიხა	გეგერი
სიმაღლე მ.	3	28	40	117	170	222	1441
I	5,7	4,9	5,4	4,9	4,9	4,6	-6,0
II	6,4	5,5	6,2	5,5	5,3	5,0	-4,6
III	8,8	8,5	9,0	8,2	8,1	7,5	-0,5
IV	11,9	12,5	12,8	12,3	12,4	11,8	-5,2
V	16,4	17,5	17,6	17,0	17,1	16,5	11,0
VI	23,0	20,7	20,8	20,3	20,2	19,4	14,0
VII	23,0	22,9	22,8	22,6	22,1	21,5	16,4
VIII	23,3	23,1	23,8	22,7	22,5	21,8	16,3
IX	20,5	19,7	20,1	19,2	19,3	18,8	12,0
X	16,5	15,8	16,4	15,1	15,5	15,2	7,1
XI	11,9	10,7	12,2	10,5	10,9	10,5	1,6
XII	7,9	6,6	7,6	6,7	7,2	6,7	-4,1
წელი	14,4	14,1	14,5	13,8	13,8	13,3	5,7

როგორც ცხრილიდან ჩანს წლიურ სვლაში ჰაერის ტემპერატურის მაქსიმუმი მთიან რაიონებში ივლისიდან გადადის აგვისტოზე.

პარის ტემპერატურის აბსოლუტური მაქსიმუმების საშუალოები შავი ზღვის სანაპირო ზოლში არ აღემატება  $36^0$ -ს, ხმელეთის სიღრმეში  $38^0$ -მდე იზრდება, კავკასიონის მაღალმთიან ზონაში კი  $22^0$ -მდე კლებულობს. ტემპერატურის აბსოლუტური მაქსიმუმი შეადგენს ფოთში  $39^0$ -ს, მესტიაში— $38^0$ -ს.

ტემპერატურის აბსოლუტური მინიმუმების საშუალოები დაბლობ რაიონებში შეადგენს  $4-8^0$ -ს, ხემო-სვანეთის ტერიტორიის დიდ ნაწილზე მინუს  $14-22^0$ -ს, ხოლო კავკასიონის მწვერვალებზე ეცემა მინუს  $30-35^0$ -მდე.

## 22. პაერის სინოტივე

პაერის პარციალური წნევის განაწილება პაერის ტემპერატურის განაწილების იდენტურია, ე.ი. მისი მაქსიმუმი მოდის წლის თბილ პერიოდზე, მინიმუმი კი ცივ პერიოდს ემთხვევა. საშუალო წლიური პარციალური წნევა სამეგრელო-ზემო სვანეთში  $6,2-14,1$  პა-ის ტოლია. ადგილის სიმაღლის ზრდასთან ერთად პაერში ორთქლის რაოდენობა მცირდება და ყორულდაში, 1900 მეტრის სიმაღლეზე, ის  $6,2$  პა-ს შეადგენს (ცხრილი 2.2.1.)

ცხრილი 2.2.1. წყლის ორთქლის პარციალური წნევა, პა

პუნქტი	ფთვები	თბილებები	ცივები	განებები	ცივები	მცირდება
I	6,8	6,5	5,1	3,4	4,8	2,2
II	7,2	6,6	5,4	3,6	5,0	2,9
III	8,0	7,4	6,2	4,4	5,8	3,6
IV	10,6	9,9	8,4	6,2	7,8	5,0
V	15,2	14,3	11,9	8,5	10,8	7,0
VI	19,9	18,8	15,1	10,6	13,6	9,0
VII	24,0	22,5	17,9	12,5	16,4	10,7
VIII	24,3	22,6	18,0	12,3	16,1	10,5
IX	20,1	18,2	14,5	10,1	13,2	8,7
X	14,8	12,9	10,7	7,4	9,6	6,1
XI	10,6	9,4	7,8	5,6	6,8	4,1
XII	7,6	7,2	5,7	4,0	5,3	3,2
წელი	14,1	13,0	10,6	7,4	9,6	6,2

წლიურ სვლაში წყლის ორთქლის პარციალური წნევა უდიდეს მაჩვენებელს აღწევს ივლის-აგვისტოში. უმცირესია იანვარ-თებერვალში. მნიშვნელოვანი შემცირება ჰაერში წყლის ორთქლის რაოდენობისა აღინიშნება სექტემბერ-ოქტომბერში, თუმცა 1900 მეტრის სიმაღლეზე ყორულდაში 6,2 ჰპა-ზე ნაკლები არ არის.

საშუალო წლიური შეფარდებითი სინოტივე ტერიტორიაზე 71-78%-ის ფარგლებში მერყეობს. მისი ტერიტორიული განაწილება თითქმის თანაბარია. შეფარდებითი სინოტივის სიდიდის რიცხვითი მაჩვენებლები უდიდესია წლის ციკ პერიოდში გარდა მაღალმთიანი ყორულდაშისა. ნაკლებია წლის თბილ პერიოდში (ცხრილი 2.2.).

ცხრილი 2.2.2. ჰაერის შეფარდებითი სინოტივე (%) .

პუნქტი	თებერვალი	მარტი	აპრილი	მაისი	ივნისი	ივლისი	აგვისტი	ოქტომბერი
I	72	71	64	70	81	85	79	68
II	73	72	64	72	79	82	77	69
III	75	70	67	71	74	77	74	70
IV	78	70	69	70	70	71	72	72
V	82	73	72	74	71	70	70	71
VI	82	76	73	78	73	72	70	73
VII	83	80	74	83	74	74	71	74
VIII	83	80	74	82	74	74	72	79
IX	83	80	74	80	78	78	77	75
X	79	75	70	74	81	81	78	71
XI	73	68	65	69	80	81	80	70
XII	70	67	64	67	82	86	82	68
წლიური	78	74	69	74	76	78	75	71

13 საათის საშუალო წლიური შეფარდებითი სინოტივე საკმაოდ მაღალია და მერყეობს ტერიტორიულად 52-62%-ის ფარგლებში. აღმოსავლეთის ფიონური ქარების დროს შეფარდებითი სინოტივე მნიშვნელოვნად ეცემა, ზოგჯერ 22-25%-მდე.

სინოტივის საშუალო წლიური დეფიციტი 2,9-4,7 ჰპა ფარგლებშია 700-750 მეტრის სიმაღლეზე მერყეობს 4,1-4,2 ჰპა ფარ-

გლებში (ხაიში, ლენტეხი). ადგილის სიდიდის გადიდებით იგი მცირდება და მესტიაში (1400მ.) შეადგენს 3,6 მბ-ს, ხილო ყორულდაშში კი 1900 მეტრზე, 2,9 მბ-ის ტოლია. (ცხრ. 2.2.3.).

### ცხრილი 2.2.3. სინოტივის დეფიციტი

პუნქტი	ვარი	ისექტები	ხასიათი	ინტენსივობა	აიტენი	მასშიანებელი
I	3	2.7	1.2	1	1	1.3
II	3.1	3.1	1.5	1.3	1.2	1.4
III	3.4	3.9	2.7	2.2	1.8	1.6
IV	3.8	5.5	5	4.4	3.2	2.3
V	4	6	6.2	6.3	5.2	3.5
VI	4.8	6.3	6.9	7.2	6.4	4.1
VII	5.1	5.7	7.4	7.4	7.4	4.6
VIII	5.4	5.8	7.7	7.5	7.2	4.8
IX	4.7	4.8	5.3	5.2	5	3.8
X	4.3	4.4	2.9	3.4	3.2	3.2
XI	4.1	4.3	1.9	2.1	2	2.3
XII	3.6	3.6	1.3	1	1.1	1.6
წელი	4.1	4.7	4.2	4.1	3.6	2.9

### 2.3.ატმოსფერული ნალექები

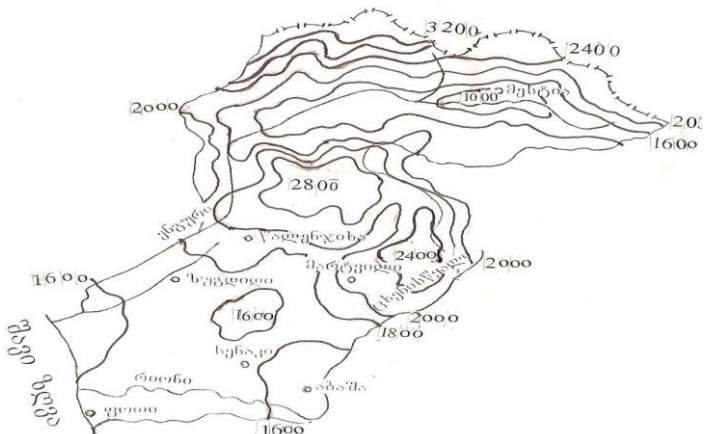
ატმოსფერული ნალექების ფორმირება სამეგრელოს და სვანეთის ტერიტორიებზე განპირობებულია სინოპტიკური პროცესებით, რომლებიც წარმოიქმნება სამხრეთ კავკასიის დასავლეთ და ადმოსავლეთ რაიონებში და ფრონტალური ჰაერის მასების აღრევით. ბარიული გრადიენტების ზრდის დროს, თუ იზოპიფსები მიმართულია ჩრდილო-დასავლეთიდან სამხრეთ-აღმოსავლეთისაკენ, მყარდება თბილი ჰაერის მასები, ხოლო თუ იზოპიფსები მიმართულია ჩრდილო-დასავლეთიდან სამხრეთ-აღმოსავლეთისაკენ იქმნება პირობები ჭარბი ტენით გაჯერებული ჰაერის მასების შემოჭრისათვის. ეს პროცესი ძირითადად დამახასიათებელია წლის გარდამავალი ჰერიოდებისათვის (კ.პაპინაშვილი, 1963).

სამხრეთიდან ციკლონების გადმონაცვლების დროს სამხრეთ კავკასიის დასავლეთი რაიონები ნალექების სიუხვით ხა-

სიათდება. დიდია ფრონტის ტალღურ აღრევასთან დაკავშირებული ატმოსფერული ნალექების რაოდენობა. ამ დროს მოსული ნალექები ხშირად წლის განმავლობაში მოსული ნალექების 15-20- %-ს შეადგენს.

მთლიანად დასავლეთ საქართველოში ცირკულაციური პროცესების გამწვევებას შავი ზღვის სიახლოვე და ტერიტორიაზე არსებული ტენის დიდი მარაგი უწყობს ხელს. წვიმებს ხშირად ერთვის ძლიერი ქარები. ზღვის ზეირთები თავის მხრივ ხელს უშლიან ზღვაში მდინარეთა ჩამონადენის თავისუფლად შეღწევას. ამ დროს მდინარის კალაპოტიდან წყალი გადმოდის და ტბორავს ტერიტორიას.

სამეგრელო-ზემო სვანეთის ტერიტორიაზე ატმოსფერული ნალექების წლიური ჯამები მერყეობს 1000-3200მმ ფარგლებში. შავი ზღვის სანაპირო ზოლში, სენაკის, აბაშის და ზუგდიდის რაიონებში წლის განმავლობაში მოდის 1600-1800მმ ნალექი. წალენჯიხის და მარტვილის რაიონებში მოსული ნალექები აღემატება 2000მმ-ს. სიმაღლის ზრდასთან ერთად ნალექები იზრდება და კავკასიონის მაღალმთიან ზონაში აღემატება 3000მმ-ს, მინიმალური ნალექების რაოდენობა კი მოდის ზემოსვანეთის ვიწრო ხეობებში (ნახ. 2.3.1.).



ნახ. 2.3.1. ატმოსფერული ნალექების წლიური ჯამები. მმ წლის ცივი პერიოდის განმავლობაში მოსული ნალექების ჯამი მერყეობს 400-1200მმ-ის ფარგლებში, ხოლო თბილი პერი-

ოდის განმავლობაში მოსული ნალექები შეადგენს 600-1400მმ-ს. სეზონური ნალექების მაქსიმუმის და მინიმუმის მოსვლის ადგილები შეესაბამება წლიური ნალექების ექსტრემუმის მოსვლის რაიონებს—მინიმუმი მოდის ზემო-სკანეთის ვიწრო ხეობებში, ხოლო მაქსიმუმი— კავკასიონის მაღალმთიან ზონაში.

ნალექთა წლიური განაწილება საკმაო სირთულით ხასიათდება. აქ აღინიშნება ნალექების წლიური სვლის, როგორც ხმელთაშუაზღვის ტიპი (მაქსიმუმი ზამთარში, მინიმუმი ზაფხულში), ისე ზღვიური (მაქსიმუმი შემოდგომაზე, მინიმუმი გაზაფხულზე) და გარდამავალი (მაქსიმუმი ზამთარში, ან გაზაფხულზე, მინიმუმი გაზაფხულზე) ტიპები.

ასე მაგალითად, მდინარე ხობის აუზში ზღვის დონიდან 250მ-მდე გაბატონებულია ნალექების წლიური სვლის ზღვიური ტიპი, ხოლო უფრო მაღლა-გარდამავალი ტიპი. მდინარე ენგურის ხეობაში დაახლოებით იმავე სიმაღლემდე გამოხატულია ნალექების წლიური სვლის გარდამავალი ტიპი, რომელსაც უფრო მაღლა ხმელთაშუაზღვიური ტიპი ცვლის. ნალექების წლიური სვლის ასეთი განსხვავებების მიუხედავად მთლიანობაში რეგიონში წლის თბილი პერიოდის განმავლობაში (აპრილი-ოქტომბერი) მოსული ნალექების რაოდენობა აღემატება ციკი პერიოდის (ნოემბერი-მარტი) განმავლობაში მოსულ ნალექების რაოდენობას. ყოველივე ეს კარგად დასტურდება ცხრილი 2.3.1.-ის მონაცემებით.

რეგიონში წლის განმავლობაში საშუალოდ 140-170 ნალექიანი დღეა. დიდია ნალექიან დღეთა რიცხვი სანაპირო ზოლში სადაც აღწევს 160 დღეს. ზღვიდან დაშორებისას ნალექიან დღეთა რიცხვი იზრდება და მეტიაში შეადგენს 170-ს.

დღედამური ნალექების საშუალო მაქსიმუმი ფოთში 107 მმ-ია, ხოლო სენაჟში 93 მმ. ნალექების აბსოლუტური მაქსიმუმი შესაბამისად 268 და 158 მმ-ია.

წვიმების საერთო ხანგრძლივობა წლის განმავლობაში საშუალოდ 979 საათიდან (გალი) 1346 საათამდე (ფოთი) იზრდება. აქედან წვიმათა უდიდესი ხანგრძლივობა წლის ციკ პერიოდზე მოდის. ხანგრძლივი უწყვეტი წვიმები წლის ყველა სეზონშია მოსალოდნელი. ორდენიანი უწყვეტი წვიმების განმეორადობა 2-7 %-ია, სამდლიანი წვიმებისა-!%-მდე. ხანმოკლე წვიმებით ხასიათდება ზაფხულის თვეები, განსაკუთრებით აგ-

ვისტო. ამ დროს ზშირად წვიმების ხანგრძლივობა არ აღემა-  
ტება 1 სთ-ს.

### ცხრილი 2.3.1. ატმოსფერული ნალექების წლიური სკლა. მმ

პუნქტი	მთვე	ასაში	სექტემბერი	ოქტომბერი	ნოემბერი	დეკემბერი	ექვივი
სიმაღლე მ.	3	28	40	117	170	222	1441
I	159	179	176	156	202	191	75
II	142	174	174	139	193	175	70
III	106	128	150	130	172	157	80
IV	86	89	106	118	118	135	83
V	59	72	89	113	100	128	90
VI	122	100	134	149	148	171	83
VII	179	112	154	168	172	191	81
VIII	208	102	156	146	174	167	79
IX	256	145	186	172	207	196	86
X	184	169	176	146	191	170	101
XI	169	176	173	139	191	161	83
XII	161	181	157	147	171	174	81
წელი	1831	1622	1831	1723	2039	2016	602

### 2.4.თოვლის საფარი

სამეგრელო-ზემო სვანეთის ტერიტორიაზე თოვლის საფა-  
რის განაწილების თავისებურებებს განსაზღვრავს რელიეფის  
გეომორფოლოგიური სტრუქტურა, ამბესოლუტური სიმაღლე და  
შავი ზღვის აკვატორიიდან მოსული ნოტიო ჰაერის მასების მი-  
მართ ფერდობების მდებარეობა. თოვლის საფარის ოექიმულ  
მახასიათებლებზე დამოკიდებულებით აქ გამოიყოფა სამი  
ზონა. პირველი ზონა წარმოადგენს არამდგრადი თოვლის სა-  
ფარის ზონას, რომელიც მოიცავს შავი ზღვისპირა ზოლს  
კოლხეთის დაბლობის ნაწილის ჩათვლით ზღვის დონიდან  
500-700მ. სიმაღლემდე. მეორე ზონა სასიათდება მდგრადი  
თოვლის საფარით და მოიცავს კავკასიონის წინა მთისა და  
ფერდობების ნაწილს სამეგრელო-ზემო სვანეთის ტერიტორიის

ფარგლებში 500-700 მეტრიდან დაწყებული გლაციურ-ნივალური ზონის ქვედა საზღვრამდე. მესამე ზონა-მარადიული თოვლის განლაგებულია თოვლის ხაზის ზემოთ სვანეთის კავკასიონის მაღალი მთის ფერდობებზე. პირველ ზონაში წელიწადის ცივ პერიოდში შეიძლება რამდენჯერმე ადგილი ჰქონდეს არამდგრადი თოვლის საფარის წარმოქმნას და გაქრობას მეტეოროლოგიურ პირობებზე დამოკიდებულებით. ამ ზონაში უხვოვლიანი და მკაცრი ზამთრის შემთხვევაში არა-მდგრადი თოვლის საფარის არსებობა როგორც გამონაკლისი, შეიძლება გაგრძელდეს ერთი თვე და მეტი.

თოვლის საფარის სიმაღლის ფორმირების დინამიკა მდგრადი თოვლის საფარის ზონაში (II ზონა) შეიძლება დახასიათდეს მესტიის პიდრომეტეოროლოგიური საღგურის მრავალწლიური მონაცემების ანალიზის საფუძველზე. თოვლის საფარის საშუალო დეკადური სიმაღლე (h) ამ სადგურზე ნოემბრის მესამე დეკადიდან დაწყებული (როდესაც იწყება მდგრადი თოვლის საფარის ფორმირება) თანდათან (მონოტონურად) მატულობს და აღწევს მაქსიმუმს თებერვლის მესამე დეკადაში. მარტში პაერის ტემპერატურის და თოვლის სინოტიგის (კუთრი წონის) ზრდის შედეგად იწყება თოვლის საფარის სიმაღლის კლება, რომელიც მაქსიმუმს აღწევს აპრილის მეორე დეკადაში. ამ თვის ბოლოს აღნიშნულ სადგურზე თოვლის საფარი ქრება. დამოკიდებულება  $h=f(n)$ , სადაც  $h$  არის მდგრადი თოვლის საფარის დეკადური სიმაღლე (სმ), ხოლო  $n$  დღეების რიცხვი, წელიწადის ცივი პერიოდის იმ ნაწილისათვის, როდესაც აღინიშნება თოვლის საფარის სიმაღლის მატება, ანალიზურად წარმოიდგინება წრფივი ფუნქციის სახით:  $h=0,55n+1,5$ . მაგალითად იანვრის 10 რიცხვში (პირველი დეკადა)  $n=50$  დღეს, თოვლის საფარის სიმაღლემ მესტიაში შეადგინა 29სმ; სამეგრელო-ზემო სვანეთის რაიონში ადგილის აბსოლუტური სიმაღლის ზრდისას თოვლი საფარის როგორც საშუალო დეკადური, ასევე მაქსიმალური დეკადური სიმაღლეების საშუალო სიდიდე მატულობს. მაგალითად, მაქსიმალური დეკადური სიმაღლეების საშუალო მეორე ზონის ქვედა საზღვარზე შეადგენს 20 სმ, საშუალო და მაღალმთაიან ზონაში კი ის შესაბამისად ტოლია 100 და 200 სმ-ისა. ადგილის აბსოლუტური სიმაღლის ზრდისას თოვლის საფარის სიმაღლის ზრდის ინტენსივობას ახასიათებს ვერტიკალური გრა-

დიენტი (სმ/100ქ). მდინარე ენგურის ხეობაში 500-1500მ სიმაღლის დიაპაზონში ვერტიკალური გრადიენტის სიდიდე მცირდება 8-დან 3სმ-დან 100მ-ზე. ე. ი. ადგილი აქვს ვერტიკალური გრადიენტის შემცირებას, მაშინ, როდესაც მდინარეების: კოდორის, ცხენისწყალის, რონის, ლიახვის, არაგვის, აჭარისწყალის, სუფსის და გუჯარეთის-წყლის აუზებში აღინიშნება გრადიენტის სიდიდის მატება სიმაღლის ზრდის სინკრონულად. ეს განსხვავება განპირობებულია იმით, რომ ზემო სვანეთის მიკროკლიმატური რაიონი ჩრდილოეთიდან ცივი არქტიკული ჰაერის მასების შემოჭრისაგან დაცულია პაგასიონის მთავარი ქედით, სამხრეთიდან და დასავლეთიდან კი შავი ზღვის ნოტიო ჰაერის მასებისაგან-სვანეთის, სამეგრელოსა და კოდორის ქედებით, რის შედეგად აქ წარმოიქმნება ნალექების პლიუვიომეტრული ჩრდილი მათი მინიმუმით, რაც განაპირობებს თოვლის საფარის სიმაღლის და შესაბამისად მისი მაღლივი გრადიენტის კლებას. ამის შედეგად ჯვრის წყალსაცავის ჩრდილოეთ ნაწილში ნალექების წლიური რაოდენობა 400-500მმ-ით ნაკლებია მის სამხრეთ ნაწილთან შედარებით. ნალექების უარყოფითი გრადიენტების ზონა აქ ვრცელდება მესტიის, ზემო სვანეთის ქვაბულამდე, შემდეგ კი ენგურის ხეობის ორიენტაციის ცვლილებასთან დაკავშირებით ნალექების გრადიენტი ხდება დადებითი და მურკმელში ნალექების წლიური ჯამი შეადგენს 1040მმ-ს, აუზის მაღალმთიან ნაწილში კი იგი აღწევს 2800მმ-ს და მეტს. მესტიის პიდრომეტროლოგიური სადგურის მონაცემებით თოვლის საფარის საშუალო დეკადური სიდიდეებიდან უდიდესების განმეორადობა შეადგენს 21-30სმ და 101-125სმ სიმაღლეების ინტერვალებისათვის შესაბამისად 3%-ს, 31-50-სმ და 76-100სმ ინტერვალებისათვის შესაბამისად 26 და 29%-ს, 51-75სმ ინტერვალისთვის კი 39%-ს. თუ წარმოვიდგენო მოცემული ინტერვალების შესაბამის სიმაღლეების სიხშირეებს გრაფიკის (პოლიგონის ან პისტოგრამის) სახით, აღმოჩნდება, რომ ისინი ხასიათდებიან სიმეტრიული განაწილებით თოვლის საფარის სიმაღლეთა 51-75სმ გრადიაციის შესაბამისი სიხშირეებიდან ორივე მხარეს.

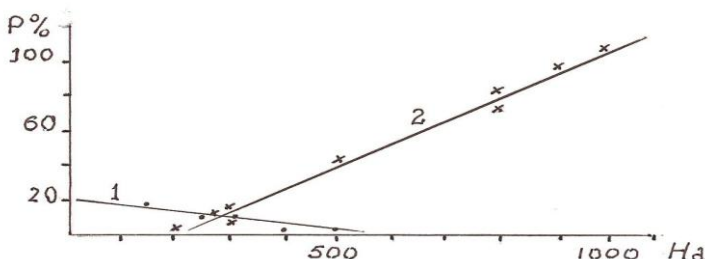
მდგრადი თოვლის საფარის არსებობის ხანგრძლივობა ამ რაიონში დამოკიდებულია ადგილის აბსოლუტურ სიმაღლეზე, რომელიც განსაზღვრავს ჰაერის საშუალო დღედამური ტემპერატურის 0<sup>0</sup>-ზე გადასვლას. მაგალითად, მესტიაში მდგრადი

თოვლის საფარის წარმოქმნის და გაქრობის საშუალო თარიღებია შესაბამისად 1/XII და 15/IV. მდგრადი თოვლის საფარის წარმოქმნის და გაქრობის ყველაზე გვიანი და ადრეული თარიღები საშუალო თარიღისაგან განსხვავდება ერთი თვით და მეტით (საქართველოს კლიმატი და კლმატური რესურსები, 1971). განსახილველ რაიონში ზამთრების განმეორადობა თოვლის საფარის გარეშე და მდგრადი თოვლის საფარით ადგილის აბსოლუტურ სიმაღლეზე დამოკიდებულებით მოცემულია ნახ. 2.4.1.-ზე. სიმაღლის მატებისას პირველი დამოკიდებულების განმეორადობა მცირდება, მეორისა კი-იზრდება. დამოკიდებულებები  $P_1=f(H)$  და  $P_2=f(H)$ , სადაც  $P_1$  ზამთრის განმეორადობა თოვლის საფარის გარეშე და  $P_2$  - იგივე მდგრადი თოვლის საფარით, ანალიზურად წარმოიდგინება წრფივი ფუნქციის სახით:

$$P_1=20,5-0,035H \quad , \quad 2.4.1.$$

$$P_2=0,13H-26 \quad , \quad 2.4.2.$$

აქ  $H$  მოცემულია მეტრებში. დაახლოებით 1000-1100 მეტრის სიმაღლეზე (2.4.2)-ის თანახმად  $P_2=100\%$ . ე. ი. ამ სიმაღლეებიდან დაწყებული ყოველ წელიწადს დაიკვირვება ზამთარი მდგრადი თოვლის საფარით.



nax. 2.4.1. zamTrebis ganmeoradoba:

1) Tovlis safaris gareSe; 2) mdgradi Tovlis safariT

თოვლის საფარის ისეთი მახასიათებლების შესწავლას, როგორიცაა სიმაღლე, სიმკვრივე და წყლის მარაგი აქვს დიდი მნიშვნელობა ისეთი საკითხების დამუშავებისას, როგორიცაა თოვლის ზვავების პროგნოზი, ზვავსაშიში პერიოდების ხანგრძლივობა, ოპერატიული პიდროლოგიური პროგნოზების შედეგება და სხვა. ამ პრობლემების გადაწყვეტისას გამოიყენება

ქსელური თოვლაგეგმვის მასალები, რომლებიც გამოქვეყნებულია სათანადო კლიმატოლოგიურ ცნობარებში. მაგრამ, რაღანაც, როგორც წესი, საკვლევი ტერიტორიის რიგი ზონებისათვის ასეთი მონაცემები არ გაგვაჩნია აუცილებელი ხდება თოვლის საფარის ამ პარამეტრების წყვილებს შორის კორელაციური კავშირების დადგენა. ამ მიზნით შეიძლება დადგინდეს კორელაციური კავშირები თოვლის საფარის პარამეტრების გასაშუალოებულ და მაქსიმალურ მნიშვნელობებს შორის. მაგალითად, საკვლევი რეგიონისათვის დამოკიდებულება  $h = f(\bar{h} \max)$  ანალიზურად წარმოიდგინება შემდეგი სახით:

$$h=2,5h_{\max}+0,45 \quad 2.4.3.$$

sacnobaro literaturaSi Tovlis safaris simkvritvis sidideebi mocemulia mxolod calkeuli sadgurebisaTvis da bunebrivia, rom maTi gamoTvla warmoadgens gansazRvrul interess. am mizniT dasavleT kavkasionis sadgurebis monacemebiT dadgenili iqna korelaciuri kavSiri  $\rho_{\max}$  da  $\bar{\rho}_{\max}$  Soris:

$$\rho_{\max} = 1,30 \bar{\rho}_{\max} + 1,0015 \quad 2.4.4.$$

სადაც  $\bar{\rho}_{\max}$  არის თოვლის საფარის საშუალო სიმკვრივე,  $\rho_{\max}$  – სიმკვრივის მაქსიმალური სიდიდე.

თოვლის საფარში წყლის მარაგის გამოთვლის მეთოდიკის დამუშავება წარმოადგენს განსაკუთრებულ ინტერესს, ვინაიდან ამ პარამეტრის შესახებ ცნობარებში ძალიან მწირი ინფორმაციაა წარმოდგენილი. ამიტომ უკვე ინტერესს წარმოადგენს კორელაციური კავშირის დადგენა თოვლის საფარის სიმაღლის მაქსიმალურ სიდიდეებს ( $h_{\max}$ ) და წყლის მარაგს (წ) შორის, იმ სადგურების მონაცემების გამოყენებით, რომლებზედაც წარმოებდა სინქრონული დაკვირვებები–თოვლის საფარის მაქსიმალურ სიმაღლეებზე და წყლის მარაგზე. დადგენილი იქნა მათ შორის კორელაციური კაშირის ანალიზური სახე:

$$W_{\max} = 0,780 + 0,192h_{\max} - 0,0013h^2_{\max} \quad 2.4.5.$$

სადაც  $W_{\max}$  და  $h_{\max}$  მოცემულია სმ-ში. აღსანიშნავია, რომ აღნიშნული კორელაციური კავშირები მდგრადი თოვლის საფარის პარამეტრებს შორის არსებითად აფართოებს ჩვენთვის

საინტერესო ინფორმაციის მოცულობას ზოგიერთ მათგანზე, რომლების შესახებაც დაკვირვებების მასალები არ გაგვაჩნია.

მიღებული კორელაციური კავშირები შეიძლება გამოყენებული იქნეს სამეცნიერო-ზემო სვანეთის რაიონებში თოვლის საფარის სათანადო პარამეტრების გამოთვლის მიზნით.

## 2.5. ქარი

ქარის მიმართულება და სიჩქარე განპირობებულია ორი ძირითადი ფაქტორით: ბარიული გრადიენტით და რელიეფით.

ცნობილია, რომ პაერის მასათა საერთო გადანაცვლება საქართველოს განედებზე ხდება დასავლეთიდან აღმოსავლეთი-საკენ და ამიერკავკასიის მთათაშორისი ტექტონიკური დეპრესია ხელს უწყობს ფრონტალური მდგრენელების გადანაცვლებას დერძის გასწვრივ, თუმცა ქვეფქნილი ზედაპირის აღრევითი მოქმედება არღვევს პაერის მასათა გადანაწილებას და-სავლეთიდან ატმოსფეროს ქვედა ფენებში.

ხმელეთისა და ზღვის, პლატფორმების და ბარის არათანაბარი გათბობა ხელს უწყობს საქართველოს ტერიტორიაზე ატმოსფეროს ადგილობრივ ცირკულაციას, რის გამოც მათი ურთიერთქმედების შედეგად წარმოიშობა მთა-ბარისა და სანაპირო (ბრიზები, მუსონები) ცირკულაცია, რასაც ხელს უწყობს ატმოსფერული წნევის სეზონური განაწილება, რომელიც აპირობებს დასავლეთის ქარების ბარონობას თბილ პერიოდში და აღმოსავლეთისას-ცივ პერიოდში, რაც აძლევს მას მუსონური ცირკულაციის ხასიათს.

საქართველოს ტერიტორიაზე პაერის ცირკულაციისათვის დიდი მნიშვნელობა აქვს მთავარი კავკასიონის ქედს, რომელიც წარმოადგენს არა მარტო ბუნებრივ წინადობას ჩრდილოეთი-დან ცივი პაერის მასების შემოსვლისათვის, არამედ განაპირობებს მათი გადაადგილების ძირითად გზებს ამიერკავკასიაში დასავლეთიდან და აღმოსავლეთიდან. ქარის მიმართულებასა და სიჩქარეზე და აგრეთვე პაერის მასებზე, რომლის გადანაცვლებაც ხდება, არსებით გავლენას ახდებს მთის ქედები, რომლებიც კვეთენ საქართველოს ტერიტორიას სხვადასხვა მიმართულებით-ისინი წარმოადგენენ ერთგვარ წყალგამყოფებს და საზღვრავენ პაერის მასათა გდანაცვლების მიმართულებას.

ქარის მიმართულება. კოლხეთის დაბლობისათვის, კერძოდ სამეცნიეროსათვის, დამახასიათებელია მუსონური ტიპის ქარები წლის ცივ და თბილ პერიოდებში, როცა შავ ზღვაზე, კავ-

კასიონის ცენტრალურ რაიონებზე განლაგებულია მაღალი და დაბალი წნევის არები. კოლხეთის დაბლობზე, რომლის ზღვისპირა ნაწილია სამეგრელო, წლის თბილ პერიოდში სჭარბობს ქარები დასავლეთის მდგენელით (ქარები ზღვიდან), ხოლო ცივ პერიოდში—აღმოსავლეთის მდგენელით (ქარები ხელეთიდან). თუმცა ზაფხულში მთისწინეთში გადანაცვლებასთან ერთად აღინიშნება მთა-ბარის ცირკულაციაც, რომელიც თან ერთვის მუსონური ხასიათის ქარებს, რაც იწვევს ქარის მიმართულების განმეორადობის ზრდას დასავლეთის მდგენელით.

ჰაერის ცივი მასების ჩამოდინება კავკასიონის თოვლიანი მწვერვალებიდან და გვერდითი ქედებიდან ხელს უწყობს ქარების განმეორადობის ზრდას ხრდილოეთის მდგენელით სამეგრელოს ხრდილოეთ ნაწილში (მუხურა).

როგორც ცხრილი 2.5.1. გვიჩვენებს სამეგრელოს ტერიტორიაზე ქარები ზღვიდან ქრის უმეტესად აპრილ-მაისიდან აგვისტო-სექტემბრამდე, ხოლო ხმელეთიდან – სექტემბრიდან აპრილ-მაისამდე (ჩათვლით).

ცხრილი 2.5.1. ქარის მიმართულების განმეორადობა (%)  
ზღვიდან და ხმელეთიდან

		(ქა)	(ქა+ქ.)	(ქა+ქ.)	(ქა)	(ქა)	(ქა)	(ქა)	(ქა)	(ქა+ქ.)	(ქა+ქ.)
I	14	69	11	56	17	71	20	35	18	62	
II	18	60	14	50	25	61	22	40	26	50	
III	26	47	20	43	35	47	33	29	36	28	
IV	35	36	30	30	47	38	38	25	48	36	
V	39	30	44	27	55	28	42	17	51	20	
VI	44	24	49	20	61	23	46	16	56	16	
VII	48	24	47	16	66	17	47	9	64	12	
VIII	39	35	44	15	55	27	41	20	56	18	
IX	31	41	32	26	48	33	41	19	45	26	
X	18	55	19	37	36	57	29	34	25	45	
XI	12	68	12	53	15	70	20	39	17	61	
XII	5	73	6	53	11	80	13	49	15	65	

აქ ქარგადაა განვითარებული ბრიზული ცირკულაცია, რაც გამოწვეულია ზღვისა და ხმელეთის არათანაბარი გათბობით

დღის განმავლობაში. იგი დაიკვირვება წლის თითქმის ყველა სეზონში. სუფთა სახით ბრიზები წარმოიშობა მხოლოდ იმ რეგიონებში, სადაც მთის მასივები დაშორებულია ნაპირიდან და რელიეფი სწორია. მთა-ბარის ქარების გავლენა აქ თითქმის გამორიცხულია.

ცხრილი 2.5.2. ადასტურებს ბრიზების მნიშვნელოვან განმეორადობას სამეგრელოს ზღვისპირა ზოლში.

ცხრილი 2.5.2. ზღვისა და სანაპირო ბრიზების განმეორადობის დღე-დამური სპლანი (%)

ბრიზის ტიპი	გადა (სო.)	I	II	III	IV	V	VI	VII	VIII	IX	X	XI	XII
ანაგლია													
ბაზ- ბაზი	1	72	64	57	54	46	50	47	6	63	68	72	74
	13	55	54	35	23	15	7	5	8	18	35	60	69
ბაზ- ბაზი	19	66	54	37	21	15	7	3	12	32	49	65	72
	1	12	18	20	25	29	25	27	17	15	11	8	8
ბაზ- ბაზი	13	15	21	34	46	55	62	67	62	47	28	17	10
	19	16	22	33	41	49	64	39	59	44	24	15	10
ზუგდიდი													
ბაზ- ბაზი	1	77	68	60	60	48	46	35	55	44	44	77	80
	13	57	55	43	29	22	14	11	11	21	34	52	59
ბაზ- ბაზი	19	71	63	40	24	12	7	5	9	17	46	77	75
	1	11	13	24	24	34	33	43	25	23	14	7	7
ბაზ- ბაზი	13	16	15	45	45	57	63	72	66	51	35	18	12
	19	13	21	62	62	75	83	86	78	60	33	11	11
სენაკი													
ბაზ- ბაზი	1	76	65	55	49	33	31	23	40	43	67	75	83
	13	68	59	48	32	26	17	12	17	22	32	71	78
ბაზ- ბაზი	19	67	56	34	23	11	5	3	6	15	41	62	79
	1	14	23	30	41	59	52	54	42	39	21	12	9
ბაზ- ბაზი	13	16	23	33	49	55	63	68	60	54	28	14	13
	19	21	33	48	61	75	84	82	83	72	14	24	12
ვორი													
ბაზ- ბაზი	1	72	59	48	42	35	33	18	29	44	66	72	77
	13	67	56	38	22	16	6	2	6	13	44	66	72
ბაზ- ბაზი	19	64	48	29	17	8	5	2	4	10	39	57	69
	1	18	28	34	42	45	44	60	39	30	40	15	14
ბაზ- ბაზი	13	17	26	43	59	60	74	81	81	67	35	19	15
	19	22	32	43	54	62	73	83	77	68	35	25	19

მთა-ბარის ქარები ფიქსირდება ზემო-სვანეთში. მათი წარმოშობის მიზეზია მთის ფერდობებისა და ბარის არათანაბარი გათბობა იმავე სიმაღლეზე თავისუფალი ატმოსფეროს გათბობასთან შედარებით. ამას თან ერთვის მთის მექანიკური გავლენა ჰაერის დინებებზე-დღისით უფრო მეტად თბება ფერდობების ქვემო ნაწილები და ბარის ფსკერი, რაც იწვევს ჰაერის ასვლას ზევით ფერდობებზე (ბარის ქარი). დამით გაცივებული ჰაერი ეშვება ქვემოთ ფერდობებზე (მთის ქარი), (ცხრილი 2.5.3.).

როგორც ცხრილი 2.5.3.-დან ჩანს, მთის ქარები, რომელიც დაიკვირვება დილისა და დამის საათებში, საკმარისად დიდი განმეორადობით ხასიათდება, რაც უფრო მეტად ხაიშში ფიქსირდება. რაც შეეხება ბარის ქარებს, რომელიც შუადღისათვისაა დამახასიათებელი ყვალაზე დიდი განმეორადობით ისევ ხაიშში ფიქსირდება. მისი განმეორადობა ზაფხულის თვეებში 81-84%-ის ტოლია. უნდა აღინიშნოს, რომ მთის ქარებში აღმოსავლეთის, ხოლო ბარის ქარებში-დასავლეთის მდგრენელები სჭარბობს.

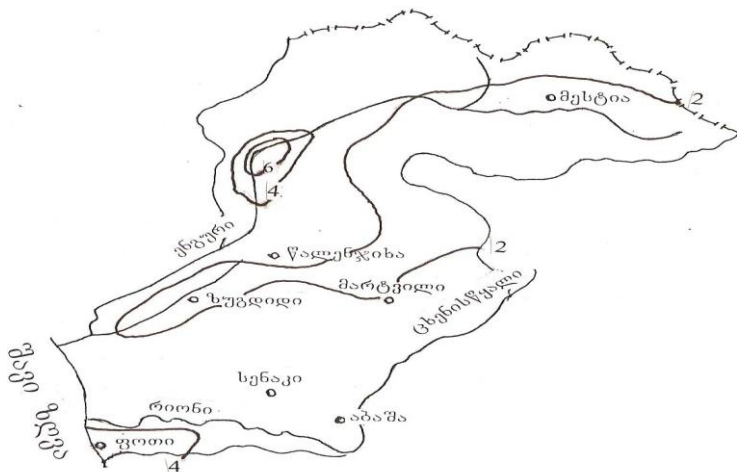
**ქარის სიჩქარე.** ქარის საშუალო სიჩქარე სამეგრელო-ზემო სვანეთის ტერიტორიაზე მნიშვნელოვნად ცვალებადობს ადგილის დახურულობასა და რელიეფთან დაკავშირებით. ქარის საშუალო წლიური სიჩქარე განსახილებელ ტერიტორიაზე 1.0მ/წმ (ძეზო, ლებარდე)–4,7მ/წმ (ჯვარი) ფარგლებშია მოქცეული. ამასთან მცირე სიჩქარეები აღინიშნება კავასიონის ღრმა მიხევულ-მოხევულ ხეობებში (ზემო სვანეთი). ასეთი მცირე სიჩქარეები ფიქსირდება სამეგრელოს ტერიტორიის იმ ნაწილზე, რომელიც სამხრეთიდან ესაზღვრება ზემო სვანეთს. სამეგრელოს ტერიტორიის იმ ნაწილზე, რომელიც კოლხეთის დაბლობშია მოქცეული, ქარის საშუალო სიჩქარეები საკმაოდ დიდია (ნახ.2.5.1-2.5.3.). ქარის საშუალო თვიური სიჩქარეები, ისევე როგორც საშუალო წლიური, დიდ ფარგლებში ცვალებადობს–0,4მ/წმ-დან 7,8მ/წმ-დე. საშუალო თვიური სიჩქარეების მაქსიმუმებისა აღინიშნება განსხვავებული კანონზომიერება. მაქსიმალური საშუალო თვიური სიჩქარე მოდის წლის ცივ პერიოდზე–ნოემბრიდან მარტის ჩათვლით, ხოლო მინიმალური წლის თბილ პერიოდზე–ივნის-სექტემბერზე, რაც გამოწვეულია ქარის აქ გაბატონებული დასავლეთის მდგრენელის შესუსტებით, გამონაკლისია ზემო სვანეთი, სადაც შედარებით მაღალი სიჩქარე ფიქსირდება გაზაფხულის ბოლოს და ზაფხულის თვეებში (ნახ. 2.5.2-2.5.3.).

ცხრილი 2.5.3. მთაბარის ქარების განმეორადობა (%)

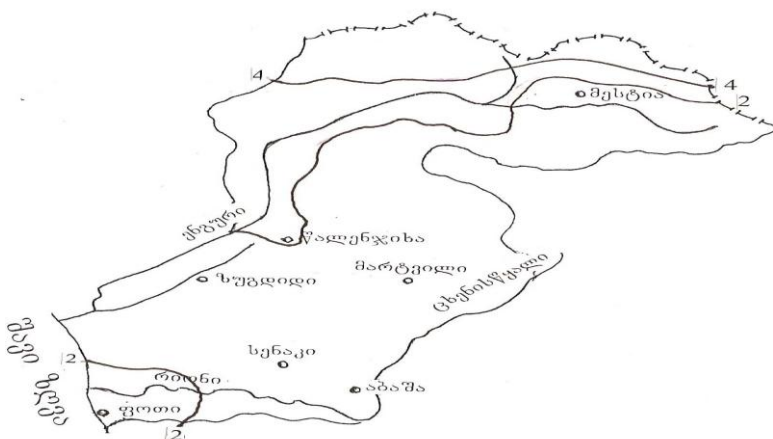
ქარი	ვადა (სთ.)	I	II	III	IV	V	VI	VII	VIII	IX	X	XI	XII
მეცნიერებები													
mTis C+CaR	1	68	72	50	45	51	64	64	74	64	58	62	62
	7	69	72	58	40	40	60	60	70	56	49	57	77
	13	13	19	19	27	26	19	20	15	10	11	9	27
	19	66	59	44	46	47	47	46	52	55	59	63	66
baris s+sd	1	19	19	34	42	35	19	20	13	18	25	24	10
	7	16	16	26	44	40	30	20	14	29	27	25	11
	13	58	56	59	39	41	53	56	60	66	72	70	52
	19	22	27	41	36	33	33	36	34	33	29	24	19
ხაიპო													
mTis C+CaR	1	95	92	89	89	95	Nº	80	88	93	97	98	97
	7	92	89	85	88	91	92	86	93	96	96	96	98
	13	69	44	26	19	10	7	6	8	10	21	60	85
	19	85	68	39	37	21	12	6	9	11	82	Nº	91
baris s+sd	1	3	5	10	10	3	9	5	9	5	5	2	3
	7	3	5	11	9	6	3	4	3	1	1	2	1
	13	19	42	Nº	70	78	83	83	81	74	60	32	10
	19	9	30	52	54	66	72	79	77	60	66	10	6
ლებარდე													
mTis C+CaR	1	63	66	61	68	60	62	55	64	65	58	59	60
	7	55	54	60	56	55	56	44	50	47	45	53	50
	13	48	41	39	39	27	20	21	27	28	30	42	48
	19	69	59	49	49	34	33	26	37	46	46	55	61
baris s+sd	1	12	12	12	18	19	19	19	13	14	13	19	11
	7	15	13	19	14	14	11	21	20	20	19	14	16
	13	31	41	44	39	49	58	61	63	61	57	45	34
	19	12	14	24	19	30	36	44	42	42	25	24	19

ქარის სიჩქარის დღე-დამური სვლა გამოსახულია თითოეულის მოელი წლის განმავლობაში, თუმცა მისი ამპლიტუდა წლის თბილ პერიოდში მეტია ტემპერატურის ვერტიკალური გრადიენტების ზრდასთან დაკავშირებით. ტურბულენტობის ზრდასა და კონვექციის გაძლიერების შედეგად მაქსიმალური სიჩქარეები განსახილველი ტერიტორიის უდიდეს ნაწილზე დაიკვირვება დღის მეორე ნახევარში, მინიმალური-დილისა და დამის საათებში, როცა ტემპერატურული კონტრასტები ცალკე-

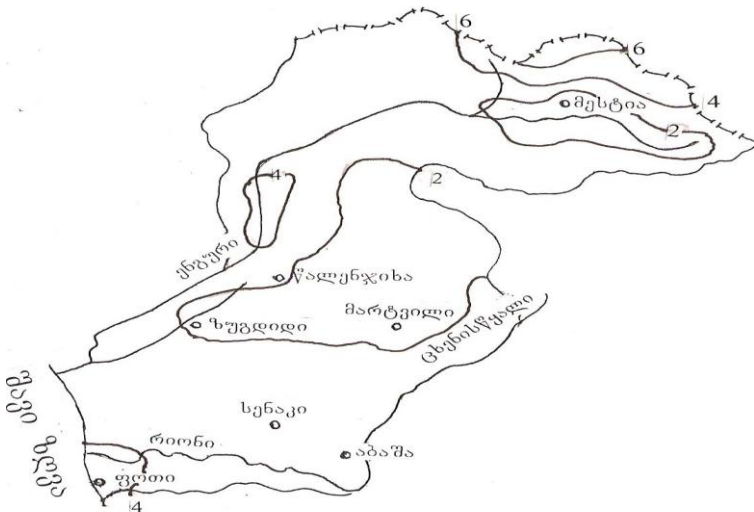
ულ ვერტიკალურ სარტყლებს შორის თითქმის გლუვდება. მხოლოდ ჯვარში, რომელიც ენგურის ხეობის ვერტიკალურ მონაკვეთზე მდებარეობს, ქარის საშუალო მაქსიმალური სიჩქარეები მთელო წლის განმავლობაში ღამის და დილის საათებში ფიქსირდება.



ნახ. 2.5.1. ქარის სიჩქარე. იანვარი. მ/წმ



ნახ. 2.5.2. ქარის სიჩქარე. ივლისი. მ/წმ



ნახ. 2.5.3. ქარის სიჩქარე. წელიწადი. მ/წმ

## 2.6. პაერის ტემპერატურისა და შეფარდებითი სინოტივის კომპლექსი

მრავალი პრაქტიკული ხასიათის ამოცანის გადაჭრისას მნიშვნელობა აქვს ერთი მეტეოროლოგიური ელემენტის ფიქსირებული მნიშვნელობის პირობებში მეორე ელემენტის ცვლილების კანონზომიერების ცოდნას. ამის მაგალითია პაერის ტემპერატურისა და შეფარდებითი სინოტივის კომპლექსი ფოთისა და მესტიის მეტეოროლოგიური სადგურების მონაცემების მიხედვთ. თვალსაჩინოებისათვის ფარდობითი სინოტივის ბიჯი (გრადაცია) აღებულია 5%, ხოლო პაერის ტემპერატურისათვის 5°. თითოეული სადგურისათვის სათანადო ცხრილიდან აღებულია ყოველდღიური მონაცემები 01 და 13 საათისათვის ყველა თვის ყველა დღისათვის. დაკვირვების რიგი შეადგენდა 25 წელს. ამრიგად თითოეული სადგურის თითოეული ელემენტისათვის მონაცემთა ბაზა შეადგენდა 18000 მნიშვნელობას.

სამეცნიეროს დაბლობი რაიონის დასახასიათებლად ჩვენ ავირჩიეთ სადგური ფოთის მონაცემები. შავი ზღვის სიახლოვე ერთგვარად არბილებს კლიმატს, ამცირებს პაერის ტემპერატურის ცვალებადობის ამპლიტუდას, თუმცა ამავე დროს

ზრდის ფარდობითი სინოტივის საშუალო მნიშვნელობას. სათანადო მონაცემები მოცემულია ცხრილში 2.6.1.

ცხრილი 2.6.1. ჰაერის ტემპერატურის და შეფარდებითი სინოტივის კომპლექსის განმეორადობა. ფოთი. %

შეფარდებითი ხო- ნიტივი (%)	ტემპერატურა									განმეორადობის ჯამი (%)
	-10.0 -5.1	-5.0 -1.0	0.0 4.9	5.0 9.9	10.0 14.9	15.0 19.9	20.0 24.9	25.0 29.9	30.0 34.9	
ფოთი										
21-25										0.1
26-30				0.1	0.2	0.2	0.2	0.1		0.8
31-35			0.2	0.5	0.4	0.3	0.2	0.1		1.7
36-40			0.4	0.9	0.7	0.4	0.2	0.1		2.7
41-45		0.1	0.7	1.1	0.9	0.5	0.2	0.1		3.6
46-50		0.2	0.8	1.0	0.8	0.6	0.3			3.7
51-55		0.3	1.0	1.2	0.8	0.7	0.2			4.2
56-6		0.3	0.9	1.1	0.8	0.6	0.3			4.0
61-65		0.5	1.0	1.0	0.8	1.1	0.7			5.1
66-70	0.1	0.4	1.1	1.2	1.0	1.7	1.6	0.1		7.2
71-75		0.4	1.2	1.2	1.2	2.4	2.7	0.1		9.2
76-80	0.1	0.6	1.4	1.5	1.3	2.2	1.6			8.7
81-85	0.1	0.9	2.1	1.6	1.4	2.0	0.6			8.7
86-90	0.2	1.4	2.6	2.2	2.1	2.4	0.3			11.2
91-95	0.2	2.1	4.1	3.9	3.8	3.6	0.2			17.9
96-100	0.2	1.4	2.0	2.4	3.9	1.4	0.1			11.3
გან. ჯამი (%)		0.9	8.7	19.4	20.8	20.1	20.1	9.4	0.6	100

ცხრილში წერტილი (.) მიუთითებს, რომ შესაბამისი ალბათობა 0,1%-ზე ნაკლებია. როგორც ცხრილის ანალიზიდან ჩანს ფოთში ყველაზე მეტი განმეორებადობა ასასიათებს ტემპერატურას 5-10; 10-15; 15-20 და 20-25<sup>0</sup>-ის ფარგლებში. ამ დიაპაზონში ხვდება ყველა შემთხვევათა 80%. ასეთ დროს შეფარდებითი სინოტივე ძირითადად მაღალია, 80-100%-ის ფარგლებში. უფრო დეტალურად ყველაზე მეტად ალბათურია გრადაცია 10-15<sup>0</sup> (21%) და ამ დროს სინოტივე 91-95% (18%). შეფარდებითი სინოტივის დაბალი მნიშვნელობები აქ ხშირი

არ არის, კერძოდ 40%-მდე აღნიშნულია მხოლოდ საერთო შემთხვევათა 5%-ში (შავი ზღვის გავლენა). რაც შეეხება ტემპერატურას, უარყოფითი ტემპერატურების ალბათობა არ აღემატება 1%-ს; 25°-ზე მეტი ტემპერატურა მხოლოდ 10% შემთხვევაშია დაკავირვებული, ასეთ დროს შეფარდებითი სინოტივის მონაცემები თითოეულ გრადაციაში არ აღემატება 0,1%-ს.

ანალოგიური მონაცემები მესტიის მეტეოროლოგიური სადგურისათვის მოცემულია ცხრილში 2.6.2.

ცხრილი 2.6.2. პარის ტემპერატურისა და შეფარდებითი სინოტივის კომპლექსის განმეორადობა. მესტია. %

შეფარდების გრადაცია (%)	ტემპერატურა										განმეორადები (%)
	<-10.0	-10.0 -5.0	-5.0 -1.0	0.0 -4.9	5.0 -9.9	10.0 -14.9	15.0 -19.9	20.0 -24.9	25.0 -29.9	30.0 -34.9	
მესტია											
11-15						0.1					0.1
16-20						0.1	0.1				0.6
21-25					0.1	0.3	0.4	0.1	0.2	0.1	2
26-30					0.2	0.6	0.6	0.5	0.6	0.1	3.4
31-35		0.1	0.3	0.5	0.9	1	1.1	0.9			5.2
36-40	0.1	0.3	0.7	0.7	0.8	1.2	1.6	0.8			6.3
41-45	0.1	0.2	0.5	1	0.7	0.6	0.9	2	0.5		5.3
46-50		0.1	0.5	0.8	0.6	0.6	0.8	1	0.3		4.2
51-55	0.1	0.2	0.5	0.9	0.6	0.5	0.8	0.6	0.2		4.1
56-60		0.2	0.5	0.8	0.4	0.6	0.5	0.4	0.1		3.3
61-65	0.1	0.2	0.4	0.6	0.5	0.5	0.5	0.2	0.1		3
66-70	0.2	0.2	0.7	0.7	0.5	0.5	0.5	0.2			3.5
71-75	0.4	0.6	0.8	0.8	0.7	0.6	0.3	0.1			4.3
76-80	0.4	0.8	1.3	1.1	1	0.8	0.3				5.4
81-85	0.8	1	1.9	1.4	1.1	1.3	0.2	0.1			7.8
86-90	0.6	1.3	2.1	1.8	1.6	1.7	0.3				9.4
91-95	0.3	1.3	2.9	3.9	4.7	4.2	0.3				17.6
96-100	0.3	0.8	2.8	4.2	3.8	2.2	0.1				14.2
განმეორადები (%)	3.3	7	15.4	18.9	17.7	16.9	8.8	8.1	3.7	0.2	100

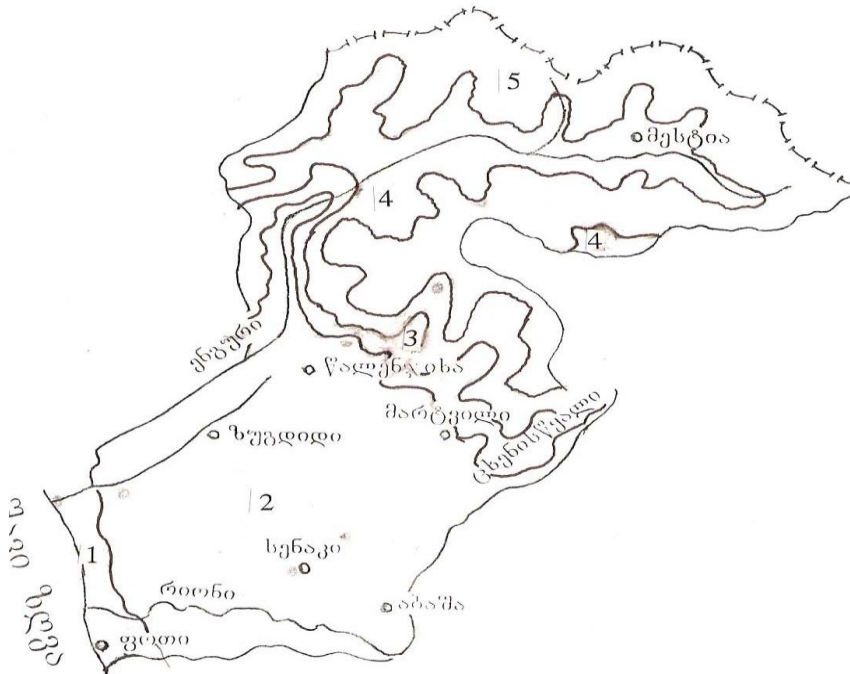
როგორც მოსალოდნელი იყო აქ საგრძნობლად გაიზარდა უარყოფითი ტემპერატურების ხვედრითი წილი 25,7%-მდე. ასევე

დაბალია 20%-ზე მეტი ტემპერატურების ალბათობა, მხოლოდ 12%. ყველაზე ალბათურია ტემპერატურა დიაპაზონში 0-15<sup>0</sup>-მდე, რომელიც ჯამში 53,5%-ს შეადგენს.

რაც შეეხება სინოტივეს, აქ გაზრდილია შედარებით დაბალი მნიშვნელობების ალბათობა. ასე მაგალითად, თუ ფოთში 40%-მდე შეფარდებითი სინოტივის შემთხვევაში არ აღემატება 5%-ს, აქ ასეთი შემთხვევები სამჯერ მეტია, -15,6%. ყველაზე ალბათურია შეფარდებითი სინოტივე 90-100%-ის ფარგლებში (31,8%) და ამ დროს ჰაერის ტემპერატურა 0-დან 15<sup>0</sup>-მდე გრადაციებშია (50%-ზე მეტი). აქვე შეიძლება აღინიშნოს, რომ გამოთვლის სიზუსტე საკმაოდ მაღალია, საშუალო კვადრატული გადახრა არ აღემატება 0,3<sup>0</sup> ჰაერის ტემპერატურისათვის და 2-3%-ს შეფარდებითი სინოტივისათვის, რაც შეიძლება საკებით დამაკმაყოფილებლად ჩაითვალოს.

### თავი III. კლიმატური რესურსები 3.1. საკურორტო რესურსები

საქართველოს კურორტოლოგიის და ფიზიოთერაპიის სამეცნიერო-კვლევით ინსტიტუტში ჩატარებული საკურორტო-კლიმატური დარაიონების თანახმად სამეცნიერო-ზემო სვანე-თის რეგიონში გამოყოფილია ზღვისპირა ნოტიო საკურორტო ქვეზონა. დაბლობის ზომიერად ნოტიო საკურორტო ქვეზონა, დაბალი მთის ზომიერად ნოტიო საკურორტო ქვეზონა, საშუალო მთის საკურორტო ზონა და მაღალი მთის არასაკურორტო ზონა (ნახ. 3.1.1). ამ ზონების და ქვეზონების დეტალური კლიმატური დახმატური დახსახიათება და მათი სამკურნალო ფაქტორები განიხილეს ე. ელიზბარაშვილმა და ს. გონგაძემ (1980).



ნახ. 3.1.1. საკურორტო ზონები და ქვეზონები: 1-სანაპირო ნოტიო ქვეზონა; 2-დაბლობის ზომიერად ნოტიო ქვეზონა; 3-დაბალი მთის ზონა; 4-საშუალო მთის ზონა; 5-მაღალი მთის ზონა.

ზღვისპირა ნოტიო საკურორტო ქვეზონაში (ნახ.3.1.1.) განლაგებულია კურორტი ანაკლია. ქვეზონის კლიმატი ნოტიო-

სუბტროპიკულია, ხასიათდება ძალიან რბილი უთოვლო ზამთრით და ძალიან თბილი ზაფხულით. იანვრის საშუალო ტემპერატურა  $4-7^0$ -ია, ივლისის –  $21-24^0$ , ხოლო წლიური ტემპერატურა  $13-15^0$ -ია.

ჰაერის ტემპერატურის აბსოლუტური მინიმუმი შეადგენს მინუს  $10-15^0$ -ს, ხოლო ტემპერატურის აბსოლუტური მაქსიმუმია  $40-42^0$ .

ატმოსფერული ნალექების წლიური ჯამი  $1400-1500$  მმ-ია. ჭარბობს შემოდგომა-ზამთრის ნალექები, ყველაზე მშრალი სეზონი გაზაფხულია.

წლის განმავლობაში  $140-160$  ნალექიანი დღეა.

ძლიერ განვითარებულია ბრიზული ცირკულაცია, ხოლო შედარებით სუსტად-ფიონური ეფექტი.

წლის განმავლობაში დაიკირვება  $30-40$  დღე ელჭექით, ქარები და სეტყვა იშვიათი მოვლენაა.

ამინდის კომპლექსური კლასიფიკაციის თანახმად წლის განმავლობაში გაბატონებულია მზიანი, ზომიერად-ნოტიო და ნოტიო ამინდები. წლის ცივ პერიოდში მატულობს წვიმიანი ამინდების წილი.

ქვეზონის ძირითადი სამკურნალო ფაქტორებია ზღვა, ჰაერშია არსებული ზღვიური წარმოშობის ქიმიური მიკროელემენტები და მზის სხივების სიუხვე, რაც წარმატებით შეიძლება გამოყენებულ იქნას გულსისხლარღვთა სისტემით, სასუნთქიორგანოებით და ნერვული სისტემით დაავადებულთა სამკურნალოდ.

დაბლობის ზომიერად ნოტიო საკურორტო ზინაში განლაგებულია ბალნეოლოგიური კურორტები-მენჯი, ცაიში, სკური და ნოქალაქევი, სადაც უმთავრესად სუსტად მინერალიზებული ცივი და თბილი აზოტური სამკურნალო მინერალური წყლებია, თუმცა ქვეზონას კლიმატოთერაპიული მნიშვნელობაც აქვს (ე. ელიზბარაშვილი, ნ.გონგლაძე, 1980).

ქვეზონას გააჩნია სუბტროპიკული პავის თვისებები, ხასიათდება ძალიან რბილი, უთოვლო ზამთრით და ძალიან თბილი, ნოტიო ზაფხულით. იანვრის საშუალო ტემპერატურა  $4-6^0$ , ივლისის  $21-24^0$ , ხოლო საშუალო წლიური ტემპერატურა  $12-14^0$ -ია. ჰაერის ტემპერატურის აბსოლუტური მინიმუმი ცალკეულ წლებში მინუს  $20-25^0$ -ია, ხოლო აბსოლუტური მაქსიმუმი  $40-42^0$ .

ქვეზონის ფარგლებში ატმოსფერული ნალექების წლიურ ჯამი შეადგენს 1400-2000 მმ-ს. წელიწადის განმავლობაში 180-200 ნალექიანი დღეა.

ქვეზონის სიდრმეში ვრცელდება ბრიზები, ქრის ფიონური ქარები, წლის განმავლობაში 20-40 დღეა ნალექიანი, სეტყვა იშვიათი მოვლენაა.

წლის განმავლობაში გაბატონებულია მზიანი, ზომიერად ნოტიო ამინდები. წლის ცივი პერიოდის განმავლობაში ხშირია წვიმიანი ამინდები.

დაბალი მთის საკურორტო ზონას მცირე ტერიტორია უკავია და მისი საკურორტო რესურსებიც უმნიშვნელოა.

**საშუალო მთის საკურორტო ზონას** მიეკუთვნება კლიმატური კურორტი ლებარდე. საკურორტო ზონა ხასიათდება ზომიერად რბილი ზამთრით და მდგრადი თოვლის საფარით. ზაფხული ზომიერად გრილი და ზომიერად მშრალია. იანვრის საშუალო ტემპერატურა მინუს 3-10<sup>0</sup>-ია, ივლისის –10-15<sup>0</sup>, ხოლო საშუალო წლიური ტემპერატურა 0-5<sup>0</sup>-ია. ტემპერატურის აბსოლუტური მინიმუმი ზონის ფარგლებში მერყეობს მინუს 25-35<sup>0</sup> დღიაბაზონში, ხოლო აბსოლუტური მაქსიმუმი შეადგენს 32-37<sup>0</sup> ს.

ნალექების წლიური ჯამი ზონის ფარგლებში აღწევს 2200 მმ-მდე. შემოდგომა-ზამთრის ნალექები ჭარბობს გაზაფხული-ზაფხულის ნალექებს. წლის განმავლობაში 200-მდე ნალექიანი დღეა.

ამინდის კომპლექსური კლასიფიკაციის თანახმად წლის თბილი პერიოდის განმავლობაში ჭარბობს მზიანი, ზომიერად ნოტიო და წვიმიანი ამინდები. წლის ცივ პერიოდში ყველაზე ხშირი სუსტი ყინვიანი ამინდებია.

საკურორტო ზონის პავა წარმატებით გამოიყენება სასუნთქი ორგანოების დაავადებათა სამკურნალოდ.

რეგიონის კურორტების ძრითადი კლიმატური მაჩვენებლები წარმოდგენილია ცხრილში 3.1.1.

სამეცნიერო სამსახურის მიერ გამოიყენება სასუნთქი ორგანოების დაავადებათა სამკურნალოდ.

**ცხრილი 3.1.1. სამეგრელო-ზემო სვანეთის რეგიონის კურორტების  
კლიმატური მახასიათებლები**

კურორტი	მდ. მდ.	პარის ტემპერა- ტურა			ტემპ. სიცოცი- ები %	ატმოსფერული ნალექები მმ.			ტემპ. გ/წ
		I	II	VIII		იანვ.	ივნ.	ივნ.	
ანაკლია	3	5,4	22,8	14,0	80	1537	905	632	2,2
მენჯი	150	5,2	23,2	14,5	74	1830	1000	830	2,7
ცაიში	150	4,9	22,6	13,8	76	1723	1012	711	1,3
სკური	480	4,6	21,5	13,3	74	1958	1158	800	2,4
ნოქალაქევი	150	4,9	22,6	14,0	73	1590	898	692	1,8
ლებარდე	1600	-4,0	15,0	5,8	75	2042	1172	870	1,0

### **3.2. აგროკლიმატური რესურსები**

სასოფლო-სამეურნეო კულტურების მაღალი პროდუქტიულობა ძირითადად დამოკიდებულია ადგილის აგროკლიმატურ რესურსებზე (სიობო, სინაოლე, ატმოსფერული ნალექები და სხვა). ამიტომ ვერმერები და გლეხური მეურნეობები მაქსიმალურად უნდა იყენებდნენ აღნიშნულ ფაქტორებს.

სამეგრელოს და ზემო სვანეთის მხარეში ოროგრაფიული და სხვა პირობების გამო აგროკლიმატური რესურსები განსხვავებულია. სამეგრელოს ტერიტორია შავი ზღვის სიახლოვის გამო ტენიან სუბტროპიკულ ზონაშია მოქცეული, ხოლო ზემო სვანეთის მხარე კონტინენტურ პირობებშია. გამომდინარე აქედან, საჭიროა გამოყოფ შესაბამისი აგროკლიმატური ზონები და საფუძვლად დავუდოთ სოფლის მეურნეობის სხვადასხვა დარგების – მემარცვლეობა, მეციტრუსეობა, მევენახეობა, მეხილეობა, მებოსტნეობა, მეცხოველეობა და სხვა განვითარებას.

სამეგრელოსა და ზემო სვანეთის მხარეში არსებული აგროკლიმატური რესურსების გათვალისწინებით შესაძლებელია აღნიშნული დარგების წარმატებით განვითარება. ამასთან დაკავშირებით მოგვავს ცხრილი 3.2.1 (სამეგრელო, 1999).

ცხრილი 3.2.1. აგროკლიმატური მაჩვენებლები

სადგური/საგუშაგო	ზოგიერთი ანაგლი	საკლიმატო ანაგლი	სეზონი	გამჭვიერებული ხელი	სამკლარენტი	მაჩვენებლები
სიმაღლე	117	3	28	149	40	222
ტემპერატურა გრადუსები	სამუშალო მრავალწლიური	13.8	14	14.8	14.3	14.5
	თბილი თვის	22.7	22.9	23.2	23.2	21.8
	ცივი თვის	4.9	5.4	6.7	5.4	4.6
წლის აბსოლუტური მინიმუმების საშუალო	-8	-6	-5	-6	-6	-7
აბსოლუტური მინიმუმი	-20	-17	-17	-17	-17	-18
ტემპერატურა 10 - ის გეგმით	დასაწყისი	I.IV	31.IV	24.III	23.III	25.III
	დასასრული	18.XI	25.XI	2.XII	28.XI	29.XI
	ტემპერატურა თა ჯამი	4159	4254	4565	4476	4520
ტემპერატური კერძოდი	დასაწყისი	23.III	19.III	15.III	12.III	11.III
	დასასრული	29.XI	8.XII	16.XII	27.XII	25.XII
ნალექები, წლები	წელიწადი	1815	1459	1730	1540	1669
	VI-VIII-ზი	447	403	479	426	424
						506

ცხრილი 32.1. გაგრძელება

სადგური/საგუშაგო	სიმაღლე	ოფენსი	ცხვარადყ	ინტენსი	იარენდა	იარენდა
საშუალო მრავალწლიური	268	180	172	132	170	345
თბილი თვის	13.7	13.4	14.1	13.9	13.8	12.8
ციფრი თვის	22.2	23	22.7	22.7	22.5	21.7
ციფრი თვის	4.3	3.8	5.5	4.9	4.9	3.6
აბსოლუტური მინიმუმების საშუალო	-7	-	-6	-7	-10	-9
აბსოლუტური მინიმუმი	-21	-	-18	-18	-18	-20
დასაწყისი	29.III	30.III	31.III	4.IV	31.III	6.IV
დასასრული	23.XI	15.XI	26.XI	24.XI	23.XI	15.XI
ტემპერატურა თა ჯამი	4218	4138	4290	4210	4210	3870
დასაწყისი	24.III	23.III	19.III	18.III	28.III	28.III
დასასრული	12.XII	29.XI	19.XII	6.XII	11.XII	26.XI
მელიწადში	2158	1921	1719	1700	1879	2077
VI-VIII-ში	681	529	476	473	477	528

ცხრილი 32.1. გაგრძელება

სადგური/საგუშაგო	აპარატი	ტექნიკა	გვთის პარტია	ნარაზები	მუქინება
სიმაღლე	28	10	1	154	260
ტექნიკური გრადუსები	საშუალო მრავალწლიური	14	14	14.1	13.7
	თბილი თვის	23.1	22.9	23.2	22.3
	ცივი თვის	4.9	4.6	5.2	5
წლის აბსოლუტური მინიმუმების საშუალო	-7	-6	-5	-7	-7
აბსოლუტური მინიმუმი	-19	-18	-	-18	-18
ტექნიკური გრადუსი 10 -ის ტეცო	დასაწყისი	28.III	28.III	29.III	29.III
	დასასრული	20.XI	24.XI	27.XI	27.XI
	ტემპერატურათა ჯამი	4310	4320	4345	4210
უცინებო, ტერიტორიი	დასაწყისი	17.III	18.III	11.III	20.III
	დასასრული	13.XII	8.XII	17.XII	13.XII
ნალექები, ტენი	წელიწადში	1446	1675	1768	1616
	VI-VIII-ქი	299	426	518	448
					670

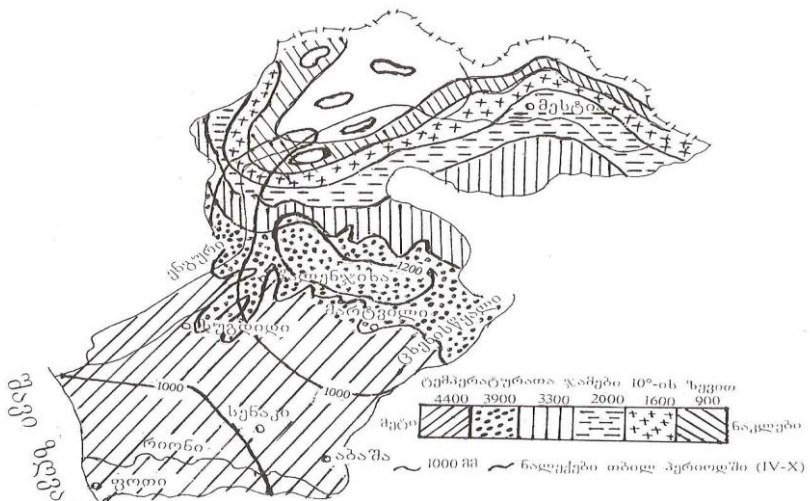
ცხრილი 3.2.1. გაგრძელება

სადგური/საგუშაგო	ჩრდილო	აღმოჩენა	აუგვის	ოქტომბერი
სიმაღლე	1610	1441	1270	730
აუგვის განვითარებულ მინიმუმების საშუალო	საშუალო მრავალწლიური	5.8	5.7	6.5
	თბილი თვის	15.4	16.4	17.2
	ცივი თვის	-4.7	-6	-4.7
წლის აბსოლუტური მინიმუმების საშუალო	-16	-23	-23	-11
აბსოლუტური მინიმუმი	-29	-35	-33	-22
აუგვის განვითარებულ მინიმუმების საშუალო	დასაწყისი	22.V	8.V	5.V
	დასასრული	30.IX	28.IX	30.IX
	ტემპერატურათა ჯამი	1776	2039	2170
აუგვის განვითარებულ მინიმუმების საშუალო	დასაწყისი	11.V	3.V	27.IV
	დასასრული	17.X	2.X	7.X
აუგვის განვითარებულ მინიმუმების საშუალო	წელიწადი	1924	918	988
	VI-VIII-ში	447	234	235
				288

ცხრილში მოტანილი მონაცემები საშუალებას იძლევა ზუსტად შევაფასოდ სასოფლო-სამეურნეო კულტურებისათვის საჭირო გარემო პირობები და სწორი მიმართულებით დავგეხმოთ სოფლის მეურნეობის დარგების განვითარება, შევიმუშაოთ მოცემული კულტურების მოვლა-მოყვანის მცნიერულად დასაბუთებული დონისძიებები. ცხრილში მითითებული მონაცემები

სრულად ასახავს სასოფლო-სამეურნეო კულტურების ზრდა-განვითარების საჭირო პირობებს. ფერმერებს და გლეხური მეურნეობების მუშაკებს აღნიშნული მონაცემების გამოყენება დახმარებას გაუწევს სასოფლო-სამეურნეო კულტურების პრო-დუქტიულობის გაზრდაში.

სამეგრელოსა და ზემო სვანეთის მხარეში სასოფლო-სამეურნეო კულტურების მეცნიერულად დასაბუთებული, ნორმა-ლური ზრდა-განვითარების და მათი სწორად განლაგებისათვის წარმოდგენილია აგროკლიმატური ზონების რუკა (ნახ.3.2.1).



ნახ.3.2.1. სამეგრელოს და ზემო სვანეთის აგროკლიმატური რესურსების რუკა

რუკაზე გამოყოფილია 6 ზონა, ზღვის დონიდან სიმაღლეების მიხედვით.

I - აგროკლიმატური ზონა მოიცავს შავი ზღვის სანაპიროს გასწვრივ ძღვის დონიდან 200 მ-ის სიმაღლემდე. ამ ზონაში შედის ზუგდიდის, სენაკის, ხობის, აბაშის, წალენჯიხის, ჩხოროწყუს და მარტვილის რაიონების ტერიტორიები. ზონაში აქტიურ ტემპერატურათა ჯამი შეადგენს 4500-4200°, ხოლო ატმოსფერული ნალექების საშუალო მრავალწლიური ჯამი 1300-1900 მმ-ია, თბილ პერიოდში (IV-X)

770-1150 მმ. აღნიშნული ფაქტორები მოცემულ ზონაში სრულად უზრუნველყოფს ჩაის, ციტრუსების, ზოგიერთი ვაზის ჯიშის, ხეხილის, ტექნიკური (დაფინის, კივის, ტუნგის, თხილის და სხვა), ერთწლიანი მარცვლეული და ბოსტნეული კულტურების წარმოებას. მოცემულ ზონაში იზღუდება, მხოლოდ ფორთოხლის კულტურის წარმოება, სავეგეტაციო პერიოდში სითბოს ნაკლებობის გამო (200 მ სიმაღლესთან ახლოს).

II - ზონა ვრცელდება დასავლეთიდან აღმოსავლეთით 200 მეტრიდან 500 მეტრამდე და უკავია ზუგდიდის, წალენჯიხის, ჩხოროწყუს, და მარგილის რაიონებში შემავალი ტერიტორიები. მოცემულ ზონაში აქტიურ ტემპერატურათა ჯამი  $4200^{\circ}$ -დან მცირდება  $3700^{\circ}$ -მდე. ატმოსფერული ნალექების წლიური ჯამი I ზონასთან შედარებით მეტია და აღწევს  $1700-2350$  მმ, თბილ პერიოდში 780-1950 მმ. ეს მაჩვენებლები ძირითადად აკმაყოფილებს ჩაის, მანდარინის (თბილ ფერდობებზე), ლიმონის (წაყინვებისგან დაცვით), ხეხილის, კივის (აქტინიდია), თხილის და ერთწლიანი მარცვლეული კულტურების წარმოებას.

III - ზონა ზღვის დონიდან 500-1000 მ სიმაღლეზე ვრცელდება. აქ აქტიურ ტემპერატურათა ჯამი  $3700-2900^{\circ}$ , ატმოსფერული ნალექების წლიური რაოდენობა 1000-1440 მმ, ხოლო თბილ პერიოდში 580-710 მმ. ამ ზონაში შეიძლება ვაზის (საადრეო და საშუალოდ მწიფადი ჯიშები), ჩაის (ზღ. დონიდან 650 მ-მდე), ხილ-კენკროვანების, თხილის, მარცვლეული და ბოსტნეული კულტურების წარმოება.

IV - ზონა ვრცელდება ზღვის დონიდან 1000-1500 მ სიმაღლემდე. მოცემულ ზონაში აქტიურ ტემპერატურათა ჯამი შეადგენს  $2900-2000^{\circ}$ . ატმოსფერული ნალექების წლიური ჯამი შეადგენს 915-1200 მმ, ხოლო თბილ პერიოდში 570-590 მმ. წინა ზონებთან შედარებით აქ აქტიურ ტემპერატურათა ჯამი ნაკლებია, ამიტომ სითბოს მოყვარული კულტურების წარმოება ამ ზონაში რამდენადმე შეზღუდულია. გამომდინარე აქედან, შეიძლება ვაწარმოოთ, მხოლოდ მარცვლეული (ხორბალი, ქერი, შვრია, ჭვავი, საადრეო სიმინდი), ბოსტნეული, კარტოფილი, თხილი, ხილ-კენკროვანი კულტურები.

V – ზონა ვრცელდება ზღვის დონიდან 1500-2000 მ სიმაღლემდე. მოცემულ ზონაში აქტიურ ტემპერატურათა ჯამი მცირება (ზემოგანხილულ ზონებთან შედარებით). იგი შეადგენს 2000-1200°, ატმოსფერული ნალექების წლიური ჯამი 980-1920 მმ, თბილ პერიოდში 610-1130 მმ. მოცემული ზონის პირობებში შეიძლება ვაწარმოოთ, მხოლოდ ხორბალი, ქერი, შვრია, კარტოფილი, ბოსტნეული და კენკროვანი კულტურები, აგრეთვე მეცხოველეობისათვის საჭირო საკვები ძირხენები.

VI – ზონა ზღვის დონიდან უკიდურესად მაღლაა გავრცელებული (2000-2500 მ) და აქტიურ ტემპერატურათა ჯამი აშეკარად მცირება - 1200°-დან 600°-მდეა. ნალექების წლიური საშუალო რაოდენობა 1040-1280 მმ შეადგენს, ხოლო თბილ პერიოდში 650-790 მმ. მოცემული ზონა მთლიანად ალპურ პირობებშია, ამიტომ ამ ზონის ტერიტორიები შეიძლება გამოყენებული იქნას ქერის, კარტოფილის და ბოსტნეული კულტურების წარმოებისათვის (უცხო სუნელი, სუფრის ჭარხალი, კვლიავი) და ზოგიერათი მეცხოველეობის საკვები ძირხენებისათვის, აგრეთვე საზაფხულო საძოვრებად და სათიბებად.

განხილული ზონებიდან მეოთხე (ნაწილობრივ), მეხუთე და მეექვესე ზონები ძირითადად მოიცავს ზემო სვანეთის ტერიტორიას. თვითეულ ზონაში ტემპერატურის, როგორც ძირითადი ფაქტორის ნათლად წარმოდგენისათვის, შევადგინეთ 10°-ის ზევით ტემპერატურათა ჯამებით უზრუნველყოფა (ცხრილი 3.2.2).

### ცხრილი 3.2.2. 10°-ის ზევით ჰაერის ტემპერატურის ჯამებით უზრუნველყოფა

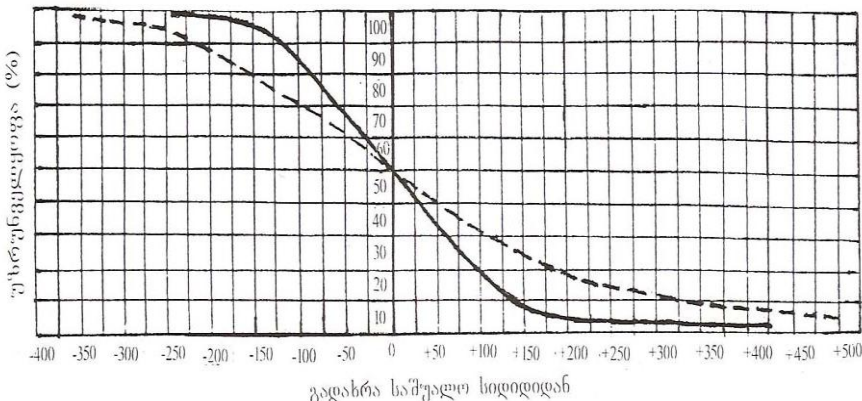
ზონა	I	II	III	IV	V	VI	
უზრუნველყოფა (%)	10	4700	4320	3660	2920	1970	1270
20	4650	4160	3520	2770	1810	1120	
30	4480	4090	3440	2680	1740	1030	
40	4410	4020	3370	2620	1670	970	
50	4350	3950	3300	2550	1600	900	
60	4280	3900	3240	2470	1530	840	
70	4220	3830	3180	2420	1470	770	
80	4140	3740	3090	2340	1380	690	
90	4030	3650	2980	2250	1300	610	
95	3970	3580	2920	2180	1220	540	

ცხრილიდან ჩანს, რომ პირველ და მეორე ზონაში ტემპერატურათა მაჩვენებლები მაღალია. გამომდინარე აქედან ეს ზონები უფრო ხელსაყრელია სოფლის მეურნეობის მრავალი დარგის ინტენსიურად განვითარებისათვის (ჩაის, ვაზის, ციტრუსების, ხეხილოვანი, ეთერზეთოვანი ტექნიკური და სხვა). დანარჩენ ზონებში შედარებით ნაკლებია ტემპერატურათა ჯამები, მაგრამ არის სოფლის მეურნეობის დარგები, რომლებიც საქმარდ წარმატებით შეიძლება განვითარდეს ამ ზონებში არსებული ტემპერატურების პირობებში.

აგროკლიმატური რესურსებიდან სამეგრელოსა და ზემო სვანეთის ტერიტორიებზე სავეგეტაციო პერიოდში სასოფლო-სამეურნეო კულტურებისათვის ატმოსფერული ნალექებით უზრუნველყოფის პირობები განსხვავებულია, რაც ნათლად ჩანს გამოყოფილ ზონებშიც. მოცემულ მესამე და მეოთხე ზონაში სავეგეტაციო პერიოდში ატმოსფერული ნალექები საშუალოდ არ აღემატება 600-650 მმ. რაც ზოგჯერ მთელ სავეგეტაციო პერიოდში ვერ უზრუნველყოფს ნიადაგს ტენის მარაგით. აღნიშნულის გამო, მრავალწლიანი და ერთწლიანი კულტურები ზოგჯერ საჭიროებენ აგროტექნიკური დონისძიებების ჩატარებას (მორწყვა, ნიადაგის გაფხვიერება და სხვა) მოსავლის შენარჩუნებისათვის. ამასთან დაკავშირებით წარმოდგენილია 700 მმ-ზე მეტი და ნაკლები ატმოსფერული ნალექების ჯამების უზრუნველყოფის ნომორამა (ნახ. 3.2.2), რომლის მიხედვით შეიძლება განისაზღვროს სამეგრელოსა და ზემო სვანეთის მხარის ნებისმიერი ზონისათვის ნალექების ჯამი. ამისათვის მოცემულ ზონაში უნდა ვიცოდეთ ატმოსფერული ნალექების მრავალწლიური საშუალო ჰაერის ტემპერატურა  $10^{\circ}$ -ის ზევით პერიოდში (I-ზონაში – 960 მმ, II – 1365 მმ, III – 645 მმ, IV – 580 მმ, V – 870 მმ, VI – 720 მმ) (გ. მელაძე, 1971). განხილულ ზონებში მრავალწლიური საშუალო ჰაერის ტენიანობა (74-75%) სასოფლო-სამეურნეო კულტურებისათვის სრულიად დამაკმაყოფილებელია.

უნდა აღვნიშნოთ, რომ პირველ სამ აგროკლიმატურ ზონაში ჰიდროთერმული კოეფიციენტის საშუალო მნიშვნელობაა 2.0 - 3.4 ვეგეტაციის განმავლობაში, რაც ხელსაყრელია აღნიშნულ ზონებში მოცემული კულტურების წარმოებისათვის. ცალკეულ წლებში, ხშირი და ძლიერი ფიონური ქარების შემთხვევაში ეს მაჩვენებლები შეიძლება არ იყოს საკმარისი, ამი-

ტომ საჭირო იქნება ნიადაგის ტენით უზრუნველყოფა. რაც შე-  
ეხება მეოთხე, მეხუთე და მეექვსე ზონებს მოცემული ფაქტ-  
ორით (პოკ) სრულიად უზრუნველყოფილია, უმეტესად ჭარ-  
ბიცაა. ამ ზონებში ოპტიმალური პირობებია კარტოფილის და  
ბოსტნეული კულტურების ფართოდ განვითარებისათვის.



ნახ. 3.2.2. ნალექების უზრუნველყოფის მრუდი  $10^0$ -ზე ზევით  
ტემპერატურის პერიოდში -----ნალექების ჯამი  $\geq 700$  მმ  
——— ნალექების ჯამი  $\leq 700$  მმ

საყურადღებოა, რომ პირველი, მეორე და მესამე ზონებში  
ციტრუსოვანი კულტურების წარმოება, გარდა სითბოთი უზ-  
რუნველყოფისა დიდად არის დამოკიდებული ზამთრის მი-  
ნიმალურ ტემპერატურებზე. მოცემულ ზონებში ჰაერის აბ-  
სოლუტური მინიმალური ტემპერატურის საშუალო მახასია-  
თებლები  $-5$ ,  $-10^{\circ}$ -ის ფარგლებშია, რაც კრიტიკულია მათი გამ-  
ოზამთრებისათვის. შედარებით უფრო ხელსაყრელი პირობებია  
ციტრუსების წარმოებისათვის პირველ ზონაში, თუმცა აქაც  
პერიოდულად ადგილი აქვს მათი ფესვის ყელამდე გაყინვას.  
ყინვებისაგან (ციტრუსოვანი კულტურების (ლიმონი, ფორთო-  
ხალი, მანდარინი) თვითეული სახეობის დაზიანების გათვა-  
ლისწინებით მიუთითებთ ზონებში მათი დაზიანების პროცენ-  
ტებს ყოველ ათ და მეტ წელიწადში.

პირველ ზონაში ზღვის სანაპირო ტერიტორიაზე 30-100 მმ  
სიმაღლემდე, საშუალო აბსოლუტური მინიმალური ტემპერა-

ტურა აღინიშნება  $-5^{\circ}$ -მდე. ეს ტემპერატურა არ არის კრიტიკული (დამდუპველი), ამიტომ შეიძლება გაფართოვდეს ციტრუსების არეალი შემაღლებულ ფერდობებზე, გორაკებზე, დაბლობების და ქვაბურის გამოკლებით. ასეთ ადგილებზე  $-8^{\circ}$  ყინვების ალბათობა, რომელიც იწვევს მხოლოდ ლიმონის კულტურის სრულ გაყინვას 10-15%-ია. რაც ნიშნავს, რომ ლიმონის გაყინვა მთლიანად შესაძლებელია ყოველ ათ და მეტ წელიწადში 1-2-ჯერ.

მეორე ზონაში, სადაც საშუალო აბსოლუტური მინიმალური ტემპერატურა აღინიშნება  $-6^{\circ}$ -მდე, ზღვის დონეზე 150-200 მეტრამდე, საშუალებას იძლევა მოცემულ ზონაში გამოვყოთ სელსაყრელი ადგილები ყინვებისაგან დაცვის გარეშე (ფოთის, ზუგდიდის, ჩხოროწყვეს რ-ში) ფორთოხლისა და მანდარინის წარმოებისათვის, სადაც ყინვების ალბათობა  $-9$ ,  $-10^{\circ}$  აღინიშნება 10%. ე.ი. ფორთოხლი გაიყინება მთლიანად ყოველ ათ და მეტ წელიწადში ერთჯერ, ხოლო მანდარინი ოცი და მეტ წელიწადში 1-2-ჯერ.

მესამე ზონაში გათვალისწინებულია, მხოლოდ მანდარინის კულტურის გავრცელება, იქ სადაც საშუალო აბსოლუტური მინიმალური ტემპერატურა აღინიშნება  $-8^{\circ}$ . ამ ზონაში მანდარინის გავრცელების არეალი მოიცავს ზღვის სანაპიროს და მთისწინეთის ნაწილ ტერიტორიებს ზღვის დონიდან 200-250 მ სიმაღლემდე, ხოლო ალაგ-ალაგ 300 მეტრამდე.  $-11$ ,  $-12^{\circ}$  ყინვების ალბათობა, რომელსაც შეუძლია გამოიწვიოს მანდარინის კულტურის სრული გაყინვა, აღნიშნული ტერიტორიების სიმაღლეებზე დაიკვირვება 10-20%-ით. ე.ი. მანდარინი გაიყინება ფესვის ყელამდე ყოველ ათ და მეტ წელიწადში 1-2-ჯერ. ამიტომ ცალკეულ წლებში ტემპერატურის შემცირებისას კრიტიკულ მინიმუმამდე, საჭირო იქნება ყინვებისაგან დაცვის მეთოდების გამოყენება (მიწის შემოყრა მცენარის შეგამბთან 30-35 სმ-მდე, განსაკუთრებით ახალგაზრდა მცენარეებზე, სამფენოვანი დოლბანდით ან მისი შემცვლელი უქსოვადი მასალით შეფუთვა, თხევადი საწვავები, საქარე დანაღვარები, წყლის შეფრქვევა და სხვა). ცხადია, აღნიშნულ მეთოდებს აქვს დადებითი და ნაკლოვანი მხარეები. ამიტომ ისინი ოროგრაფიული და ადგილმდებარეობის პირობების გათვალისწინებით უნდა იქნას გამოყენებული.

პირველ, მეორე და ნაწილობრივ მესამე ზონებში ხელსა-ურელი აგროკლიმატური პირობებია ჩაის კულტურის წარმა-ტებით განვითარებისათვის, რასაც დიდი ეკონომიკური მნიშვ-ნელობა აქვს.

უნდა აღინიშნოს, რომ მოცემულ ზონებში გაზაფხულის აგრომეტეორლოგიურ პირობებზე დამოკიდებული ჩაის დუქტ-ბის ზრდა ადრე იწყება და პირიქით. ამის გამო ჩაის ფოთლის პირველი კრეფის ვადები მნიშვნელოვნად ინაცვლებს. ამიტომ მეჩაიერის დარგის მუშაკებისათვის და ოპერატორული მომსა-ხურების ორგანიზაციებისათვის, ჩაის ფოთლის პირველი კრე-ფის თარიღის პროგნოზირებას პირველხარისოვანი მნიშვნე-ლობა აქვს. რადგან თუ სპეციალისტებს წინასწარ (50 და მეტი დღით ადრე) ეცვლინებათ ჩაის ფოთლის პირველი კრეფის საწყისი თარიღი, შეიძლება ორგანიზებულად და დროულად აიღონ ხარისხიანი ჩაის კულტურის პირველი მოსავალი.

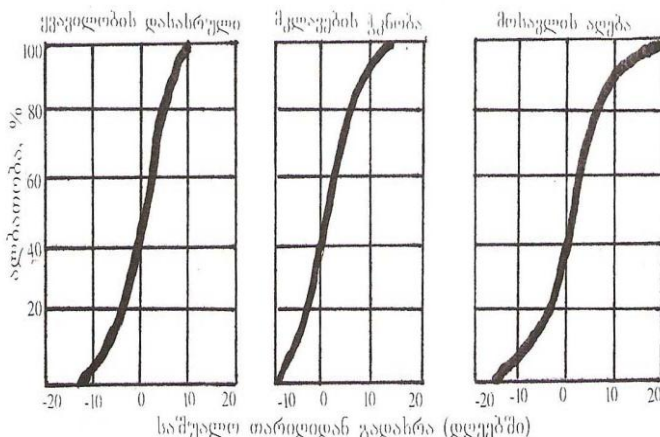
ჩვენს მიერ შედგენილი (გ.მელაძე, 1971) ჩაის ფოთლის პირველი კრეფის დაწყების თარიღის პროგნოზის მეთოდი წარმატებით გამოიყენება, როცა გასხლული ჩაის ბუჩქების ზედაპირზე პვირტები გაშლილია 10-20%-ის რაოდენობით.

მოცემულ ზონებში მეჩაიერის ზოგიერთი რაიონებისათ-ვის მოგვყავს სათანადო რეგრესიის განტოლებები:  $n=-0,5x+53$  ( $\text{ზუგდიდი}$ ),  $n=-0,50x+42$  ( $\text{ჩხოროწყუ}$ ),  $n=-0,48x+44$  ( $\text{სენაკი}$ ),  $n=-0,57x+54$  ( $\text{მარტვილი}$ ). განტოლებებში  $n$  – საპროგნოზო თარიღია (დღეთა რიცხვი ჩაის პვირტების გახსნიდან მისი ფოთლების პირველ კრეფამდე),  $x$  – დღეთა რიცხვი 1 მარტიდან ჩაის პვირტების გაშლის თარიღამდე (გ.მელაძე, 1991). პროგნოზის ცდომილება დასაშვებია  $\pm 6$  დღემდე.

მეტად საყურადღებოა მევენახეობის განვითარების პერს-პექტივა მეორე და მესამე აგროკლიმატურ ზონაში, რომელიც კრცელდება ძირითადად სამეცნიეროს ტერიტორიაზე ზღვის დონიდან 1000 მ-დე. შესაძლებელია, აგრეთვე ნაწილობრივ მეოთხე ზონაში ვაზის საადრეო ჯიშების გავრცელება 1200-1300 მ-დე (სამხრეთის ფერდობებზე).

ზემოხსენებულ აგროკლიმატურ ზონებში განხილულ სა-სოფლო-სამეურნეო კულტურებთან ერთად აღსანიშნავია კარ-ტოფილის კულტურა, რომელსაც ერთეული მნიშვნელოვანი ად-გილი უჭირავს მსოფლიოში. იგი ადამიანისათვის მეტად სა-სარგებლო სასურსაო, ტექნიკური და მეცხოველეობის საპ-

ვები კულტურაა. კარტოფილის ფართოდ გავრცელება შესაძლებელია სამეგრელოს და ზემო სვანეთის ტერიტორიებზე გამოყოფილ მეოთხე, მეხუთე და ნაწილობრივ მეექვსე აგროკლიმატურ ზონებში. ამ ზონების აგროკლიმატური რესურსებიდან გამომდინარე, შევადგინეთ კარტოფილის კულტურის ძირითადი ფაზების თარიღების დადგომის ალბათობის მრუდები (ნახ. 3.2.3), რომელიც შეიძლება გამოყენებული იქნას ამ კულტურის მიმართ სასოფლო-სამეურნეო სამუშაოების დროულად ჩატარებისათვის (მორწყვა, ნიადაგის გაფხვიერება, ნიადაგიდან ზრდადასრულებული ტუბერების ამოღება და სხვ) (გ.მელაძე, 1991).



ნახ. 3.2.3. კარტოფილის ფაზათა თარიღების დადგომის ალბათობის მრუდები

აღვნიშნავთ, რომ სამეგრელოს და ზემო სვანეთის აგროკლიმატური რესურსები ძირითადად ხასიათდება ხელსაყრელი პირობებით, რომლთა მაქსიმალურად და ეფექტურად გამოყენება ხელს შეუწყობს სოფლის მეურნეობის მუშაკებს და ფერმერებს ზემოგანხილული კულტურების წარმოების მაღალ პროდუქტიულობაში და მათ გავრცელებაში.

### 3.3. პელიოდენერგეტიკული რესურსები

სამეგრელო-ზემო სვანეთის ტერიტორიის პელიოდენერგეტიკული რესურსებით დარაიონებისას მისი დაბლობი ნაწილისათვის გამოყენებული იქნა სენაკის აქტინომეტრიული

სადგურის მრავალწლიური ინფორმაცია (1954-90წწ.) რადიაციული ბალანსის მოკლეტალლიანი მდგენელებისა (მზის პირდაპირი და ჯამური რადიაცია), მზის ნათების ხანგრძლივობისა და ჰაერის ტემპერატურის შესახებ. მთიანი ნაწილისათვის, სადაც არ არსებობს აქტინომეტრიული დაკვირვების მონაცემები მზის პირდაპირ და ჯამურ რადიაციაზე, ისინი გამოთვლილი იქნა ლიტერატურაში არსებული რადიაციული ბალანსისა და მისი მდგენელების კლიმატოლოგიური გამოთვლების მეთოდიკის გამოყენებით. მზის ნათების ხანგრძლივობის, ღრუბლიანობის და ჰაერის ტემპერატურის დასახსიათებლად გამოყენებული იქნა აქ არსებული მეტეოსადგურების მონაცემები. მზის ენერგიის კადასრტული მახასიათებლებიდან მნიშვნელოვანია მზის პირდაპირი და ჯამური რადიაციის ინტენსივობისა და ჯამების (საათური, ღღლედამური, თვიური, წლიური) მყისიერი და საშუალო სიდიდეების ცოდნა ჰორიზონტალურ და მზის სხივისადმი მართობულ ზედაპირზე მოწმენდილი ცისა და ღრუბლიანობის პირობებში. კადასტრული ინფორმაციის ანალიზის სტატისტიკური და ალბათური მეთოდების გამოყენებით რეგიონისათვის შეფასდა სხვადასხვა ტიპის ჰელიოდანადგარების ოპტიმალური ექპლუატაციის პირობები, მათი მუშაობის (მოცდენების) შესაძლო ჯამური ხანგრძლივობა. დადგინდა ჰელიორესურსების ტერიტორიული განაწილების კანონზომიერებები (გ. სვანიძე, გ. გაგუა, გ. სუხიშვილი. 1991; რ. სამუკაშვილი 1988).

სამეცნიერო-ზემო სვანეთის ტერიტორიაზე ჰელიორესურსების დონის მიხედვით გამოიყოფა 4 ზონა: პირველი ზონა მოიცავს კოლხეთის დაბლობის ნაწილს წინა და დაბალი მთის რაიონებს. ამ ზონაში ჯამური რადიაციის წლიური ჯამის სიდიდე ჰორიზონტალურ ზედაპირზე  $\sum Q$  მერყეობს 4500-4800  $\text{მჯ}/\text{მ}^2$ -ის, ჰორიზონტალურ ზედაპირზე მზის პირდაპირი რადიაციის ჯამი წლიურადის თბილი ჰელიოდისათვის  $\sum S' - 1650-1750 \text{ მჯ}/\text{მ}^2$ -ის, მზის ნათების ხანგრძლივობა ამავე ჰელიოდისათვის (V-IX)  $\sum SS - 1000-1100$  საათის, მოწმენდილ დღეთა რიცხვი წლიურადში 40-50-ის საზღვრებში.

პელიოდანადგარების მუშაობის ხანგრძლივობა მერყეობს წელიწადში 1700-1800, ზაფხულში (VI-VIII) 550-650 საათის საზღვრებში. ამ ზონაში არსებული პელიორესურსების პოტენციალი საშუალებას იძლევა ცალკეული შედარებით მცირე სიმძლავრის პელიორესისტემების გამოყენებისათვის.

მეორე ზონა მოიცავს კოლხეთის დაბლობის ზღვისპირა ზოლის ვიწრო ნაწილს, წინამთის ვიწრო ზოლს და საშუალო მთის რაიონებს. ამ ზონაში  $\sum_{\text{v}} Q$  მერყეობს 4800-5000 მჯ/მ<sup>2</sup>-ის,

$$\sum_{\text{v-IX}} S' - 1700-1800 \text{ მჯ/მ}^2\text{-ის}, \quad \sum_{\text{v-IX}} SS - 1100-1200 \text{ საათის, მოწმენ-}$$

დილ დღეთა რიცხვი წელიწადში 50-55-ის საზღვრებში. პელიოდანადგარების მუშაობის ხანგრძლივობა მერყეობს წელიწადში 1800-1900 ზაფხულში (VI-VIII) -650-700 საათის საზღვრებში. ამ ზონაში შეძლება წარმატებით იქნას გამოყენებული მცირე და საშუალო სიმძლავრის პელიოდანადგარები.

მესამე ზონა მოიცავს ზემო სვანეთის მაღალმთიან ნაწილს 3კმ-მდე სიმაღლეზე. ამ ზონაში  $\sum_{\text{v}} Q$  მერყეობს 4900-

$$5200 \text{ მჯ/მ}^2\text{-ის}, \quad \sum_{\text{v-IX}} S' - 1800-1900 \text{ მჯ/მ}^2\text{-ის}, \quad \sum_{\text{v-IX}} SS - 1200-1250$$

საათის, წელიწადში მოწმენდილ დღეთა რიცხვი 55-65-ის საზღვრებში. პელიოდანადგარების მუშაობის ხანგრძლივობა მერყეობს წელიწადში 1900-2000, ზაფხულში (VI-VIII) -700-720 საათის საზღვრებში. ეს ზონა უზრუნველყოფს ყველა სისტემის პელიოდანადგარის სტაბილური ექსპლოატაციის პირობებს.

მეოთხე ზონა მოიცავს ზემო სვანეთის მაღალმთიანი ტერიტორიის ( $H > 3\text{ km}$ ) ვიწრო ზოლს. ამ ზონაში  $\sum_{\text{v}} Q$

$$\text{მერყეობს } 5000-6000 \text{ მჯ/მ}^2\text{-ის}, \quad \sum_{\text{v-IX}} S' - 1900-2000 \text{ მჯ/მ}^2\text{-ის},$$

$$\sum_{\text{v-IX}} SS - 1250-1300 \text{ საათის, წელიწადში მოწმენდილ დღეთა}$$

რიცხვი 65-80-ის საზღვრებში. პელიოდანადგარების მუშაობის ხანგრძლივობა ამ ზონაში მერყეობს წელიწადში 2000-2200, ზაფხულში (VI-VIII) -720-750 საათის საზღვრებში. ზონის პელიორესურსების პოტენციალი უზრუნველყოფს ნებისმიერი

### 3.4. ქარის ენერგეტიკული რესურსები

ცნობილია, რომ ქარის ენერგია ერთერთი მძლავრი წყაროა, თუმცა ამ ენერგიის გამოყენება საწარმოო მიზნებისათვის დაკავშირებულია სპეციფიკურ სიძნელეებთან, რომელთაგანაც მთავარია მისი არამუდმივობა. მიუხედავად ამისა ქარის ენერგია დიდი ეკონომიური ეფექტით შეიძლება გამოყენებულ იქნას წარმოების იმ დარგებში, სადაც დასაშვებია სანმოკლე წყავრი ენერგიის მიწოდებაში.

ქარის დანადგარების წარმოების განსაზღვრისათვის და შესაბამისად მისი მშენებლობის მიზანშეწონილობისათვის, საშუალო თვიური და წლიური სიჩქარეების მონაცემების საფუძველზე დადგინდა, რომ კოლხეთის დაბლობის უმეტეს ნაწილზე (გ. სვანიძე, ვ. გაგუა, ე. სუხიშვილი), კერძოდ სამეგრელოში, შესაძლებელია ქარის ენერგეტიკული რესურსების ეფექტური გამოყენება იმ პუნქტებისათვის, სადაც ქარის წლიური საშუალო სიჩქარე მეტია 28/წმ-ში.

ქარის საშუალო წლიური სიჩქარე წარმოადგენს აუცილებელ, მაგრამ არასაკმარის ენერგეტიკულ მაჩვენებელს. სხვაგვარად რომ ვთქვათ ქარის საშუალო სიჩქარის დაბალი მაჩვენებლების დროს გარკვეულია მათი გამოყენების არარენტაბელობა, მაგრამ საშუალო სიჩქარის მაღალი მნიშვნელობა არ უზრუნველყოფს ქარის ენერგიის გამოყენების ეფექტურობას.

პრაქტიკული გამოყენების თვალსაზრისით გამოკვლეული უნდა იქნას აგრეთვე ქარის სიჩქარის სტრუქტურული ელემენტების განაწილება, როგორც დროში, ისე სივრცეში. ამ სტრუქტურულ ელემენტებს ეკუთვნის ქარის სამუშო და არა-აქტიური სიჩქარეების განმეორადობა და ხანგრძლივობა (არა-აქტიური სიჩქარეები, ისეთი სიჩქარეებია, რომლებიც პრაქტიკულად არ გამოიყენება; სამუშაო სიჩქარეები კი ისეთი სიჩქარეებია, როდესაც ქარის ძრავა მუშაობს).

ჩქარმავალი ქარის ძრავა მუშაობას იწყებს 4,5-5 მ/წმ სიჩქარის დროს, ხოლო ნელმავალი მრავალფრთიანი ქარის ძრავა – 3-3,5 მ/წმ სიჩქარის დროს, ამიტომ სამუშაო სიჩქარის ეკულა საზღვრად მიზანშეწონილია ავილოთ სიჩქარე 38/წმ. რადგან ქარის ძრავას მუდმივი სიჩქარე და სიმძლავრე

ფიქსირდება რეგულირების დაწყების შემდეგ კ.ო. 7,5 მ/წმ სიჩ-ქარის შემდეგ (ზოგიერთი ძრავისათვის 10 მ/წმ-ის შემ-დეგ), ქარის ძირითად დიაპაზონში კი 3-7 მ/წმ (3-9მ/წმ) ქარის ძრავა მუშაობს ცვალებადი ბრუნვით და იძლევა ცვალებად სიმძლავრეს.

რამდენადაც ზემო სვანეთში ქარის ენერგორესურსების გამოყენებისათვის არ არის შესაბამისი პირობები ქარის და-ბალი სიჩქარეების გამო, ამიტომ სამუშაო სიჩქარეთა განმე-ორადობა და ხანგრძლივობა გამოვლილი გვაქვს მხოლოდ სამეგრელოს ტერიტორიისათვის. (იხ. ცხრ. 3.4.1. და 3.4.2.).

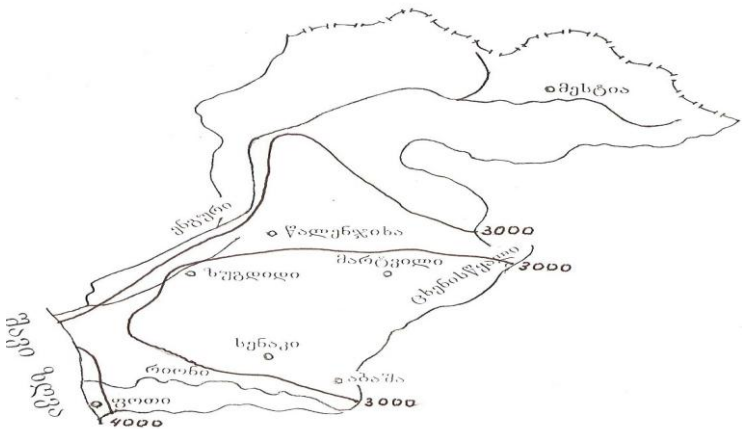
სამუშაო სიჩქარეთა წლიური ხანგრძლივობა სამეგრე-ლოს ტერიტორიაზე ცვალებადობს 2215-4280 საათის ფარგ-ლებში, რაც 25-40%-ს შეადგენს საათების წლიური რიცხვიდან (8780 საათი) ნახ. 3.4.1. მოცემულია სამუშაო სიჩქარეთა (38/წმ) სქემაზე რუკა, საიდანაც ჩანს, რომ სამეგრელოს ტერიტორიაზე სამუშაო სიჩქარეთა უდიდესი ხანგრძლივობა აღინიშნება შავი ზღვის სანაპიროს მონაკვეთზე ფოთიდან მისი სამხრეთით, სადაც იგი აჭარბებს 4000 საათს და ფოთში აღწევს 4200 საათს, რა თქმა

ცხრილი 3.4.1 ქარის სხვადასხვა სიჩქარეთა განმეორადობა (%)

სადგური	ქარის სიჩქარე (მ/წმ)				
	0-2	3	5	8	10
ფოთი	51	49	26	10	6
ჯვარი	60	40	29	21	17
მუხურა	57	43	10	0.5	0.3
წალენჯიხა	60	40	6	1	1
ხეთა	75	25	16	8	6
სენაკი	70	30	14	5	4

ცხრილი 3.4.2. ქარის სამუშაო სიჩქარეთა საერთო ხანგრძლივობა (საათი)

სადგური	ქარის სიჩქარე (მ/წმ)							
	3	4	5	6	7	8	9	10
ფოთი	4280	2944	2015	1423	947	785	538	512
ჯვარი	3489	3181	2518	2260	1998	1870	1518	1454
მუხურა	3722	979	889	165	143	23	19	11
წალენჯიხა	3149	691	512	182	159	106	91	81
ხეთა	2215	1650	1386	1089	992	720	638	514
სენაკი	2594	1411	1265	755	659	461	443	320



ნახ. 3.4.1. ქარის სამუშაო სიჩქარეთა(3მ/წმ მეტი) ჯამური ხანგრძლივობა წელიწადში. სო.

უნდა სიმაღლის ზრდასთან ერთად მცირდება მისი განმეორადობა და 5მ/წმ-ზე მეტი სიჩქარისათვის იგი დადის 2512- 2518 საათამდე (5-29%), თუმცა უნდა აღინიშნოს, რომ მაქსიმუმით ჯვარი გამოირჩევა, სადაც 10მ/წმ სიჩქარი ხანგრძლივობა აღწევს 1454 საათს (17%). დანარჩენ ტერიტორიაზე კი იგი არ აღემატება 514 საათს-ყველაზე მცირე ხანგრძლივობა აღინიშნება წალენჯიხაში, 1182 საათი და მუსურაში (165 საათი). სამუშაო სიჩქარეთა უწყვეტი ხანგრძლივობით კი გამოირჩევა ხეთა (252 საათი).

ცხრილი 3.4.3. სამუშაო სიჩქარეთა ( 3 მ/წმ) უდიდესი უწყვეტი ხანგრძლივობა (საათი) და მათი უზრუნველყოფა (%)

სადგური	ხანგრძლივობა	თვე	უზრუნველყოფა
ფოთი	216	I	0.5
ჯვარი	210	XII	0.6
მუსურა	168	XII	0.4
წალენჯიხა	108	III	0.4
ხეთა	252	XII	0.7
სენაკი	180	I	0.8

ცხრილში 3.4.4. წარმოდგენილია ქარის ენერგეტიკული დანადგარების მიერ გამომუშავებული ენერგია (კვტ.ს.) სხვადასხვა დიამეტრისა და მარგი ქმედების კოეფიციენტების დროს.

ცხრილი 3.4.4. გამომუშავებული ენერგია (კვტ.ს.)  $\xi=0,30$  და

$\xi=0,35$  მარგი ქმედების კოეფიციენტების დროს 10 და 18<sub>ე</sub> დიამეტრის მქონე ქარის ენერგეტიკული დანადგარებისათვის

სადგური	D=10 <sub>m</sub>		D=18 <sub>m</sub>	
	$\xi=0,30$	$\xi=0,35$	$\xi=0,30$	$\xi=0,35$
ფოთი	12632	14456	41440	48447
ჯვარი	26452	30527	85065	98047
მუხურა	2238	2608	5652	6515
წალენჯიხა	2307	2698	7494	9002
ხეთა	5360	6254	17370	22136
სენაკი	8240	9616	23843	31284

## თავი IV. ამინდის საშიში მოვლენები

### 4.1. წაყინვები

სოფლის მეურნეობის მემცენარეობის დარგის მეტეოროლოგიური მომსახურების მნიშვნელოვან ამოცანას წარმოადგენს გვიანი გაზაფხულის და ადრეული შემოდგომის წაყინვების გამომწვევი ფაქტორების კლიმატოლოგიური კვლევა, პროგნოზის მეთოდიკის დამუშავება და ზარალის შემცირების მეთოდების სრულყოფა. სამეცნიეროს დაბლობი რაიონების უმეტეს ნაწილში ამ საკითხის გადაწყვეტას შეუძლია აამაღლოს სუბტროპიკული და ტენიკური კულტურების მოსავლიანობა, ხოლო ექსტრემალურად ცივი ამინდის პირობებში საგრძნობლად შეამციროს ეკონომიკური ზარალი. ამასთან დაკავშირებით მნიშვნელოვანია საკვლევი ტერიტორიის შესწავლა მისი გეომორფოლოგიური, მოკროკლიმატური და ცირკულაციური პროცესების გათვალისწინებით. ეს ყველაფერი იძლევა სუბტროპიკული კულტურების განლაგების არეალის ოპტიმალურად შერჩევის შესაძლებლობას.

როგორც ცნობილია, წაყინვების ქვეშ იგულისხმება მინიმალური ტემპერატურის სანმოკლე დაწევა მეტეოროლოგიური ბუდრუგანის სიმაღლეზე (2მ). პაერში (ან ნიადაგის ზედაპირზე) ვეგეტაციის პერიოდში გვიან გაზაფხულზე ან ადრე შემოდგომაზე. ამ დროს საშუალო დღე-დამური ტემპერატურა დადგებითია, ხოლო მინიმალური ტემპერატურის სიდიდეებს შორის სხვაობა პაერში და ნიადაგის ზედაპირზე როგორც წესი აბსოლუტური სიდიდით არ აღემატება 1 ან 2<sup>0</sup>-ს.

წაყინვებზე დაკვირვების მრავალწლიური რიგების (35წელი) ანალიზის საფუძველზე, რომელიც სწარმოებდა საკვლევი რეგიონოს რიგ პუნქტებზე, დაგინდა წაყინვების დროში და სივრცეში განაწილების კანონზომიერებები, წაყინვების ინტენსივობა და მათი განმეორადობა გრადაციების მიხედვით. შერჩეული პუნქტები საქმარისი სიზუსტით ახასიათებენ საკვლევ რეგიონს. აღნინულ ტერიტორიაზე ადგილი აქვს აღვექციურ, რადიაციულ და აღვექციურ-რადიაციული ტიპის წაყინვებს. კრიტიკული ტემპერატურები (ჟარყოფითი ტემპერატურის მინიმალური მნიშვნელობა, რომლის დროსაც მცენარე საგრძნობლად ზიანდება ან იღუპება) განისაზღვრება მცენარისა თუ მისი ვეგეტაციის ფაზის მიხედვით. წაყინვების ინტენსივობის შესწავლის დროს ჩატარდა საკვლევი ტერიტორიის წაყინვებისა-

დმი მოწყვლადობის შეფასება. აღსანიშნავია, რომ კრიტიკული ტემპერატურის გავლენა მცენარეზე დამოკიდებულია არა მარტო ტემპერატურის სიდიდეზე, არამედ მცენარის სახეობაზე და მისი განვითარების ფაზაზე. მაგალითად, ლიმონის ხე მთლიანად იღუპება  $-9$  -  $-10^0$ -ზე, გვირგვინი  $-7$ - $-8^0$ -ზე ხოლო ფოთოლი  $-4$ - $-6^0$ -ზე. მანდარინის ხე, მისი გვირგვინი და ფოთოლი კი შესაბამისად  $-12$ ,  $-10$  და  $-6$ - $-8^0$ -ზე. ვაზის გაშლილი კვირტები და უვავილი იღუპება  $-10^0$ -ზე, მარწყვი და ქოლო  $-2^0$ -ზე და ა.შ.

სუბტროპიკული კულტურების და ბახეებულის დაზიანება და განადგურება აღინიშნება განსაკუთრებით იმ შემთხვევაში, როდესაც ცივი ჰაერის აღვეჭვიას თან ახლავს ნიადაგის ზედაპირის და მიწისპირა ჰაერის ფენის გადაცივება გრძელტალდიანი გამოსხივების შედეგად. ამრიგად, ასეთი ადგეჭვიურადიაციული ტიპის წაყინვები განსაკუთრებით საშიშია. რადიაციული ტიპის წაყინვების ინტენსივობა შეიძლება მნიშვნელოვნად იცვლებოდეს რელიეფის ხასიათის და ქვეფენილი ზედაპირის ფიზიკურ თვისებებზე დამოკიდებულებით, რაც კიდევ ერთხელ მიანიშნებს, რომ რადიაციული ტიპის წაყინვებს აქვთ შედარებით ლოკალური ხასიათი.

წაყინვების დასახასიათებლად მიღებულია რიგი პარამეტრები, მათ შორის უდიდესი, საშუალო და უმცირესი რაოდენობა წლების თუ თვეების მიხედვით, წაყინვების ხანგრძლივობა, ინტენსივობა და ა.შ.საკმაოდ მნიშვნელოვანია ე.წ. უყინვო პერიოდის ხანგრძლივობა, რომელიც ფართო დიაპაზონში იცვლება მეტეოროლოგიური სადგურების ადგილმდებარეობის თუ სხვა ფაქტორების გავლენით (შ. ბერლიანდი, პ. ქრასეკოვი, 1953; რ. სამუკაშვილი, 1990).

უყინვო პერიოდის საშუალო ხანგრძლივობა და მათი დადგომის თარიღი ფოთის და ზუგდიდის მეტეოროლოგიური სადგურების მონაცემებით მოცემულია ცხრილში 4.1.1. აქვთ მოცემული წაყინვების უდიდესი და უმცირესი ხანგრძლივობა და მათი დადგომის თარიღი რეგიონის კიდევ 4 მეტეოროლოგიური სადგურის მონაცემებით.

როგორც ცხრილიდან ჩანს, ფოთის და სენაკში წაყინვების საშუალო ხანგრძლივობა 235-288 დღეს შეადგენს. ადგილის სიმაღლის ზრდასთან ერთად ხანგრძლივობა მცირდება 250-260 დღემდე და მესტიაში არ არემატება 151 დღეს.

ცხრილი 4.1.1. წაყინვების დადგომის თარიღი და უყინვო  
პერიოდის ანგრძლივობა(დღე)

მეტეოსადგური	ფოთი	ზომიდიდი	სენაკი	წალენჯიხა	ჯგუპი	გებტია
სიმაღ. ზღ. დონიდ. (მ)	1	117	40	222	268	1441
უკანასკნელი	საშუალო	3/III	23/III	11/III	25/III	24/III
	ჟველაზ. ადრე	24/I	26/II			
	ჟველაზ. გვიან	1/IV	24/IV			
პირველი	საშუალო	14/XII	29/XI	25/XII	6/XII	12/XII
	ჟველაზ. ადრე	18/XI	17/X			
	ჟველაზ. გვიან	1/III	11/I			
საშუალო	285	250	288	255	262	151
უმცირესი	242	196				
უდიდესი	376	317				

კიდევ უფრო ფართო დიაპაზონში იცვლება უყინვო პერიოდის უდიდესი და უმცირესი ხანგრძლივობა, ფოთის და ზუგდიდის მონაცემებით 196-დან 376 დღემდე.

ასევე დიდ იტერესს წარმოადგენს თვეების მიხედვით წაყინვიან დღეთა ცვალებადობა, უმცირესი, საშუალო, უდიდესი ერთ წელიწადში თუ საერთო რაოდენობა დაკვირვების 35 წლიან პერიოდის განმავლობაში. სათანადო მონაცემები მოგვყავს ცხრილში 4.1.2.

როგორც ცხრილი 4.1.2.-დან ჩანს წაყინვების საერთო რაოდენობა (გ) უკელა სადგურისათვის უდიდესია მარტში და მერყეობს 52-დან (ფოთი) 149-მდე (ზუგდიდი). ოქტომბერში ეს

რიცხვი საგრძნობლად ეცემა და იცვლება 47 (ზუგდიდი)-დან 9-მდე (სენაკი) ფარგლებში. კიდევ უფრო მცირება წაყინვიან დღეთა რიცხვი აპრილში და ოქტომბერში.

ცხრილი 4.1.2. წაყინვიან დღეთა საერთო რიცხვი (გ), მათი საშუალო (б), აბსოლუტური მაქსიმუმი (ა) და მინიმუმი (ბ) თვეების მიხედვით

დაკვირვების პუნქტი	გ , ნ ა, ბ	თვე			
		III	IV	X	XI
ვოთი	გ	52	6	-	15
	б	2.2	0.2	-	0.5
	ა	8	3	-	6
	ბ	0	0	-	0
ზუგდიდი	გ	149	11	2	47
	б	4.3	0.3	0.1	1.3
	ა	11	3	1	5
	ბ	0	0	0	0
სენაკი	გ	61	1	-	9
	б	1.7	0	-	0.3
	ა	6	1	-	3
	ბ	0	0	-	0
მარტვილი	გ	142	4	3	43
	б	4.1	0.1	0.1	1.2
	ა	14	6	3	5
	ბ	0	0	0	0

ანალოგიურად იცვლება წაყინვიან დღეთა საშუალო რაოდენობა, ცხადია უფრო მცირე ინტერვალში.

წაყინვიან დღეთა მინიმალური რაოდენობა ყველგან ნულის ტოლია, გარდა აპრილისა მარტვილში, როდესაც 1 შემთხვევაა აღრიცხული.

ცალკე კვლევის საგანია წაყინვების ტიპები და მატი სან-გრძლივობა. თუ საკვლევ ტერიტორიაზე ადგილი აქვს ჰაერის ციფი მასების შემოჭრას, მაშინ დაიკვირვება ადგექციური ტიპის წაყინვები, შედარებით სანგრძლივი და დიდ ფართობზე.

რადიაციული ტიპის წაყინვები ნაკლებად ინტენსიურია, შედარებით ლოკალური, თუმცა უფრო ხშირი, საერთო შემთხვევათა 55-65%. ადგექციური ტიპის წაყინვების ალბათობა არ აღმატება 15-20%-ს.

სუბტროპიკული და ტექნიკური კულტურებისათვის დიდი მნიშვნელობა აქვს წაყინვების ინტენსივობას, იმის დადგენას თუ ტემპერატურის რა მინიმალური მნიშვნელობა შეიძლება დაფიქსირდეს წაყინვების უმეტეს შემთხვევაში. ეს მონაცემები ფოთისა და ზუგდიდის მეტეოროლოგიური სადგურების მაგალითზე მოგვავს ცხრილში 4.13.

ცხრილი 4.13. წყინვების ინტენსივობა (გრადუსი),  
შემთხვევათა რიცხვი

დაკვირვების პუნქტი	გრადაცია, გრადუსი	თვე			
		III	IV	X	XI
ფოთი	0.0 - (-0.9)	34	4	-	8
	-1.0 - (-1.9)	21	2	-	3
	-2.0 - (-2.9)	6	-	-	4
	-3.0 - (-3.9)	-	-	-	-
	-4.0 - (-4.9)	1	-	-	-
	ჯამი	62	6	-	15
ზუგდიდი	0.0 - (-0.9)	78	7	2	29
	-1.0 - (-1.9)	37	2	-	8
	-2.0 - (-2.9)	16	2	-	5
	-3.0 - (-3.9)	13	-	-	4
	-4.0 - (-4.9)	4	-	-	-
	-5.0 - (-5.9)	1	-	-	-
	ჯამი	149	11	2	47

როგორც წაყინვების ინტენსივობის გრადაციების ანალიზი გვიჩვენებს, სამეგრალოს დაბლობი ზონისათვის უფრო მოსალოდნელია მცირე ინტენსივობის წაყინვები. ასე მაგალითად ფოთში შემთხვევათა 34%-ში გრადაცია 0-დან  $-1^0$  ფარგლებშია. 21% შემთხვევაში გრადაცია  $-1$ -დან  $-2^0$ -მდე ინტერვალშია. მხოლოდ 1% შემთხვევაში ტემპერატურა დაეცა  $-5^0$ -მდე. ანალოგიური სურათია სხვა სადგურებზეც.

ამრიგად, შეძლება დავასკვნათ, რომ სამეგრელოს დაბლობი ზონისათვის წაყინვების ნახევარზე მეტი

ეპიზოდურია, მხოლოდ 1დღე და ტემპერატურა ამ დროს არ ეცემა-<sup>10</sup>-ზე დაბლა. ეს შედარებით გვიადვილებს სითბოსმოყვარული კულტურების წაყინვებისაგან დასაცავად ჩასატარებელი დონისმიერების დაგეგმვასა და განხორციელებას. კლიმატის გლობალური დათბობის ფონზე უახლოეს 30-50 წლის განმავლობაში აღნიშნულ ტერიტორიაზე წაყინვების რაოდენობისა და ინტენსივობის ზრდას არ უნდა ვეღოდოთ.

მიღებული შედეგები ახასიათებს ძირითადად სამეცნიერო დაბლობ რაიონებს, საშუალოდ 200-300 მეტრამდე ზღვის დონიდან. შავი ზღვის სიახლოებებს ტემპერატურის კონტრასტს და იწვევს წაყინვების რაოდენობისა თუ ინტენსივობის საგრძნობ შემცირებას. ზოგადათ სურათი მსგავსია შავი ზღვის სანაპიროზე აჭარასა და აფხაზეთში დაფიქსირებული წაყინვებისა, რომლებიც ჩვენ დეტალურად განვიხილავ სპეციალურ მონიტორინგის პავა. 1.აჭარა, კმი შრ., გ.110, 2003; საქართველოს პავა. 2.აფხაზეთი, კმი შრ., გ.112, 2006).

#### 4.2. ძლიერი ქარები

ძლიერად იწოდება ქარი, როდესაც მისი სიჩქარე წამში 15 მეტრს აღემატება. ასეთი ქარი საშიშ მეტეოროლოგიურ მოვლენად ითვლება და მას დიდი მატერიალური ზარალი მოაქვს, მწყობრიდან გამოჰყავს პიდროვებენიკური ნაგებობები, კაგშირგაბმულობისა და ელექტროგადამცემი ხაზები, აზიანებს შენობებს, აფერებს ტრანსპორტის მოძრაობას, დიდი ზიანი მოაქვს სოფლის მეურნეობისათვის.

ძლიერი ქარების საშუალო წლიური დღეთა რიცხვი ზემო სვანეთში არ აჭარბებს 4-ს, ხოლო მაქსიმალური დღეთა რიცხვი აღწევს 16-ს. სამეცნიეროს ტერიტორიაზე კი მათი საშუალო წლიური დღეთა რიცხვი აღწევს ფოთში-40-ს, წალენჯიხაში-49-ს, ხოლო ჯვარში-66-ს. ასეთი ქარების უდიდეს დღეთა რიცხვი შესაბამისად ტოლია 78, 77 და 108-ის. ძლიერი ქარები უფრო ხშირია წლის ციკ პერიოდში. მათი უწევები ხანგრძლივობა ამ პერიოდში საშუალოდ 7-8 საათს აღწევს, მაშინ როდესაც ზაფხულში ის 4სთ-ს არ აღემატება.

ძლიერი ქარების სიჩქარე ხშირად 15 მ/წმ-ს აღემატება (ცხრილი 4.2.1.)

ცხრილი 4.2.1. ქარის უდიდესი სიჩქარე. მ/წმ.  
(სამეგრელო, ზუგდიდი, 1999)

პუნქტი	კოგელ- წლიურად	მოსალოდნელი ერთხელ			
		მაინც წელიწადში	5	10	15
ლებარდე	15	19	21	21	22
მარტვილი	33	42	46	48	50
ჯვარი	27	31	32	33	34
წალენჯიხა	20	23	24	24	25
ზუგდიდი	21	24	25	26	27
სენაკი	30	38	41	43	44
ფოთი	27	33	35	36	38

მაგალიად, ცხრილიდან 4.2.1. გამომდინარეობს, რომ ლებარდეში, სადაც ქარის უდიდესი სიჩქარე ყოველწლიურად შეადგენს 15 მ/წმ, 5 წელიწადში ერთხელ აღინიშნება ქარი 19 მ/წმ სიძლიერით, 10 წელიწადში ერთხელ -21 მ/წმ სიჩქარით, ხოლო 20 წელიწადში ერთხელ -22 მ/წმ სიჩქარით. მარტვილში, სადაც ქარის უდიდესი სიჩქარე 33მ/წმ-ია, ყოველ 5 წელიწადში ერთხელ სიჩქარე აღწევს 42 მ/წმ-ს, 10 წელიწადში ერთხელ -46 მ/წმ-ს, 15 წელიწადში ერთხელ -48 მ/წმ-ს, ხოლო 20 წელიწადში ერთხელ -50 მ/წმ-ს, და ა. შ.

შტორმული ხასიათის ქარს კოლხეთის დაბლობზე აღგილი ჰქონდა 1969 წლის 4-7 იანვარს. არსებული მონაცემების თანახმად, ფოთში აღმოსავლეთის ქარის სიჩქარე 4 იანვარს გაიზარდა 16-დან 28 მ/წმ-მდე, 5 იანვარს დღე-დამის განმავლობაში ქარის სიჩქარე შეადგენდა 24-28 მ/წმ-ს. 6 იანვარს ქარის სიჩქარემ მიაღწია 34 მ/წმ-ს, ხოლო 7 იანვარს დაიკლო 16 მ/წმ-მდე. ამ მოვლენამ მნიშვნელოვანი მატერიალური ზარალი მიაყენა რეგიონის მოსახლეობას და ეკონომიკას.

სამეგრელოს ტერიტორიაზე, ისევე როგორც მთლიანად კოლხეთის ბარში, ძლიერი ქარები ძირითადად აღმოსავლეთის მხრიდან ჰქონიან, სხვა მიმართულების ძლიერი ქარები იშვიათია. აღმოსავლეთის ძლიერი ქარების განვითარების ძირითადი პირობებია აღმოსავლეთ ევროპის ვაკის ჩრდილო და ჩრდილო-აღმოსავლეთ რაიონებზე, ან დასავლეთ ციმბირზე აქტიურად მოქმედი ანტიციკლონალური წარმონაქმნი, რომელიც ვრცელდება აღმოსავლეთ ევროპის ვაკის სამხრეთ

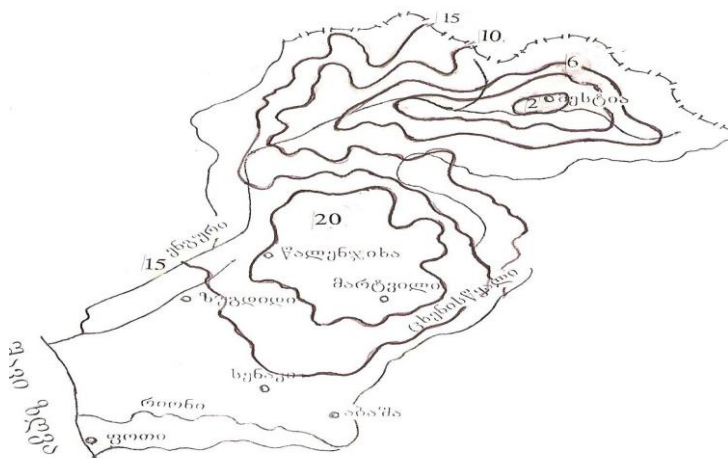
რაიონებზე, ხმელთაშუა და შავ ზღვაზე, კავკასიასა და მცირე აზიაში, აგრეთვე ფრონტალური გამყოფის არსებობა მითი-თებული მოქმედების ცენტრებით კავკასიის ზონაში.

აღნიშნულთან დაკავშირებით ჰიპოკრატე (460-377 წელს ძვ. წ. აღდ.) საგანგებოდ მიუთითებდა კოლხეთში „ძალიან ძლი-ერ, არასასიამოვნო და მცენვარე ქარებზე“, რასაც ის „აენ-კრონს“ უწოდებდა.

#### 4.3. უხვი ატმოსფერული ნალექები

საშიშ ჰიდრომეტეოროლოგიურ მოვლენებს მიეკუთვნება უხვი ნალექები, ანუ ნალექები, რომელთა რაოდენობა დღე-დამის განმავლობაში აღემატება 30 მმ-ს. ასეთი ნალექები მნიშვნელოვან ზარალს აყენებს მოსახლეობას და მუშაობას, ხოლო ზოგჯერ სტიქიურ უბედურებასაც იწვევს.

სამეგრელოს ტერიტორიაზე უხვი ნალექები ძალზე ხშირია და წალენჯისისა და მარტვილის რაიონებში წელიწა-დში აღემატება 20 დღეს. შავი ზღვის სანაპირო ზოლში, სენაკისა და აბაშის რაიონებში დღეთა რიცხვი უხვი ნალექებით 15-მდე კლებულობს, ზემო სვანეთში კი მინიმუმს აღწევს და მესტიის რაიონის გარკვეულ ტერიტორიაზე წელიწადში მხოლოდ 2 დღეა უხვი ნალექებით (ნახ. 4.3.1.).



ნახ. 4.3.1. უხვნალექებიან დღეთა რიცხვი წელიწადში

უხვნალექიან დღეთა წლიურ სვლაში მაქსიმუმი მოდის ზაფხულის დასასრულზე ან შემოდგომაზე. გამონაკლისია ლებარდე, სადაც მაქსიმუმი იანვრის თვეზე მოდის და შეადგენს 2 დღეს. ჯვარში ძირითადი მაქსიმუმი ზაფხულის დასაწყისს, ხოლო მეორე მაქსიმუმი შემოდგმის დადგომას შეესაბამება.

ასეთი წვიმების დროს ნალექების დღედამური მაქსიმუმი სამეგრელოში 100 მმ-ს აღემატება. მაგალითად, ქ. ფოთში 1931 წლის 15 იანვარს მოვიდა 268 მმ. ნალექი, რაც აღმოსავლეთ საქართველოს მშრალი რაიონების წლიურ ნორმას შეადგენს.

უხვი ნალექების დღედამურმა მაქსიმუმმა შესაძლოა ზღვისპირა ზოლში 100 წელიწადში ერთხელ 300 მმ-ს გადააჭარბოს, ხოლო მოებში 120-140 მმ-ს მიაღწიოს.

განსაკუთრებით უხვი ნალექების (როდესაც მათი დღედამური ჯამი აღემატება 70მმ-ს) ალბათობა ზღვისპირა ზოლში და მოებში 5%-ზე მეტია, ხოლო კატასტროფული ნალექების (100მმ-ზე მეტი) ალბათობა ყველა წვიმების დაახლოებით 3%-ს შეადგენს. (ქ. აღიბეგოვა, ე. ელიზბარაშვილი, 1980).

უხვ ნალექთან ხშირად არის დაკავშირებული თავსებმები, რომლებშიც უმთავრესად თხევადი ფაზა იგულისხმება. განასხვავებენ მსხვილწვეოვან თავსებმა ნალექებს, რომელთა ინტენსივობა 0,03-0,05 მმ-ია წუთში და საკუთრივ თავსებმა ნალექებს, რომელთა ინტენსივობა აღემატება 0,05 მმ წუთს. ასეთი ნალექების ალბათობა 26-29%-ს უდრის.

თავსებმა ნალექებს სხვადასხვა წვლილი შეაქვთ ნალექების საერთო ხანგრძლივობასა და რაოდენობაში. ნალექების საერთო ხანგრძლივობაში თავსენა ნალექების წილი მცირეა, რადგანაც ასეთი ნალექები, როგორც წესი, მაღვ მთავრდება. სამაგიეროდ ძალზე მნიშვნელოვანია მათი ხვედრითი წილი ნალექების საერთო რაოდენობაში. თავსებმა ნალექების ხვედრითი წილი ნალექების ხანგრძლივობაში 16%-ს არ აღემატება, მაშინ როდესაც წილი ნალექების საეთო რაოდენობაში 64%-ს აღწევს (ცხრილი 4.3.1.).

თუ თავსებმა ნალექების მაქსიმალური ინტენსივობა 5-6 წუთი გაგრძელდა, მან შეძლება კატასტროფული შედეგები გამოიწვიოს. ის წყალდიდობების ძირითადი მიზეზია, რომლებიც ხშირად კატასტროფულ ხასიათს ატარებენ. ერთ-ერთი ასეთი წყალდიდობა თავისი გამორჩეული სიძლიერით აღინიშნა 1987

წლის 31 იანვარს მდინარე რიონზე. ამ წყალდიდობის დროს მდინარე რიონმა სოფელ საღვამიჩაოსთან გაარღვია დამბა და მდინარე ხობიდან მოვარდნილ ნიაღვართან ერთად 2-4 მ-ის სისქის წყლის ფენით დაფარა კოლხეთის დაბლობის დასავლეთი ნაწილი 200კგ. კმ. ფართობზე. წყალდიდობას კატასტროფული შდეგები მოჰყვა.

ცხრილი 4.3.1. სხვადასხვა ტიპის ნალექების ხვედრითი წილი ნალექების საერთო რაოდენობასა და ხანგრძლივობაში. %.

მაჩვენებელი	ნალექების ტიპი და ინტენსივობა მმ/წთ			
	მცველი მდგრადი <0,01	გარეული გადასახლებელი 0,01-0,02	განვითარებული გადასახლებელი 0,02-0,05	თავსები >0,05
ხანგრძლივობა რაოდენობა	32 3	39 14	14 16	16 62

არანაკლები კატასტროფული შდეგები მოსდევს უხვ ხანგრძლივ თოვას, რომლის დროსაც წარმოიქმნება საკმაოდ მძლავრი თოვლის საფარი. ამისი მაგალითია 1910-1911 წლების ზამთარი, როდესაც შავი ზღვის სანაპიროსა და კოლხეთის დაბლობზე საფარის სიმაღლემ 150 სმ. შეადგინა. დიდთოვლიანი ზამთრები აღინიშნა აგრეთვე 1902-03, 1904-05, 1906-07, 1907-08, 1924-25, 1927-28, 1931-32, 1945-46, 1949-50, 1953-54, 1958-59 წლებში, როდესაც თოვლის საფარი მრავალწლიურ ნორმაზე 30-70%-ით მეტი იყო.

#### 4.4. თოვლის ზეავები

მთიანი რეგიონების ზვავსაშიშროებას გეოგრაფიული პირობების, ძირითადად რელიეფის, მცენარეული საფარისა და კლიმატის თავისებურებები განაპირობებს.

სამეგრელო-ზემო (ზედა) სვანეთის ტერიტორიის რელიეფი დიდი სირთულით გამოირჩევა. აქ მდებარეობს ცენტრალური

კავკასიონის მნიშვნელოვანი ნაწილი 4000-4500მ-ზე მაღლა მდებარე მწვერვალებით, კავკასიონის მთავარი ქედის უგრძესი განშტოება—სვანეთის ქედი, მდინარე ენგურისა და მისი შენაკადების დრმა ხეობები, აგრეთვე, მდინარე რიონის მარჯვენა შენაკადებისა და მდინარე ხობის აუზები.

ტერიტორიის, განსაკუთრებით კი ზემო სვანეთის მნიშვნელოვანი ნაწილი საშუალომთიან და მაღალმთიან ზონებში მდებარეობს. ზემო სვანეთის ტერიტორიაზე, ანუ მდინარე ენგურის აუზის მთიან ნაწილში, რომელიც მდებარეობს მდინარე მაგანის შესართავის ჩრდილოეთით, დაბალმთიან ზონას მთლიანი ფართობის მხოლოდ 12% უკავია. ზემო სვანეთის ტერიტორიის მნიშვნელოვანი ნაწილი (30%) საშუალომთიან ზონაში მდებარეობს, ხოლო ნახევარზე მეტი (58%) — მაღალმთიან ზონაში (2000მ-დან 3000მ-მდე მდებარე ტერიტორიას უკავია 40%, 3000მ-ზე მაღლა მდებარე ტერიტორიას—18%).

ზემო სვანეთში  $15^0$ -ზე ნაკლები დახრილობის მქონე ტერიტორიას მთლიანი ფართობის მხოლოდ 5% უჭირავს. ზედაპირის  $15-25^0$  დახრილობით ხასიათდება 33%,  $25-35^0$  დახრილობით—49%, ხოლო  $35^0$ -ზე მეტი დახრილობით—13%. ზედაპირის დიდი დახრილობა ( $30-35^0$ -ზე მეტი) დამახასიათებელია კავკასიონის მთავარი ქედის, აგრეთვე სვანეთისა და ეგრისის ქედების მაღალმთიან და საშუალომთიან ზონებში მდებარე ფერდობებისათვისაც.

სამეგრელო—ზემო სვანეთის ტერიტორიაზე ტყის საფარი კრცელდება ზღვის დონიდან 2200-2400მ-მდე, უფრო მაღლა მდებარე ფერდობებისათვის კი სუბალპური და ალპური მცენარეული საფარია დამახასიათებელი. დიდი ფართობი უკავია შერეული ტყით დაფარულ ფერდობებს, ამასთანავე, მნიშვნელოვანი ტერიტორია უჭირავს წიწვოვან და ფოთლოვან ტყებსაც. ტყის საფარს უჭირავს მთლიანი ფართობის 40-42%. უტყეო ფერდობები გვხვდება ტყის გავრცელების ზედა საზღვრის ქვემოთაც, რაც გამოწვეულია ტყის სამეურნეო ჭრით; ტყის გავრცელების ბუნებრივ საზღვრებში უტყეო ფერდობების წარმოქმნაში მნიშვნელოვანი როლი თოვლის ზვავებსაც მიუძღვით.

საქართველოს ტერიტორიაზე თოვლიანობის მიხედვით გამოიყოფა განსაკუთრებით უხვოვლიანი, უხვოვლიანი, საშუალოთვლიანი და მცირეთოვლიანი რაიონები (ლ.ქალდანი,

მ.სალუქვაძე, 2001). სამეგრელო-ზემო სვანეთი უხვოვდიან რაიონს მიეკუთვნება, სადაც მყარი ნალექების საშუალო რაოდენობისა და თოვლის საფარის საშუალო სიმაღლის ადგილის აბსოლუტურ სიმაღლესთან დამოკიდებულება გამოისახება შემდეგი განტოლებებით:

$$X=0,45H-113 \quad 4.4.1$$

$$h=0,1428 H + 0,5762H^2 + 0,4478 \quad , \quad 4.4.2.$$

სადაც  $X$  არის მყარი ნალექების წლიური რაოდენობა მმ-ში,  $H$ - ადგილის აბსოლუტური სიმაღლე მ-ში(მყარი ნალექების გამოთვლის დროს) და  $g$ -ში (თოვლის სიმაღლის გამოთვლის დროს),  $h$ -თოვლის საფარის სიმაღლე მ-ში. განტოლებების კორელაციის კოეფიციენტი მეტია 0,85-ზე, ხოლო ცდომილება ნაკლებია 10%-ზე, განტოლებები შედგენილია ზღვის დონიდან 1900მ-დან მდებარე მეტეოსადგურების მონაცემებით.

სამეგრელო-ზემო სვანეთის ტერიტორიაზე მყარი ნალექების წლიური რაოდენობა იცვლება 300-400მმ-დან (ზღვის დონიდან 200-300მ) 1100-1200მმ-დან (1800-1900მ), საშუალო რაოდენობა-80-130მმ-დან 700-750მმ-დან, მინიმალური რაოდენობა-0-30მმ-დან 300-350მმ-დან, თოვლის საფარის მაქსიმალური სიმაღლე იცვლება 100-150სმ-დან 525-575სმ-დან, საშუალო სიმაღლე -25-45სმ-დან 250-300სმ-დან, მინიმალური სიმაღლე 0-5სმ-დან 100-125სმ-დან. ერთი თოვის დროს მოსული თოვლის საფარის სიმაღლის მაქსიმალურმა ნამატება ჯვარში შეადგინა 139სმ (12-19.01.1976წ.), ხაიშში-175სმ (21-29.01.1987წ.), ლახამში -220სმ (27-30.01.1987წ.), ნაკში -290სმ (26.12.1986წ.-9.01.1987წ.), ლახამულაში -246სმ (28-31.01.1987წ.), მესტიაში -170სმ (27.01.-4.02.1987წ.), ლებარდეში -333სმ (28-29.01.1987წ.-10.01.1987წ.). თოვლის საფარის სიმაღლის მაქსიმალური დღედამური ნამატები ჯვარში იყო 88სმ (28-29.01.1950წ.), ხაიშში-150სმ (28-29.01.1986წ.), ლახამში - 205სმ (28-29.01.1987წ.), ნაკში-118სმ (23-224.12.1986წ.), ლახამულაში-156სმ (29-30.01.1987წ.), მესტიაში-95სმ (1-2.02.1987წ.), ლებარდეში-166სმ (13-14.01.1976წ.).

ამრიგად, სამეგრელო-ზემო სვანეთის ტერიტორიაზე ზვანწარმომქმნელი ფაქტორების თავისებურება (რთული ოროგრაფია, დიდი აბსოლუტური სიმაღლე, ციცაბო და უტყვიო ფერდობები, მოსული მყარი ნალექების დიდი რაოდენობა და უხვი თოვლი) ხელსაყრელ პირობებს ქმნის ზვავების ფართო გავრცელებისათვის.

ტერიტორიის ზვავსაშისროების ხარისხს გნაპირობებს ზვაგსაშიშროების რაოდენობრივი მახასიათებლები (ლ.ქალ-დანი, 2000წ.). აღნიშნულიდან გამომდინარე დავადგინეთ საკ-ვლევ რეგიონში ზვაგსაშიშროების ძირითადი რაოდენობრივი მახასიათებლების სივრცულ-დროითი ცვლილების თავისებუ-რებანი, რამაც საშუალება მოგვცა გამოგვევლინა ზვაგსაშიში ზონა და მოგვეხდინა სამეგრელო-ზემო სვანეთის ზვაგსაშიში ტერიტორიის დარაიონება ზვაგსაშიშროების ხარისხის მიხედ-ვით; გამოვყავით განსაკუთრებით ძლიერი, ძლიერი, საშუალო და სუსტი ზვაგსაშიშროების რაონები.

სამეგრელო-ზემო სვანეთის ტერიტორიაზე ზვავების გავრ-ცელების ქვედა საზღვარი მდებარეობს ზღვის დონიდან 270-320მ-ზე; ყველაზე დაბლა (270მ-ზე) ის გადის მდინარე ენგურის ხეობაში, ხოლო ყველაზე მაღლა (320მ-ზე)-მდინარე ტებურის ხეობაში. საკვლევ რეგიონში არაზვავსაშიშია კოლხეთის და-ბლობი მიმდებარე დამრეცი (15<sup>0</sup>-ზე ნაკლები დახრილობის მქონე) ფერდობებით, აგრეთვე მცირე ფართობის მქონე ცალ-კეული ფერდობები. 15<sup>0</sup>-ზე მეტი დახრილობის მქონე ტერიტო-რიაზე არაზვავსაშიშია მხოლოდ ხშირი წიწვოვანი და შე-რეული ტყით დაფარული ფერდობები. არაზვავსაშიშ ტერი-ტორიას უჭირავს სამეგრელო-ზემო სვანეთის მთლიანი ფარ-ობის 43% (ცხრილი 4.4.1.).

ცხრილი 4.4.1. სამეგრელო-ზემო სვანეთის ტერიტორიის დარაიონება ზვაგსაშიშროების მიხედვით

ზვაგსაშიშროების ხარისხი	% მთლიანი ფართობიდან		
	სამეგრელო	ზემო სვანეთი	ორივე ერთად
განსაკუთრებით ძლიერი	5	20	12
ძლიერი	4	26	14
საშუალო	15	44	27
სუსტი	3	6	4
არაზვავსაშიში	73	4	43

ზვაგსაშიშროების მიხედვით სამეგრელოსა და ზემო სსვანეთს შორის იმდენად დიდია განსხვავება, რომ საჭიროდ ჩავთვალეთ ცხრილში მოგვეყვანა მონაცემები, როგორც

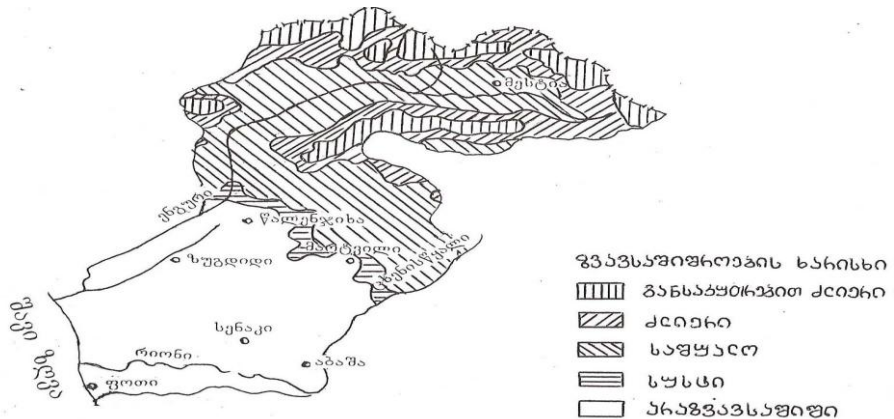
მთლიანად რეგიონისათვის, ისე ცალცალკე სამეგრელოსა და ზემო სკანქოსათვის.

სამეგრელო-ზემო სკანქოს ტერიტორიის დარაიონებას ზვაგსაშიშროების ხარისხის მიხედვით საფუძვლად დაედო ოთხი ძირითადი რაოდენობრივი მახასიათებელი: ტერიტორიის ზვაგაქტიურობა (ზვაგაქტიური ფერდობების წილი საერთო ფართობში, პროცენტებში), ზვაგშემკრებების გავრცელების სიხშირე (მათი რაოდენობა  $1\text{g}^2$  ფართობზე), ზვაგების ჩამოსვლის სიხშირე (ზვაგშემკრებიდან ზვაგების ჩამოსვლის რაოდენობა ერთ ზამთარში), და ზვაგსაშიში პერიოდის ხანგრძლივობა (ზვაგსაშიშ დღეთა რაოდენობა ერთ ზამთარში).

განსაკუთრებით ძლიერ ზვაგსაშიშროების რაიონს მიეკუთვნება ტერიტორია, სადაც ტერიტორიის ზვაგაქტიურობა მეტია 60%-ზე, ზვაგშემკრებების გავრცელების სიხშირე  $-15$  ზვაგშემკრებზე  $1\text{g}^2$ -ზე, ზვაგების ჩამოსვლის მაქსიმალური სიხშირე  $-15$  შემთხვევაზე და ზვაგსაშიში პერიოდის მაქსიმალური ხანგრძლივობა  $-150$  დღეზე ერთ ზამთარში; ძლიერი ზვაგსაშიშროების რაიონში ზვაგსაშიშროების დასახელებული რაოდენობრივი მახასიათებლები მეტია 40%-ზე, 10 ზვაგშემკრებზე  $1\text{g}^2$ -ზე, 10 შემთხვევაზე და 100 დღეზე ერთ ზამთარში, შესაბამისად. საშუალო ზვაგსაშიშროების რაიონში ერთი ზვაგსაშიშროების რაოდენობრივი მახასიათებლები მაინც მეტია შემდეგ სიდიდეებზე: ტერიტორიის ზვაგაქტიურობა  $-20\%$ -ზე, ზვაგშემკრებების გავრცელების სიხშირე  $-5$  ზვაგშემკრებზე  $1\text{g}^2$ -ზე, ზვაგების ჩამოსვლის მაქსიმალური სიხშირე  $-5$  შემთხვევაზე და ზვაგსაშიში პერიოდის მაქსიმალური ხანგრძლივობა  $-50$  დღეზე ერთ ზამთარში; სუსტი ზვაგსაშიშროების რაიონში ზვაგსაშიშროების ყველა რაოდენობრივი მახასიათებელი ნაკლებია ზემოთ მოყვანილ სიდიდეებზე.

რეგიონში მდებარე კავკასიონის მთავარი ქედის ცენტრალური ნაწილის, აგრეთვე სკანქოსა და ეგრისის ქედების მაღალმთიანი ციცაბო ფერდობებისათვის განსაკუთრებით ძლიერი და ძლიერი ზვაგსაშიშროაბაა დამახასიათებელი (ნახ. 4.4.1); ცალკეულ მაღალმთიან, ძლიერ დანაწევრებულ ფერდობებზე ტერიტორიის ზვაგაქტიურობა აღწევს  $75\text{-}80\%$ -ს, ზვაგშემკრებების გავრცელების სიხშირე  $-18\text{-}20$  ზვაგშემკრებს  $1\text{g}^2$ -ზე. საშუალო ზვაგსაშიშროება დამახასიათებელია მაღალმთიანი ზონის ქვედა ნაწილში (ზღვის დონიდან 2200-2500მ-ზე

დაბლა) და დაბალმონიანი ზონის ზედა ნაწილში (600-700მ-ზე მაღლა) მდებარე ფერდობებისათვის., აგრეთვე საშუალომონიან ზონაში მდებარე ტერიტორიისათვის მთლიანად. სუსტი ზვავ-საშიშროებით ხასიათდება კოლხეთის დაბლობის მიმდებარე შედარებით ციცაბო ( $15^{\circ}$ -ზე მეტი დახრილობის მქონე) ფერ-დობები.



ნახ. 4.4.1. ზვავსაშიში რაიონები

ზვავსაშიშია მთაში მდებარე საავტომობილო გზები, სამეურნეო, რეკრეაციული და სხვა დანიშნულების ობიექტები, მრავალი დასახლებული პუნქტი (ლ.ქალდანი, 2005). ჯგარი-უშგულის საავტომობილო გზას ემუქრება რამდენიმე ასეულ ზვავშემკრებში წარმოქმნილი ზვავი; ამ საავტომობილო გზის მხოლოდ 20კმ სიგრძის ჯვარი-ხაიშის მონაკვეთი გადაკვეთს 100-ზე მეტ ზვავშემკრებს; რამდენიმე ათეული ზვავშემკრებში წარმოქმნილი ზვავი ემუქრება კურორტ ლებარდეში მიმავალ საავტომობილო გზასაც. ზვავსაშიშია ზემო სვანეთში მდებარე ყველა დასახლებული პუნქტის ცენტრალურ საავტომობილო მაგისტრალთან (ჯვარი-უშგული) დამაკავშირებელი საავტომობილო გზების ცალკეული მონაკვეთები.

სამეგრელო-ზემო სვანეთის ტერიტორიაზე მდებარეობს 62 ზვავსაშიში დასახლებული პუნქტი (1 სამეგრელოში, 61 ზემო სვანეთში), რაც საქართველოში მდებარე ზვავსაშიში დასახ-

ლებული პუნქტების 18%-ს შეადგენს. ამ 62 ზვავსაშიშ დასახლებულ პუნქტს ემუქრება 122 ზვაგშემკრებში წარმოქმნილი ზვავი. აღნიშნულიდან გამომდინარე მიგვაჩნია, რომ 122 ზვაგშემკრების მორფომეტრიული და მათში წარმოქმნილი ზვავების დინამიკური მახასიათებლები საკმარისია იმისათვის, რომ გარკვეული წარმოდგენა შეგვექმნას საერთოდ სამეგრელო ზემო სვანეთის ზვაგშემკრებებსა და მათში წარმოქმნილ ზვავების მახასიათებლებზე.

ზვაგშემკრებების აბსოლუტური სიმაღლე იცვლება 740მ-დან (მდინარე ენგურის ხეობა) 3700მ-მდე (მდინარე მულხურას ხეობა), დასასრულის სიმაღლე -490მ-დან (მდინარე ენგური); უმოკლესი (300მ) არის მდინარე ჭუბრულას ხეობაში მდებარე ზვაგშემკრები, უგრძესი (5780მ) მდინარე ენგურის ხეობაში მდებარე ზვაგშემკრები (ცხრილი 4.4.2.).

ზვავის კერის ფართობი იცვლება 0,1 ჰა-დან (მდინარე ენგურის, ჭუბრულას, დოლრას, პადიშქალას ხეობები) 320ჰა-მდე.

ცხრილი 4.4.2. ზვაგშემკრებების განაწილება დასაწყისისა და დასასრულის აბსოლუტური სიმაღლის და სიგრძის მიხედვით

მდინარე, მ სიმაღლე	% საერთო რაობისადან	მდინარე, მ სიმაღლე	% საერთო რაობისადან	მდინარე, მ სიგრძე	% საერთო რაობისადან
< 1000	4	500	3	< 1000	39
1001-1500	32	501-1000	41	1001-1500	16
1501-2000	24	1001-1500	29	1501-2000	12
2001-2500	27	1501-2000	20	2001-2500	13
2501-3000	8	>2000	7	2501-3000	8
>3000	5			>3000	12

(მდინარე მულხურას ხეობა), ზვავის კერის ზედაპირის დახრილობა-18<sup>0</sup>-დან (მდინარე ჭუბრულას ხეობა) 49<sup>0</sup>-მდე

(მდინარე ენგურის ხეობა), ხოლო ზვავის მოძრაობის მაქსიმალური სიჩქარე 12მ/წმ-დან (მდინარე ჭუბრულას ხეობა) 61მ/წმ-მდე (მდინარე ენგურის ხეობა) მერყეობს (ცხრილი 4.4.3.).

ცხრილი 4.4.3. ზვავის კერების განაწილება ფართობისა და ზედაპირის დახრილობის, ზვავების განაწილება მაქსიმალური სიჩქარის მიხედვით

ზართობი, კმ	% საერთო რაოდენობიდან	დახრილობა, გრადუსი	% საერთო რაოდენობიდან	სიჩქარე, მწვევე	% საერთო რაოდენობიდან
< 0,5	43	25	6	< 25	29
0,6-1,0	18	26-30	19	26-30	15
1,1-5,0	19	31-35	44	31-35	11
5,1-50	13	36-40	25	36-40	16
>50	7	>40	6	>40	29

ზვავის მაქსიმალური დარტყმა მერყეობს 7გ/მ<sup>2</sup>-დან (მდინარე ჭუბრულას ხეობა) 171გ/მ<sup>2</sup>-მდე (მდინარე ენგურის ხეობა), ზვავის კონუსის მაქსიმალური მოცულობა—1400გ<sup>3</sup>-დან (მდინარე ჭუბრულას ხეობა) 8960000გ<sup>3</sup>-მდე (მდინარე ენგურის ხეობა); ხოლო ზვავის სიმაღლე 15მ-დან (მდინარე ენგურის ხეობა) 35მ-მდე (მდინარეების ენგურის, ჭუბრულას, ნაკრას, დოლრას, მულხურას, ჰადიშჭალას და ლებარდეს ხეობები) იცვლება (ცხრ. 4.4.4.).

სამეცნიერო-ზემო სვანეთის ტერიტორიაზე მდებარე 62 ზვავსაშიში დასახლებული პუნქტიდან 18-ში (საერთო რაოდენობის 29%) ზვავების ჩამოსვლამ გამოიწვია ადამიანთა მსხვერპლი და ნაგებობათა ნგრევა, 9-ში (14,5%)-ნაგებობების ნგრევა, 12-ში (19,4%)-ნაგებობების დაზიანება. 23 დასახლებული პუნქტი (37,1%) პოტენციურად ზვავსაშიში; გამოთვლებმა და ზვავწარმომქმნელი ფაქტორების ანალიზმა გვიჩვენა, რომ საქმაოდ დიდია ამ პუნქტებში ზვავების ჩამოსვლის ალბათობა.

ცხრილი 4.4.4. ზვავების განაწილება მაქსიმალური დარტყმის ძალის, ონუსის მოცულობისა და სიმაღლის მიხედვით

დარტყმის ძალა, ტერ	% საერთო რაოდენობიდან	გორუნვის გრძელება 1000გვ	% საფრთხო რაოდენობიდან	სიმღერები	% საერთო რაოდენობიდან
< 25	19	10	41	< 20	25
26-50	37	11-50	30	21-25	14
51-75	20	51-500	17	26-30	21
76-100	16	501-5000	10	>30	40
>100	13	>5000	2		

#### 4.5. ატმოსფეროს განსაკუთრებული მოვლენები

ატმოსფეროს განსაკუთრებულ მოვლენებს მიეკუთვნება ელექტრი, სეტყვა, ნისლი და ქარბუქი. ისინი საშიშ მეტეოროლოგიურ მოვლენებს წარმოადგენენ და ხშირად უარყოფით გავლენას ახდენენ მოსახლეობაზე, მათ ჯამრთელობაზე, ეკონომიკაზე. ელჭექს თან ახლავს ძლიერი ელექტრული განმუხტვები, როლებიც აზიანებენ კაგშირგაბმულობისა და ელექტროგადამცემ ხაზებს. სეტყვა მნიშვნელოვან ზიანს აქვნებს სოფლის მეუნეობას. ქარბუქი და ნისლი განსაკუთრებით საშიშია ტრანსპორტის ფუნქციონირებისათვის.

რეგიონში ატმოსფერულ მოვლენებს შორის ყველაზე საშიში ელჭექია (ცხრილი 4.5.1).

ცხრილიდან ჩანს, რომ სამეგრელო-ზემო სვანეთის მხარეში წლის განმავლობაში 25-40 ელჭექიანი დღეა. ელჭექი ყველაზე ხშირია წლის თბილ პერიოდში, განსაკუთრებით ზაფხულში. ზამთარში ელჭექი იშვიათია.

რეგიონისთვის იშვიათი მოვლენაა სეტყვა. წლის განმავლობაში დაიკვირვება საშუალოდ 1-3 დღე სეტყვით. მისი მოსვლის ალბათობა თანაბარია წლის ნებისმიერი დროისათვის.

**ცხრილი 4.5.1. ატმოსფეროს განსაკუთრებული  
მოვლენების დღეთა რიცხვი წლის განმავლობაში**

პუნქტი	მოვლენა			
	ელჭექი	სეტყვა	ნისლი	ქარბუქი
ლებარდე	32	3	101	5
ჯვარი	36	1	8	*
წალენჯიხა	32	2	55	2
ზუგდიდი	36	2	14	*
სენაკი	26	3	14	*
ფოთი	40	2	24	0
მესტია	40	2	6	3

იშვიათია აგრეთვე ქარბუქი. გამონაკლისია ლებარდე, სადაც ქარბუქიან დღეთა საშუალო რიცხვი წელიწადის განმალობაში 5-ია. წალენჯიხაში ეს მოვლენა წელიწადში საშუალო 2-ჯერ აღინიშნება.

ნისლიან დღეთა რიცხვი ტერიტორიაზე დიდ დიაპარაზი იცვლება-6-დან (მესტია), 101-მდე (ლებარდე). ჯვარში შეაღგენს 8-ს, ზუგდიდსა და სენაკში-14-ს, ფოთში-24-ს, ხოლო წალენჯიხაში-55 დღეს.

## ლ ი ტ ე რ ა ტ უ რ ა

1. ქ.ელიზბარაშვილი. საქართველოს კლიმატური რესურსები. თბ., „ზეონი”, 2007.
2. ქ.ელიზბარაშვილი. საქართველოს ტერიტორიის ტემპერატურული ცვლილები. თბ., 1999
3. კ-თავართქილაძე, ჯ.ვაჩნაძე და სხვები. ჰავის თანამედროვე ცვლილება საქართველოში. ჰავის განმსაზღვრელი ზოგიერთი პარამეტრის რეჟიმი და მათი ცვალებადობა. თბ., 177გვ. 2006. თავი1. ჰავერის ტემპერატურის ცვლილები განაწილების ცვალებადობა საქართველოში(ჯ.ვაჩნაძე). გვ. 20-35.
4. მ.კორდახია. საქართველოს ჰავა „მეცნიერება“, 1961.
5. რ.კორდახია. მდინარეების ენგურისა და ცხენისწყალის აუგის ჰავის თავისებურებათა შესახებ სვანეთის ფარგლებში. საქ. გეოგრაფ. საზოგადოების შრომები, გ. IX-X, 1967.
6. გ.მელაძე. სუბტროპიკული ტექნიკური კულტურების აგრკლიმატური პირობები და პროგნოზები. თბ., 1971.
7. გ.მელაძე, ეგოგლიძე. აგრომეტეოროლოგია. თბ., 1991.
8. სამეგრელო. ბუნება, მოსახლეობა, მეცნიერება. (მ.არდიას და ჭ.ჯანელიძის რედაქციით), 1999.
9. საქართველოს ჰავა. 1. აჭარა. (ქ.ელიზბარაშვილის, რ.სამუაშვილი და ჯ.ვაჩნაძის რედაქციით) ჰავის შრომები, გ. 110, 2003.
10. საქართველოს ჰავა. 2. აფხაზეთი. (ქ.ელიზბარაშვილის, რ.სამუაშვილი და ჯ.ვაჩნაძის რედაქციით) ჰავის შრომები, გ. 112, 2006.
11. ჭ.ჯავახიშვილი. საქართველოს ჰავა თვეების მიხედვით. თბ., თსუ, 1981.
12. ჭ.ჯავახიშვილი შ. ატმოსფერული ნალექები საქართველოს ტერიტორიაზე. თბ., 1981.
13. ლ.ქალდანი. საქართველოს ტერიტორიის დარაიონება ზვავაშიშროების მიხედვით. აგრარული მეცნიერების პრობემები. თბილისი-ბაქო, 2000.
14. ლ.ქალდანი. დასახლებული პუნქტების ზვავსაშიშროება საართველოს ტერიტორიაზე. ჰავის შრომები, გ. 105, 2005.
15. ლ.ქალდანი, მ.სალუქვაძე. საქართველოს ტერიტორიის დააონება თოვლიანობის მიხედვით. ჰავის შრომები, გ. 106, 2001.
16. Алибекова Ж.Д., Элизбарашвили Э.Ш. Статистическая структура атмосферных осадков в горных районах. Л., 1980.

17. Берлянд М.Е., Красиков П.И. Борьба с заморозками и их предсказание.Л., 1953.
18. Гогишвили К.С. Исследование циркуляционных факторов генезиса климати Грузии. Тб., 1974.
19. Климат и климатические ресурсы Грузии.Тр. ЗакНИГМИ, вып. 40(55), Л., 1971.
20. Меладзе Г.Г. Экологические факторы и производство сельскоозяйтенных культур. Л., 1991.
21. Папинашвили К.И. Атмосферные процессы в Закавказье и их связь с макроциркуляционными процессами над Евразией. Л.,1963.
22. Самукашвили Р.Д. Прозрачность и мутность атмосферы на Кавказе. Тр. ВГИ, вып. 45, 1980.
23. Самукашвили Р.Д. К методике расчета суммарной радиации для горных районов Кавказа. Тр. ВГИ, вып. 54, 1984.
24. Самукашвили Р.Д.Оценка условий практического использования лучистой энергии солнца в условиях Кавказа. Тр. ВГИ, вып. 73, 1988.
25. Самукашвили Р.Д. Климатическая характеристика и методика прогноза заморозков в Ставропольском крае. Тр. ВГИ, вып. 82, 1990.
26. Самукашвили Р.Д.Исследование климатических характеристик районов Грузии с целью применения их при составлении долгосрочных прогнозов погоды. Фонды ЗакНИГМИ, Тб, 1991.
27. Самукашвили Р.Д.Прозрачность и мутность атмосферы на Кавказе. Тр. ВГИ, вып. 45, 1980.
28. Сванидзе Г.Г., Гагуа В.П.,Сухишвили Э.В. Возобновляемые энергоресурсы Грузии.Л..1987.
29. Справочник по климату СССР. Вып.14,ч.1-5, Л., 1967-1971.
30. Сивков С.И. Методы расчета характеристик солнечной радиации.Л.,1968.
31. Элизбарашили Э.Ш. Вертикальная зональность климатов Закавказья. Известия АН СССР,серия географическая, №4, 1978.
32. Элизбарашили Э.Ш., Элизбарашили М. Э. Основные проблемы клиатологии ландшафтов. Тбилиси, изд.Зеон, 2006.

შინაარსი	გვ.
წინასიტყვაობა.....	6
<b>თავი I. კლიმატის ფორმირების ძირითადი ფაქტორები.....</b>	<b>7</b>
1.1. კლიმატის რადიაციული აქტორები(რ.სამუკაშვილი)....	7
1.2. ატმოსფერული ჰაერის წნევა (ე. სუხიშვილი).....	9
1.3. ატმოსფეროს ცირკულაციური ფაქტორები(ჯ. ვაჩნაძე, ი.ვაჩნაძე).....	12
<b>თავი II.კლიმატის ძირითადი ელემენტების ტერიტორიული განაწილების კანონზომიერებები.....</b>	<b>15</b>
2.1. ჰაერის ტემპერატურა (მ. ელიზბარაშვილი, ვ.გორგიშვილი).....	15
2.2. ჰაერის სინოტივე (რ. კორძახია).....	19
2.3. ატმოსფერული ნალექები ე-ელიზბარაშვილი, ლ.პაპინაშვილი).....	21
2.4. თოვლის საფარი (რ. სამუკაშვილი).....	24
2.5. ქარი (ე. სუხიშვილი).....	29
2.6. ჰაერის ტემპერატურისა და შეფარდებითი სინოტივის კომპლექსი (რ. კორძახია, ჯ. ვაჩნაძე).....	36
<b>თავი III. კლიმატური რესურსები.....</b>	<b>40</b>
3.1. საკურორტო რესურსები (ე. ელიზბარაშვილი).....	40
3.2. აგროკლიმატური რესურსები (გ. მელაძე, მ. მელაძე).....	43
3.3. პელიოდურებულები რესურსები (რ. სამუკაშვილი, ც. დიასამიძე).....	15
3.4. ქარის ენერგეტიკული რესურსები (ე. სუხიშვილი).....	58
<b>თავი IV. ამინდის საშიში მოვლენები.....</b>	<b>62</b>
4.1. წაყინვები (რ. სამუკაშვილი, ჯ. ვაჩნაძე, ც.დიასამიძე).....	62
4.2. ძლიერი ქარები (ე. ელიზბარაშვილი, ე. სუხიშვილი).....	67
4.3. უხვი ატმოსფერული ნალექები (ე. ელიზბარაშვილი).....	69
4.4. თოვლის ზვავები (ლ.ქალდანი, მ.სალუქვაძე).....	71
4.5. ატმოსფეროს განსაკუთრებული მოვლენები (შ.ელიზბარაშვილი, თ.ზუბიტაშვილი).....	79
<b>ლიტერატურის სია.....</b>	<b>81</b>